

ผลกระทบของจุดต้านทานการหมุนแบบยืดหยุ่นพลาสติกต่อพฤติกรรม
หลังการโก่งเดาะของอีลาสติคคาที่มีความยาวส่วนโค้งแปรเปลี่ยนได้

EFFECT OF ELASTIC-PLASTIC ROTATIONAL SPRING JOINT ON
POSTBUCKLING BEHAVIOUR OF VARIABLE-ARE-LENGTH
ELASTICA



ณัฐพัชร์ จันทกุลมณี

วิทยานิพนธ์นี้เป็นส่วนหนึ่งของการศึกษาตามหลักสูตร
ปริญญาวิศวกรรมศาสตรมหาบัณฑิต สาขาวิชาวิศวกรรมโยธา

คณะวิศวกรรมศาสตร์

มหาวิทยาลัยเทคโนโลยีราชมงคลธัญบุรี

ปีการศึกษา 2562

ลิขสิทธิ์ของมหาวิทยาลัยเทคโนโลยีราชมงคลธัญบุรี

ผลกระทบของจุดด้านทานการหมุนแบบยึดหยุ่นพลาสติกต่อพฤติกรรม
หลังการโก่งเดาะของอิลาสติคคาที่มีความยาวส่วนโค้งแปรเปลี่ยนได้



ณัฐพัชร์ จันทกุลมณี

วิทยานิพนธ์นี้เป็นส่วนหนึ่งของการศึกษาตามหลักสูตร
ปริญญาวิศวกรรมศาสตรมหาบัณฑิต สาขาวิชาวิศวกรรมโยธา

คณะวิศวกรรมศาสตร์

มหาวิทยาลัยเทคโนโลยีราชมงคลธัญบุรี

ปีการศึกษา 2562

ลิขสิทธิ์ของมหาวิทยาลัยเทคโนโลยีราชมงคลธัญบุรี

วิทยานิพนธ์ฉบับนี้เป็นงานวิจัยที่เกิดจากการศึกษาค้นคว้าและวิจัย ขณะที่ข้าพเจ้าศึกษาอยู่ในคณะ วิศวกรรมศาสตร์ มหาวิทยาลัยเทคโนโลยีราชมงคลธัญบุรี ดังนั้นงานวิจัยในวิทยานิพนธ์ฉบับนี้ถือเป็น ลิขสิทธิ์ของมหาวิทยาลัยเทคโนโลยีราชมงคลธัญบุรี และข้อความต่าง ๆ ในวิทยานิพนธ์ฉบับนี้ ข้าพเจ้า ขอรับรองว่าไม่มีการคัดลอกหรือนำงานวิจัยของผู้อื่นมานำเสนอในชื่อของข้าพเจ้า

This thesis consists of research materials conducted at the Faculty of Engineering, Rajamangala University of Technology Thanyaburi and hence the copyright owner. I hereby certify that the thesis does not contain any forms of plagiarism.




(นายณัฐพัชร จันทกุลมณี)

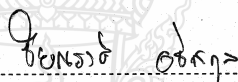


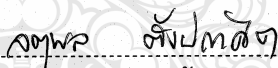
หัวข้อวิทยานิพนธ์ ผลกระทบของจุดต้านทานการหมุนแบบยืดหยุ่นพลาสติกต่อพฤติกรรมหลังการโก่งเดาะของอิลาสติคคาที่มีความยาวส่วนโค้งแปรเปลี่ยนได้
Effect of Elastic-Plastic Rotational Spring Joint on Postbuckling Behavior of Variable-Arc-Length Elastica

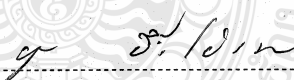
ชื่อ - นามสกุล นายณัฐพัชร์ จันทรวงศ์มณี
สาขาวิชา วิศวกรรมโยธา
อาจารย์ที่ปรึกษา ผู้ช่วยศาสตราจารย์บุญชัย ผึ้งไผ่งาม, ปร.ด.
ปีการศึกษา 2562

คณะกรรมการสอบวิทยานิพนธ์


..... ประธานกรรมการ
(ผู้ช่วยศาสตราจารย์กำธรเกียรติ์ มุสิเกต, Ph.D.)


..... กรรมการ
(รองศาสตราจารย์ชัยณรงค์ อธิสกุล, ปร.ด.)


..... กรรมการ
(ผู้ช่วยศาสตราจารย์จตุพล ตั้งปกาศิต, ปร.ด.)


..... กรรมการ
(ผู้ช่วยศาสตราจารย์บุญชัย ผึ้งไผ่งาม, ปร.ด.)

คณะวิศวกรรมศาสตร์ มหาวิทยาลัยเทคโนโลยีราชมงคลธัญบุรี อนุมัติวิทยานิพนธ์ฉบับนี้เป็นส่วนหนึ่งของการศึกษาตามหลักสูตรปริญญาวิทยาศาสตรบัณฑิต

..... คณบดีคณะวิศวกรรมศาสตร์
(ผู้ช่วยศาสตราจารย์ศิวกร อ่างทอง, Ph.D.)
วันที่ 27 เดือน พฤษภาคม พ.ศ. 2563

หัวข้อวิทยานิพนธ์	ผลกระทบของจุดต้านทานการหมุนแบบยืดหยุ่นพลาสติกต่อพฤติกรรมหลังการโก่งเดาะของอิลาสติกคาที่มีความยาวส่วนโค้งแปรเปลี่ยนได้
ชื่อ - นามสกุล	นายณัฐพัชร์ จันทรกุลมณี
สาขาวิชา	วิศวกรรมโยธา
อาจารย์ที่ปรึกษา	ผู้ช่วยศาสตราจารย์บุญชัย ผึ้งไผ่งาม, ปร.ด.
ปีการศึกษา	2562

บทคัดย่อ

วิทยานิพนธ์นี้ศึกษาพฤติกรรมหลังการโก่งเดาะของอิลาสติกคาที่มีความยาวส่วนโค้งแปรเปลี่ยนได้ที่เชื่อมต่อกันด้วยสปริงต้านทานการหมุน โดยแบบจำลองของสปริงต้านทานการหมุนมีทั้งหมดสามรูปแบบคือ ยืดหยุ่นเชิงเส้น ยืดหยุ่นเชิงเส้นคู่ และอิลาสติก-พลาสติก ปลายด้านหนึ่งของ อิลาสติกคายึดติดกับจุดรองรับแบบหมุนได้อย่างอิสระ ปลายอีกด้านวางอยู่บนจุดรองรับแบบสลีฟ สปริงต้านทานการหมุนวางห่างจากจุดรองรับแบบหมุนได้อย่างอิสระตามระยะที่กำหนด แรงอัดกระทำที่ปลายด้านจุดรองรับแบบสลีฟเพื่อดันความยาวส่วนโค้งของอิลาสติกคาเข้าไปในระบบจนกระทั่งสามารถสังเกตพฤติกรรมหลังการโก่งเดาะได้

การศึกษาในครั้งนี้ ทำการวิเคราะห์พฤติกรรมหลังการโก่งเดาะของอิลาสติกคาที่ตำแหน่งของจุดต้านทานการหมุนของสปริงแทนด้วยสัญลักษณ์ทั้ง 3 กรณี คือ $\alpha = 0.25$, $\alpha = 0.50$ และ $\alpha = 0.75$ โดยกำหนดสติเฟนสเริ่มต้นของสปริงต้านทานการหมุน $\bar{k}_1 = 10$ และ 100 และแปรผันสติเฟนสของสปริงภายหลังการคราก ชุดของสมการอนุพันธ์ครอบคลุมปัญหาสามารถหาได้จากสมการสมดุล ความสัมพันธ์ระหว่างโมเมนต์และความโค้ง และความสัมพันธ์เชิงเรขาคณิต เนื่องจากปัญหานี้เป็นปัญหาแบบขอบเขตสองจุดจึงใช้วิธียิงเป้าในการศึกษานี้ โดยอาศัยการอินทิเกรตเชิงตัวเลขแบบรุ่ง-คูดตากับระบบสมการครอบคลุมปัญหาร่วมกับกระบวนการกระทำซ้ำแบบนิวตัน-ราฟสัน จนกระทั่งสอดคล้องกับเงื่อนไขขอบเขต

จากผลการคำนวณพบว่าภายหลังการโก่งเดาะอิลาสติกคาอยู่ในสภาวะไร้เสถียรภาพ และเมื่อสปริงต้านทานการหมุนเกิดการครากแรงอัดอาจลดลงอย่างทันทีซึ่งขึ้นอยู่กับอัตราส่วนของสติเฟนส $r = \bar{k}_2 / \bar{k}_1$ และอิลาสติกคาสามารถเปลี่ยนกลับมาอยู่ในสภาวะที่มีเสถียรภาพได้ในช่วงใดช่วงหนึ่งของความยาวส่วนโค้งทั้งหมด นอกจากนั้นในปัญหานี้สปริงต้านทานการหมุนสามารถเกิดการหมุนกลับด้านได้ โดยเมื่อเกิดการหมุนกลับด้านของสปริงเป็นแบบอิลาสติก-พลาสติก จะให้ค่าน้ำหนักบรรทุกที่มากกว่าในกรณีที่สปริงเป็นแบบยืดหยุ่นเชิงเส้นคู่ เนื่องจากสติเฟนสของสปริงที่เพิ่มขึ้น

คำสำคัญ : อิลาสติกคาที่มีความยาวส่วนโค้งแปรเปลี่ยนได้ หลังการโก่งเดาะ วิธียิงเป้า

ยืดหยุ่นเชิงเส้นคู่ อิลาสติก-พลาสติก สปริงต้านทานการหมุน

Thesis Title	Effect of Elastic-Plastic Rotational Spring Joint on Postbuckling Behavior of Variable-Arc-Length Elastica
Name - Surname	Mr. Nattaphat Chantarakunmanee
Program	Civil Engineering
Thesis Advisor	Assistant Professor Boonchai Phungpaingam, Ph.D.
Academic Year	2019

ABSTRACT

This thesis investigated the postbuckling behavior of the variable-arc-length elastica (VAL elastica) connected with a rotational spring joint. All three models of the spring joints included linear elastic, bilinear elastic, and elastic-plastic. One end of the elastica was attached at the hinged joint; meanwhile, the remote end was placed on the sleeve support. The rotational spring joints were independently located at the determined distances apart from the hinged joint. The compression force exerted at the sleeve support to push the arc-length of the elastica into the system so that the postbuckling behavior could be observed.

In this study, the postbuckling behavior of the VAL elastica was studied symbolically for the three cases of the spring joint positions. They were $\alpha = 0.25$, $\alpha = 0.50$ and $\alpha = 0.75$. At each position of α , the initial value of the stiffness of the spring joints ($\bar{k}_1 = 10$ and 100) was assigned; and the stiffness of the spring joints were varied after yielding. The set of governing differential equations could be obtained from equilibrium equations, moment-curvature relations, and geometric relations. Since this problem was a two-point boundary value, the shooting method was employed in this study. The numerical integration of the Runge-Kutta method and the equation system method, which covered this problem, in cooperation with the repetitive process of the Newton-Raphson method, were performed until the boundary conditions were satisfied.

From the computational results, it was found that the elastica became unstable after buckling. After yielding of the spring joints, the compression might rapidly drop depending on the ratio of the stiffness ($r = \bar{k}_2 / \bar{k}_1$). The elastica could turn into a stable equilibrium for the interval of total arc-length. In addition to this problem, the rotation of the spring joint could be reversed. When the elastic-plastic spring joint was reversed, its load parameter was greater than that of the bilinear elastic spring joint due to the increase of the stiffness.

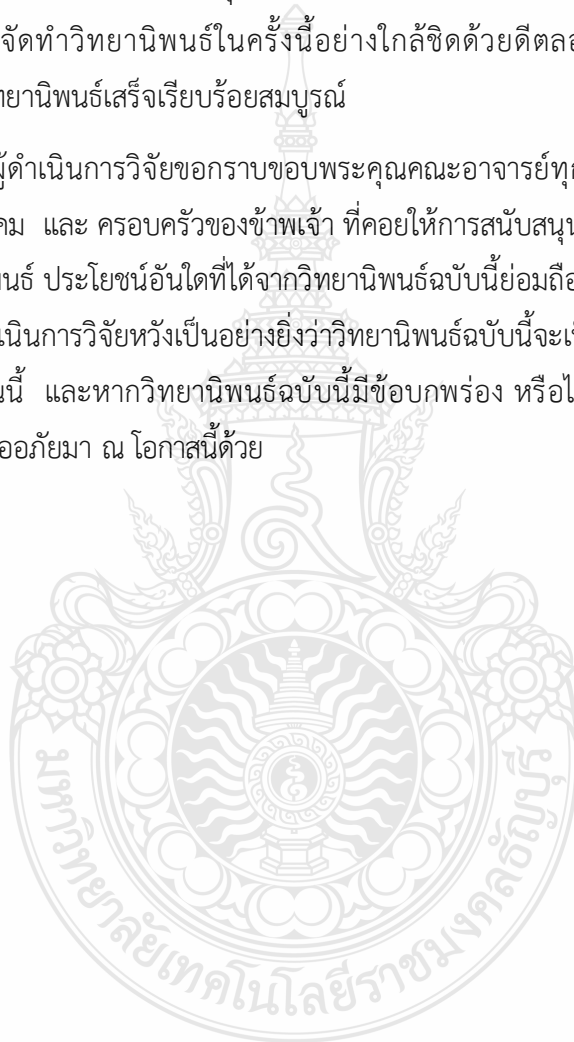
Keywords: VAL elastica, postbuckling, shooting method, bilinear elastic, elastic-plastic, rotational spring joint

กิตติกรรมประกาศ

วิทยานิพนธ์ฉบับนี้สำเร็จลุล่วงไปได้ด้วยดี ด้วยความกรุณา ความเอาใจใส่ และความอนุเคราะห์ ให้คำปรึกษาและแก้ไขปัญหาที่เกิดขึ้นในการทำงานวิจัยเป็นอย่างดี ผู้ทำงานวิจัยขอกราบขอบพระคุณ ผู้ช่วยศาสตราจารย์ ดร.บุญชัย ผึ้งไผ่งาม อาจารย์ที่ปรึกษา เป็นอย่างสูงที่ท่านได้เสียสละเวลาให้คำแนะนำดีชมเพื่อนำไปปรับปรุงแก้ไขในส่วนที่มีข้อบกพร่องต่าง ๆ ตลอดจนถึงติดตามความก้าวหน้าในการจัดทำวิทยานิพนธ์ในครั้งนี้อย่างใกล้ชิดด้วยดีตลอดมา โดยนับตั้งแต่เริ่มต้นดำเนินการจนกระทั่งวิทยานิพนธ์เสร็จเรียบร้อยสมบูรณ์

สุดท้ายนี้ ผู้ดำเนินการวิจัยขอกราบขอบพระคุณคณะอาจารย์ทุก ๆ ท่าน เพื่อนร่วมงานวิจัยเทศบาลตำบลพัฒนานิคม และ ครอบครัวของข้าพเจ้า ที่คอยให้การสนับสนุนและเป็นกำลังใจด้วยดีตลอดมาในการจัดทำวิทยานิพนธ์ ประโยชน์อันใดที่ได้จากวิทยานิพนธ์ฉบับนี้ย่อมถือเป็นผลที่เกิดจากความกรุณาของท่านทั้งหลาย ผู้ดำเนินการวิจัยหวังเป็นอย่างยิ่งว่าวิทยานิพนธ์ฉบับนี้จะเป็นประโยชน์สำหรับผู้สนใจศึกษางานวิจัยทางด้านนี้ และหากวิทยานิพนธ์ฉบับนี้มีข้อบกพร่อง หรือไม่มีความสมบูรณ์ประการใด ผู้ดำเนินการวิจัยกราบขอภัยมา ณ โอกาสนี้ด้วย

ณัฐพัชร์ จันทรกุลมณี

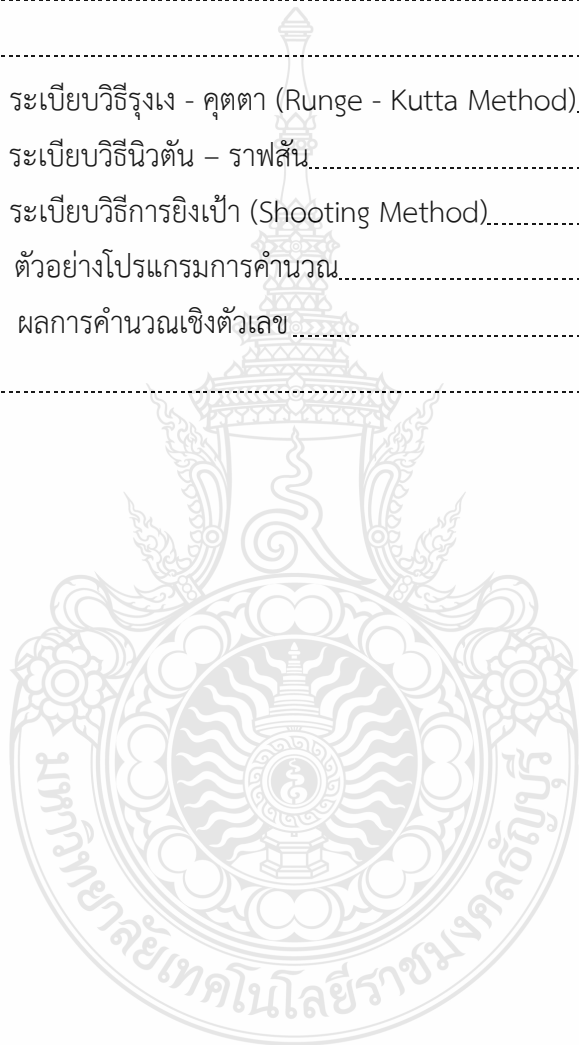


สารบัญ

	หน้า
บทคัดย่อภาษาไทย.....	(3)
บทคัดย่อภาษาอังกฤษ.....	(4)
กิตติกรรมประกาศ.....	(5)
สารบัญ.....	(6)
สารบัญรูป.....	(8)
บทที่ 1 บทนำ.....	14
1.1 ความเป็นมาและความสำคัญของปัญหา.....	14
1.2 วัตถุประสงค์ของการวิจัย.....	15
1.3 สมมติฐานที่ใช้ในการวิเคราะห์.....	16
1.4 ขอบเขตของการวิจัย.....	16
1.5 ขั้นตอนการวิจัย.....	17
1.6 ข้อจำกัดของการศึกษา.....	17
1.7 ประโยชน์ที่คาดว่าจะได้รับ.....	17
บทที่ 2 ทฤษฎีและงานวิจัยที่เกี่ยวข้อง.....	18
2.1 ทฤษฎีที่เกี่ยวข้อง.....	18
2.2 งานวิจัยที่เกี่ยวข้อง.....	21
บทที่ 3 วิธีดำเนินการวิจัย.....	24
3.1 ความสัมพันธ์ระหว่างความเค้นและความเครียด.....	24
3.2 แบบจำลองของปัญหา.....	24
3.3 กระบวนการแก้ปัญหาคาร์โก่งงอของอิลาสติกคา.....	34
บทที่ 4 ผลการศึกษาและการวิเคราะห์.....	36
4.1 พฤติกรรมหลังการโก่งเดาะของอิลาสติกคา.....	36
4.2 พฤติกรรมของอิลาสติกคาเมื่อสปริงต้านทานการหมุนเกิดการคลาก.....	36
4.3 ความสัมพันธ์ระหว่างขนาดของมุมที่สปริงต้านทานการหมุน $ \Delta\theta $ และความยาวส่วนโค้ง \bar{r}_f	42
4.4 รูปร่างสมดุลของอิลาสติกคา.....	47

สารบัญ(ต่อ)

	หน้า
บทที่ 5 สรุปผลการศึกษาและข้อเสนอแนะ.....	49
5.1 สรุปผลของการทำวิจัย.....	49
5.2 ข้อเสนอแนะของการทำวิจัยต่อไปในอนาคต.....	50
บรรณานุกรม.....	51
ภาคผนวก.....	53
ภาคผนวก ก ระเบียบวิธีรุงเง - คุดตา (Runge - Kutta Method).....	54
ภาคผนวก ข ระเบียบวิธีนิวตัน - ราฟสัน.....	56
ภาคผนวก ค ระเบียบวิธีการยิงเป้า (Shooting Method).....	59
ภาคผนวก ง ตัวอย่างโปรแกรมการคำนวณ.....	62
ภาคผนวก จ ผลการคำนวณเชิงตัวเลข.....	77
ประวัติผู้เขียน.....	103



สารบัญรูป

	หน้า
รูปที่ 1.1 กราฟความสัมพันธ์ของสปริงหมุนแบบเชิงเส้นคู่.....	16
รูปที่ 2.1 อีลาสติคคาที่มีน้ำหนักมากกระทำ.....	19
รูปที่ 2.2 ความสัมพันธ์ระหว่างเส้นโค้งยืดหยุ่นและโมเมนต์ดัดของอีลาสติคคา.....	19
รูปที่ 3.1 อีลาสติคคา ก่อนการโก่งเดาะ.....	25
รูปที่ 3.2 อีลาสติคคา หลังการโก่งเดาะ.....	26
รูปที่ 3.3 ความสัมพันธ์ระหว่างโมเมนต์ของสปริงต้านทานการหมุน M_s และ $\Delta\theta$ แบบอีลาสติคคา-พลาสติก.....	26
รูปที่ 3.4 แรงปฏิกิริยาที่จุดรองรับของอีลาสติคคา.....	27
รูปที่ 3.5 ผังชิ้นส่วนอิสระของอีลาสติคคา.....	28
รูปที่ 3.6 แผนผังกระบวนการยิงเป้า.....	33
รูปที่ 3.7 ขั้นตอนการคำนวณของโปรแกรม MATLAB.....	35
รูปที่ 4.1 ความสัมพันธ์ระหว่างน้ำหนักบรรทุก \bar{P} กับความยาวส่วนโค้งทั้งหมด \bar{s} เมื่อแปรผัน อัตราส่วนของสติฟเนส r ที่ตำแหน่งของสปริงต้านทานการหมุน $\alpha = 0.25$ และ $k_1 = 10$	37
รูปที่ 4.2 ความสัมพันธ์ระหว่างน้ำหนักบรรทุก \bar{P} กับความยาวส่วนโค้งทั้งหมด \bar{s} เมื่อแปรผัน อัตราส่วนของสติฟเนส r ที่ตำแหน่งของสปริงต้านทานการหมุน $\alpha = 0.50$ และ $k_1 = 10$	37
รูปที่ 4.3 ความสัมพันธ์ระหว่างน้ำหนักบรรทุก \bar{P} กับความยาวส่วนโค้งทั้งหมด \bar{s} เมื่อแปรผัน อัตราส่วนของสติฟเนส r ที่ตำแหน่งของสปริงต้านทานการหมุน $\alpha = 0.75$ และ $k_1 = 10$	38
รูปที่ 4.4 ความสัมพันธ์ระหว่างน้ำหนักบรรทุก \bar{P} กับความยาวส่วนโค้งทั้งหมด \bar{s} เมื่อแปรผัน อัตราส่วนของสติฟเนส r ที่ตำแหน่งของสปริงต้านทานการหมุน $\alpha = 0.25$ และ $k_1 = 100$	38
รูปที่ 4.5 ความสัมพันธ์ระหว่างน้ำหนักบรรทุก \bar{P} กับความยาวส่วนโค้งทั้งหมด \bar{s} เมื่อแปรผัน อัตราส่วนของสติฟเนส r ที่ตำแหน่งของสปริงต้านทานการหมุน $\alpha = 0.50$ และ $k_1 = 100$	39

สารบัญรูป(ต่อ)

	หน้า
รูปที่ 4.6 ความสัมพันธ์ระหว่างน้ำหนักบรรทุก \bar{P} กับความยาวส่วนโค้งทั้งหมด \bar{s} เมื่อแปรผันอัตราส่วนของสติฟเนส r ที่ตำแหน่งของสปริงต้านทานการหมุน $\alpha = 0.75$ และ $k_1 = 100$	39

รูปที่ 4.7 ความสัมพันธ์ระหว่างน้ำหนักบรรทุก \bar{P} กับความยาวส่วนโค้งทั้งหมด \bar{s}	41
รูปที่ 4.8 ความสัมพันธ์ระหว่างมุม $ \Delta\theta $ กับ ความยาวส่วนโค้ง \bar{s} ที่สปริงต้านทานการหมุนเป็นแบบ 1. ยืดหยุ่นเชิงเส้น 2. ยืดหยุ่นเชิงเส้นคู่ 3. อีลาสติก - พลาสติก	42
รูปที่ 4.9 ความสัมพันธ์ระหว่างมุม $ \Delta\theta $ กับ น้ำหนักบรรทุก \bar{P} ที่ความยาวส่วนโค้ง \bar{s} ที่สปริงต้านทานการหมุนเป็นแบบ 1. ยืดหยุ่นเชิงเส้น 2. ยืดหยุ่นเชิงเส้นคู่ 3. อีลาสติก - พลาสติก	43
รูปที่ 4.10a เปรียบเทียบความสัมพันธ์ของน้ำหนักบรรทุก \bar{P} กับขนาดของมุม $ \Delta\theta $ เมื่อแปรผันค่า สติฟเนสของ $k_1 = 100$ และ ระยะห่างของสปริงต้านทานการหมุน $\alpha = 0.25$	45

รูปที่ 4.10b เปรียบเทียบความสัมพันธ์ของน้ำหนักบรรทุก \bar{P} กับขนาดของมุม $ \Delta\theta $ เมื่อแปรผันค่าสติฟเนสของ $k_1 = 10$ และ ระยะห่างของสปริงต้านทานการหมุน $\alpha = 0.50$	45
รูปที่ 4.10c เปรียบเทียบความสัมพันธ์ของน้ำหนักบรรทุก \bar{P} กับขนาดของมุม $ \Delta\theta $ เมื่อแปรผันค่าสติฟเนสของ $k_1 = 100$ และ ระยะห่างของสปริงต้านทานการหมุน $\alpha = 0.50$	46

รูปที่ 4.10d เปรียบเทียบความสัมพันธ์ของน้ำหนักบรรทุก \bar{P} กับขนาดของมุม $ \Delta\theta $ เมื่อแปรผันค่าสติฟเนสของ $k_1 = 10$ และ ระยะห่างของสปริงต้านทานการหมุน $\alpha = 0.75$	46

รูปที่ 4.10e เปรียบเทียบความสัมพันธ์ของน้ำหนักบรรทุก \bar{P} กับขนาดของมุม $ \Delta\theta $ เมื่อแปรผันค่า สติฟเนสของ $k_1 = 100$ และระยะห่างของสปริงต้านทานการหมุน $\alpha = 0.75$	47
รูปที่ 4.11a รูปร่างสมดุลของอีลาสติกคาที่สอดคล้องกับตำแหน่งต่างๆบนเส้นโค้งความสัมพันธ์ระหว่างน้ำหนักบรรทุก \bar{P} และความยาวส่วนโค้งทั้งหมด \bar{s} ที่ $\alpha = 0.25$ $k_1 = 10$	48

รูปที่ 4.11b รูปร่างสมดุลของอีลาสติกคาที่สอดคล้องกับตำแหน่งต่างๆบนเส้นโค้งความสัมพันธ์ระหว่างน้ำหนักบรรทุก \bar{P} และความยาวส่วนโค้งทั้งหมด \bar{s} ที่ $\alpha = 0.75$ $k_1 = 10$	48

คำอธิบายสัญลักษณ์และคำย่อ

A	ตัวกำกับล่างแสดงตำแหน่งจุดรองรับแบบข้อหมุน
B	ตัวกำกับล่างแสดงตำแหน่งจุดรองรับแบบสลีฟ
C	ตัวกำกับล่างแสดงตำแหน่งจุดต้านทานการหมุนแบบสปริง
E	โมดูลัสความยืดหยุ่น
I	โมเมนต์ของความเฉื่อย
P	แรงอัดตามแนวแกน
L	ความยาวช่วงของอิลาสติกคา
α	ค่าคงที่สัดส่วนความยาวส่วนโค้งของอิลาสติกคา ที่แสดงตำแหน่งของจุดต้านทาน มุมระหว่างโมเมนต์ของสปริงต้านทานการหมุน และมุมแบบอิลาสติกคา-พลาสติก ก่อนเกิดการโก่งเดาะ
β_1	มุมระหว่างโมเมนต์ของสปริงต้านทานการหมุน และมุมแบบอิลาสติกคา-พลาสติก หลังเกิดการโก่งเดาะ
β_2	
θ_A	มุมหมุนของอิลาสติกคา
H_A	แรงในแนวราบที่จุด A
V_A	แรงในแนวตั้งที่จุด A
V_B	แรงในแนวตั้งที่จุด B
M	โมเมนต์ดัด
N	แรงตามแนวแกน
V	แรงเฉือน ณ ตำแหน่งใด ๆ ของอิลาสติกคา
$\Delta\theta$	ค่าความแตกต่างของมุม ณ ตำแหน่งของสปริงที่จุด C
x	ระยะตามแนวราบของอิลาสติกคา
y	ระยะตามแนวตั้งของอิลาสติกคา
x^*	ระยะจากจุดรองรับ A ถึงจุดที่แรงกระทำตามแนวราบของอิลาสติกคา
y^*	ระยะจากจุดรองรับ A ถึงจุดที่แรงกระทำตามแนวตั้งของอิลาสติกคา
s	ความยาวส่วนโค้งของอิลาสติกคา

คำอธิบายสัญลักษณ์และคำย่อ (ต่อ)

S_t	ความยาวส่วนโค้งทั้งหมดของอีลาสติคคา
k_1	ค่าสตีเฟนสของสปริงก่อนการโก่งเดาะ
k_2	ค่าสตีเฟนสของสปริงหลังการโก่งเดาะ
\bar{x}	ระยะตามแนวราบของอีลาสติคคาแบบไร้หน่วย $[\bar{x} = \frac{x}{L}]$
\bar{y}	ระยะตามแนวตั้งของอีลาสติคคาแบบไร้หน่วย $[\bar{y} = \frac{y}{L}]$
\bar{x}^*	ระยะจากจุดรองรับ A ถึงจุดที่แรงกระทำตามแนวราบของอีลาสติคคาแบบไร้หน่วย $[\bar{x}^* = \frac{x^*}{L}]$
\bar{y}^*	ระยะจากจุดรองรับ A ถึงจุดที่แรงกระทำตามแนวตั้งของอีลาสติคคาแบบไร้หน่วย $[\bar{y}^* = \frac{y^*}{L}]$
\bar{s}	ความยาวส่วนโค้งของอีลาสติคคาแบบไร้หน่วย $[\bar{s} = \frac{s}{L}]$
\bar{S}_t	ความยาวส่วนโค้งทั้งหมดของอีลาสติคคาแบบไร้หน่วย $[\bar{S}_t = \frac{S_t}{L}]$
\bar{P}	แรงกระทำแบบจุด กระทำในแนวตั้งอยู่เสมอโดยไม่มีการติดตามการเสียรูปแบบไร้หน่วย $[\bar{P} = \frac{PL^2}{EI}]$
\bar{M}	โมเมนต์ดัดแบบไร้หน่วย $[\bar{M} = \frac{ML}{EI}]$
\bar{I}	โมเมนต์ของความเฉื่อยแบบไร้หน่วย $[\bar{I} = \frac{I}{L^4}]$
\bar{k}_i	ค่าสตีเฟนสของสปริงแบบไร้หน่วย $[\bar{k}_i = \frac{k_i L}{EI}]$

คำอธิบายสัญลักษณ์และคำย่อ (ต่อ)

Arc - Length	ความยาวส่วนโค้ง
Boundary Condition	เงื่อนไขขอบเขต
Critical Load	น้ำหนักบรรทุกวิกฤติ
Differential Equation	สมการอนุพันธ์
Elastica	อีลาสติกา
Elliptic Function	อีลิปติกฟังก์ชัน
Elliptic - Integral Method	วิธีอีลิปติกอินทิกรัล
Equilibrium	สมดุล
Euler - Bernoulli	ทฤษฎีของออยเลอร์ - แบร์นูลลี
Finite Element Method	วิธีไฟไนต์เอลิเมนต์
Flexural Rigidity	ความแข็งแรงของวัสดุต่อการดัด
Flowchart	แผนผังแสดงขั้นตอนของการทำงาน
Free - Body Diagram	ไดอะแกรมของชิ้นส่วนอิสระ
Geometric Relation	ความสัมพันธ์ทางเรขาคณิต
Governing Equation	สมการครอบคลุมของปัญหา
Homogenous Material	วัสดุที่เป็นเนื้อเดียวกัน
Instability	ความไร้เสถียรภาพ
Isotropic	คุณสมบัติของวัสดุ (E) ที่เท่ากันทุกทิศทาง
Large Deflection	การโก่งตัวมาก
Newton - Raphson Method	วิธีนิวตัน - ราฟสัน
Polycarbonate Sheet	แผ่นโพลีคาร์บอเนต
Runge - Kutta Method	วิธีรุงเง - คัตตา
Shooting Method	วิธียิงเป้า
Stable Equilibrium	สมดุลแบบมีเสถียรภาพ
Static	สถิตศาสตร์
Strain	ความเครียด
Stress	ความเค้น
Stiffness	ความต้านทานของวัสดุ

คำอธิบายสัญลักษณ์และคำย่อ (ต่อ)

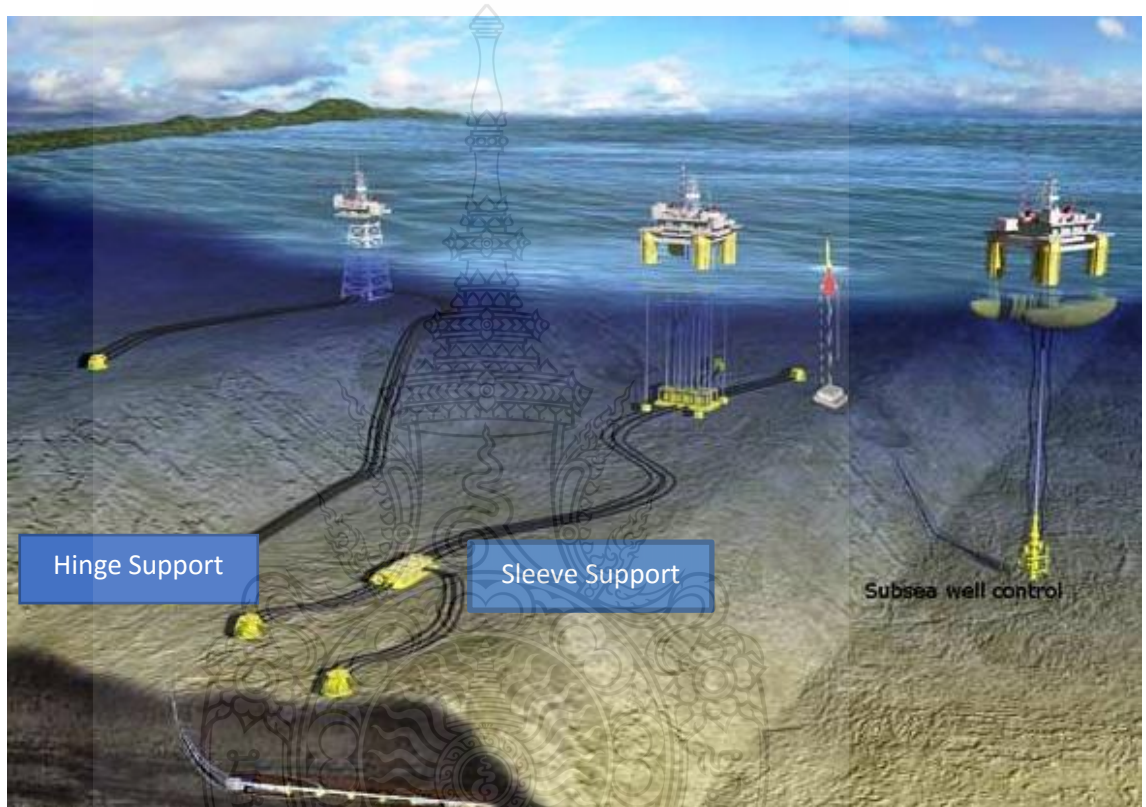
Tolerance	ความคลาดเคลื่อน
Total - Arc - Length	ความยาวส่วนโค้งทั้งหมด
Unstable Equilibrium	สมดุลแบบไร้เสถียรภาพ
Variable - Arc - Length Elastica	อีลาสติคที่มีความยาวส่วนโค้งแปรเปลี่ยนได้



บทที่ 1

บทนำ

1.1 ความเป็นมาและความสำคัญของปัญหา



รูปที่ 1.1 รูปตัวอย่างการประยุกต์ใช้กับงานท่อส่งน้ำมันและก๊าซธรรมชาติ (<https://nongferndaddy.com>)

การศึกษาพฤติกรรมของอิลาสติกคาเกิดขึ้นอย่างแพร่หลายและต่อเนื่อง โดยอาจแบ่งการศึกษาพฤติกรรมของอิลาสติกคาได้สองรูปแบบคือ อิลาสติกคาที่มีความยาวคงที่ (Constant Length Elastica) และอิลาสติกคาที่มีความยาวส่วนโค้งแปรเปลี่ยนได้ (Variable-Arc-Length Elastica หรือเรียกโดยย่อว่า VAL Elastica) อิลาสติกคาทั้งสองแบบนี้มีพฤติกรรมที่แตกต่างกัน โดยเฉพาะอย่างยิ่งเมื่อถูกกระทำโดยแรงอัดตามแนวแกน (Compression) อิลาสติกคาที่มีความยาวคงที่ภายใต้แรงอัดแสดงพฤติกรรมแบบมี เสถียรภาพ (Stable) หลังการโก่งเดาะ ในขณะที่อิลาสติกคาที่มีความยาวส่วนโค้งแปรเปลี่ยนได้ภายใต้แรงอัดแบบเดียวกันแสดงพฤติกรรมแบบไร้เสถียรภาพ (Unstable) หลังการ

โก่งเดาะ [3,4] ซึ่งอิลาสติกคาที่ มีความยาวส่วนโค้งแปรเปลี่ยนได้นิยมนำไปใช้ในแบบจำลองของท่อ ลำเลียงใต้ทะเล (Marine Risers) [5] โดยความยาวส่วนโค้งของอิลาสติกคาสามารถเพิ่มขึ้นได้เป็นผลให้ สติฟเนสการดัดลดลง ดังนั้นเมื่อความ ยาวส่วนโค้งเพิ่มขึ้นทำให้เกิดสภาวะสมมูลที่ไร้เสถียรภาพ ภายหลังการโก่งเดาะ โดยความยาวส่วนโค้งที่เพิ่มขึ้นทำให้มีโอกาสที่เกิดการหักงอของท่อลำ เลียงได้ ซึ่งในงานวิจัยของ Phungpaingam และ Chuchepsakul [1] ได้ทำการศึกษาพฤติกรรมของอิลาสติก คาที่มีสปริงต้านทานการหมุนในช่วงความยาวของอิลาสติกคา โดยใช้สปริงต้านทานการหมุนแบบ ยึดหยุ่นเชิงเส้นเป็นแบบจำลองการหักงอของอิลาสติกคา การศึกษาดังกล่าวเป็นการศึกษาพฤติกรรม ของอิลาสติกคาสองชิ้นส่วนที่เชื่อมต่อกันด้วยสปริงต้านทานการหมุนแบบยึดหยุ่นเชิงเส้น ซึ่งการศึกษา อันตักิริยา (Interaction) ของอิลาสติกคาสองชิ้นส่วนซึ่งมีงานวิจัยที่ค่อนข้างจำกัด อีกตัวอย่างหนึ่งของ การศึกษาอิลาสติกคาสองชิ้นส่วนที่เชื่อมต่อกันด้วยสปริงต้านทานการหมุนคือ Dado et al. [9] ซึ่งได้ ศึกษาพฤติกรรมของอิลาสติกคาที่เป็นเสาเอ็น (Cantilever Column) ที่เชื่อมต่อกันด้วยสปริงต้านทาน การหมุนแบบยึดหยุ่นเชิงเส้น ซึ่งเป็นการศึกษาในส่วนของอิลาสติกคาที่มีความยาวคงที่ แต่อย่างไรก็ตาม งานวิจัยทั้งสองชิ้นนี้ [1,9] ยังไม่ได้ศึกษาถึงผลกระทบของลักษณะรูปแบบของสปริงต้านทานการหมุน แบบอื่นๆ จึงเป็นประเด็นที่น่าสนใจสำหรับการศึกษาในงานวิจัยนี้

เนื่องจากสปริงต้านทานการหมุนนี้อาจเกิดขนาดของมุมหมุนที่มีขนาดมากได้ในกรณีที่สปริงมี ค่าสติฟเนสที่ค่อนข้างน้อย ซึ่งทำให้มีโอกาสเกิดสภาพของพฤติกรรมของจุดหมุนที่เป็นแบบยึดหยุ่นเชิง เส้นคู่ (Bilinear Elastic Behavior) หรือ เป็นแบบอิลาสติก-พลาสติก (Elastic-Plastic Behavior) ได้ ซึ่งในอดีตที่ผ่านมาพบความที่เกี่ยวกับพฤติกรรมภายใต้สภาวะที่ชิ้นส่วนของอิลาสติกคาเกิดสภาพ ที่เป็นอิลาสติก-พลาสติกมาแล้วเช่นในงานวิจัยของ [14] และเมื่อไม่นานมานี้ในปี คศ. 2016 Pandit และ Srinivasan [15] ได้ทำการศึกษาพฤติกรรมการแอ่นตัวมากของคานโค้งที่พิจารณาผลกระทบของ วัสดุที่เป็นแบบอิลาสโต-พลาสติก (Elasto-Plastic) ภายใต้แรงกระทำที่ติดตามการเสียรูปของคาน โดย จะเห็นได้ว่าในงานวิจัยของ [14-15] มุมลาดเอียงของคานเพิ่มขึ้นในทิศทางเดียว พฤติกรรมการหมุน ของหน้าตัดจึงเป็นการหมุนไปในทิศทางเดียว แต่ในบทความนี้มุมหมุนของสปริงต้านทานการหมุนอาจมี การเพิ่มขึ้น และลดลง (หมุนกลับด้าน) ในขณะที่ความยาวส่วนโค้งของอิลาสติกคาจะเพิ่มขึ้นอย่าง ต่อเนื่องซึ่ง เป็นประเด็นที่น่าศึกษาถึงผลกระทบที่มีต่อพฤติกรรมของอิลาสติกคา

ในบทความนี้ใช้กระบวนการเชิงตัวเลขในการคำนวณหาผลเฉลย โดยสร้างระบบสมการอนุพันธ์ ครอบคลุมปัญหาจากสมการสมมูลของอิลาสติกคา ความสัมพันธ์ระหว่างโมเมนต์และความโค้ง และ ความสัมพันธ์เชิงเรขาคณิตของอิลาสติกคา หลังจากนั้นทำการอินทิเกรตด้วยวิธีรุงเง-คุตต้า (Runge-Kutta) จนกระทั่ง สอดคล้องกับเงื่อนไขขอบเขตของปัญหา แบบจำลองของสปริงต้านทานการหมุนใน บทความนี้ได้พิจารณาแบบจำลองทั้งหมดสามแบบคือ 1) ยึดหยุ่นเชิงเส้น (Linear Elastic) 2) ยึดหยุ่น

เชิงเส้นคู่ (Bilinear Elastic) และ 3) อีลาสติก-พลาสติก (Elastic-Plastic) โดยที่สปริงต้านทานการหมุนแบบแรกได้มีการศึกษาไว้แล้วโดย Phungpainingam และ Chucheepsakul [1] ดังนั้นในงานวิจัยนี้ได้ขยายขอบเขตของพฤติกรรมของสปริงต้านทานการหมุนให้ครอบคลุมได้มากยิ่งขึ้นโดยที่ผลจากการคำนวณได้ถูกเรียบเรียงในรูปของแผนภาพความสัมพันธ์ระหว่างน้ำหนักบรรทุก \bar{P} และขนาดการเปลี่ยนแปลงของมุมที่จุดสปริงต้านทานการหมุน $|\Delta\theta|$ กับความยาวส่วนโค้งทั้งหมด \bar{s} และรูปร่างสมดุสของอีลาสติคคาในสถานะต่างๆ ซึ่งสามารถแสดงให้เห็นพฤติกรรมโดยรวมของอีลาสติคคาได้ โดยพบว่าภายหลังจากการครากน้ำหนักบรรทุก \bar{P} ลดลง และจะลดลงอย่างชัดเจนเมื่อสติเฟนสของสปริงต้านทานการหมุนมีค่าเป็นศูนย์ภายหลังจากการครากและอาจมีการเพิ่มขึ้นของน้ำหนักบรรทุก \bar{P} ได้ซึ่งแสดงให้เห็นถึงการมีเสถียรภาพของอีลาสติคคาในช่วงสั้นๆ ในขณะที่ความยาวส่วนโค้ง \bar{s} เพิ่มขึ้นขนาดของมุม $|\Delta\theta|$ อาจมีค่าที่เพิ่มขึ้นและลดลงได้ ซึ่งการเพิ่มขึ้น และลดลงของมุม $|\Delta\theta|$ มีผลต่อความสามารถในการถ่ายโมเมนต์ที่แตกต่างกันของสปริงต้านทานการหมุนทั้งสามรูปแบบ ซึ่งงานวิจัยนี้ได้ทำการแสดงเปรียบเทียบผลที่เกิดขึ้น และมีพฤติกรรมที่น่าสนใจอาทิเช่น ผลของการเปลี่ยนแปลงสติเฟนสของสปริงที่จุดครากต่อพฤติกรรมของอีลาสติคคา การมีเสถียรภาพของอีลาสติคคาที่มีความยาวส่วนโค้งแปรเปลี่ยนได้ (VAL Elastica) พฤติกรรมของอีลาสติคคาเมื่อสปริงหมุนกลับด้าน เป็นต้น

1.2 วัตถุประสงค์ของการวิจัย

1.2.1 เพื่อศึกษาพฤติกรรมเมื่อสปริงต้านทานการหมุนเกิดการครากและมีการเปลี่ยนแปลงค่าสติเฟนส เทียบกับกรณีที่ไม่เกิดการคราก

1.2.2 เพื่อศึกษาพฤติกรรมของอีลาสติคคาเมื่อสปริงเป็นแบบอีลาสติก-พลาสติก และเกิดการหมุนกลับด้าน

1.3 สมมติฐานในการวิเคราะห์

สมมติฐานในการวิเคราะห์ปัญหาการโค้งงอของอีลาสติคคาที่มีความยาวส่วนโค้งแปรเปลี่ยนได้ โดยสปริงต้านทานการหมุนเป็นจุดแบบเชิงเส้นคู่ในช่วงความยาวอีลาสติคคา

1.3.1 วัสดุมีความสม่ำเสมอเป็นเนื้อเดียวกันตลอด (Homogenous)

1.3.2 อีลาสติคคาไม่มีการยึดหดตัวตามแนวแกนเมื่อรับแรง

1.3.3 คุณสมบัติของวัสดุเป็นไปตามกฎความสัมพันธ์ของฮุก (Hooke's law)

1.3.4 การอ่อนตัวของอีลาสติคคามีค่ามากในขณะที่ความเครียดมีค่าน้อย

1.4 ขอบเขตของการวิจัย

งานวิจัยนี้นำเสนอการวิเคราะห์พฤติกรรมหลังการโก่งเดาะของอิลาสติกคาที่มีสปริงหมุนภายในเป็นแบบเชิงเส้นคู่ เป็นจุดต้านทานการหมุนในช่วงความยาวของอิลาสติกคา โดยมีขอบเขตของการศึกษาดังนี้

1.4.1 แบบจำลองของงานวิจัยเป็นอิลาสติกคาที่มีความยาวส่วนโค้งแปรเปลี่ยนได้โดยมีจุดครากภายในโดยจำลองให้สปริงเป็นจุดหมุนแบบเชิงเส้นคู่

1.4.2 วัสดุเป็นแบบเชิงเส้นซึ่งมีสมการความสัมพันธ์ระหว่างความเค้นและความเครียดอยู่ในรูป $\sigma = E\varepsilon$ โดยที่ E คือค่าโมดูลัสของความยืดหยุ่น

1.5 ขั้นตอนการวิจัย

งานวิจัยนี้ได้ทำการวิเคราะห์ผลกระทบของจุดต้านทานการหมุนแบบยืดหยุ่นพลาสติกต่อพฤติกรรมหลังการโก่งเดาะของอิลาสติกคาที่มีความยาวส่วนโค้งแปรเปลี่ยน การแก้สมการครอบคลุมของปัญหาด้วยวิธียิงเป้าร่วมกับเทคนิคการอินทิกรัลเชิงตัวเลขแบบรุ่งเง - คุดตา โดยมีขั้นตอนการศึกษา คือ

- 1.5.1 ศึกษางานวิจัยที่เกี่ยวข้อง
- 1.5.2 ศึกษาคุณสมบัติของวัสดุที่เป็นเชิงเส้น
- 1.5.3 ศึกษาทฤษฎีการเสียรูปมากของอิลาสติกคา
- 1.5.4 ศึกษากระบวนการ Newton - Raphson
- 1.5.5 ศึกษาระเบียบวิธียิงเป้า (Shooting Method) และการอินทิเกรตเชิงตัวเลขด้วยระเบียบวิธีรุ่งเง - คุดตา (Runge - Kutta Method)
- 1.5.6 ศึกษาโปรแกรม MATLAB
- 1.5.7 เขียนสมการครอบคลุมของปัญหา (Governing Equation) และกำหนดขอบเขตเงื่อนไขที่เหมาะสมในการหาคำตอบ (Boundary Condition)
- 1.5.8 เปรียบเทียบผลการคำนวณเชิงตัวเลขที่ได้จากโปรแกรม MATLAB
- 1.5.9 สรุปผลการศึกษา

1.6 ข้อจำกัดของการศึกษา

- 1.6.1 ไม่พิจารณาผลกระทบที่เกิดจากการยืดหดตัวตามแนวแกน (Axial Deformation)
- 1.6.2 ไม่พิจารณาผลอันเนื่องมาจากการเสียรูปเนื่องจากแรงเฉือน (Shear Deformation)
- 1.6.3 ไม่พิจารณาผลที่เกิดจากแรงโน้มถ่วงของโลก

1.7 ประโยชน์ที่คาดว่าจะได้รับ

1.7.1 ทราบพฤติกรรมหลังการโค้งงอของโครงสร้างอิลาสติคคาที่มีความยาวส่วนโค้งแปรเปลี่ยนได้โดยมีจุดหมุนสปริงแบบเชิงเส้นคู่

1.7.2 ทราบถึงน้ำหนักบรรทุกวิกฤติ (ถ้ามี)



บทที่ 2

ทฤษฎีและงานวิจัยที่เกี่ยวข้อง

งานวิจัยนี้ทำการวิเคราะห์พฤติกรรมหลังการโก่งเดาะของอิลาสติกคาที่มีความยาวส่วนโค้งแปรเปลี่ยนได้ (Variable-Arc-Length, VAL) เมื่อถูกแรงอัดตามแนวแกน (Compression) โดยใช้สปริงเป็นตัวต้านทานการหมุน เป็นจุดเชื่อมต่อของแบบจำลองที่เกิดการโก่งเดาะ โดยอิลาสติกคาที่มีความยาวส่วนโค้งแปรเปลี่ยนได้จะแสดงพฤติกรรมแบบไร้เสถียรภาพ (Unstable) หลังการโก่งเดาะ ด้วยเหตุนี้การโก่งเดาะของอิลาสติกคาที่มีความยาวส่วนโค้งแปรเปลี่ยนได้จึงจัดปัญหาหนึ่งที่น่าสนใจ โดยการแก้ปัญหาในงานวิจัยนี้ได้ใช้กระบวนการเชิงตัวเลขในการคำนวณผลเฉลย โดยสร้างระบบสมการอนุพันธ์ที่ครอบคลุมปัญหา (Governing Equation) จาก สมการสมดุลของอิลาสติกคา ความสัมพันธ์ระหว่างโมเมนต์และความยาวส่วนโค้ง ความสัมพันธ์เชิงเรขาคณิตของอิลาสติกคา และทำการอินทิเกรตด้วยวิธีรุงเง-คุดต้า (Runge-Kutta) จนสอดคล้องกับเงื่อนไขขอบเขตของปัญหา แต่ในบทนี้จะกล่าวถึงทฤษฎีและงานวิจัยที่เกี่ยวข้องดังนี้

2.1 งานวิจัยที่เกี่ยวข้อง

จากการศึกษางานวิจัยที่เกี่ยวข้องกับการโก่งเดาะของอิลาสติกคาที่มีความยาวส่วนโค้งแปรเปลี่ยนได้ภายใต้แรงกระทำแบบต่างๆ โดยทำการแบ่งไปตามลักษณะของวัสดุที่ถูกแรงกระทำและสามารถแบ่งออกเป็นกลุ่มย่อยๆได้ ดังนี้ การศึกษาพฤติกรรมก่อนและหลังการโก่งเดาะของอิลาสติกคาที่มีความยาวส่วนโค้งแปรเปลี่ยนได้ การศึกษาพฤติกรรมก่อนและหลังการโก่งเดาะของอิลาสติกคา ดังนี้

2.2.1 การศึกษาพฤติกรรมหลังการโก่งเดาะของอิลาสติกคาที่มีความยาวส่วนโค้งแปรเปลี่ยนได้

Boonchai Phungpaingam และ Somchai Chucheeepsakun [1] ได้ทำการศึกษาพฤติกรรมหลังการโก่งเดาะของอิลาสติกคาที่มีความยาวส่วนโค้งแปรเปลี่ยนได้ที่มีจุดหมุนแบบสปริงรวมไปถึงผลกระทบที่เกิดจากแรง

ณัฐภูมิ พิชัยยุทธ์ [2] ได้ทำการศึกษาพฤติกรรมหลังการโก่งเดาะของอิลาสติกคาที่มีความยาวส่วนโค้งแปรเปลี่ยนได้ (Variable-Arc-Length, VAL) โดยมีจุดหมุนแบบสปริงอยู่ในช่วงความยาวของอิลาสติกคา

ศรัณย์ ชุ่มกลัด [3] ผลกระทบของปลายยื่นของอิลาสติกคาที่มีความยาวส่วนโค้งแปรเปลี่ยนได้ (Variable-Arc-Length, VAL) ได้โดยมีแรงกระทำภายใต้น้ำหนักบรรทุกของตัวเอง

ธานินทร์ สุดสงวน [4] ได้นำเสนอพฤติกรรมหลังการโก่งเดาะของอีลาสติคคาของคานโค้งแบบวงกลมที่มีความยาวส่วนโค้งแปรเปลี่ยนได้ภายใต้แรงอัดแบบติดตามการเสีรูปกระทำที่ปลายการหาค่าตอบของปัญหาใช้สองวิธีที่แตกต่างกันคือวิธีอีลิปติคอินทิกรัลและวิธีที่สองแก้ปัญหาโดยวิธียิงเป้า

สุนทร เกียรติคงศักดิ์ และสมชาย ชูชีพสกุล [5] ได้ทำการศึกษาถึงพฤติกรรมหลังการโก่งเดาะของอีลาสติคคาอย่างง่ายได้สภาพการยึดรั้งที่ปลาย โดยที่ปลายทั้งสองข้างหมุนได้ตามเงื่อนไขของจุดรองรับซึ่งกำหนดแรงอัดเข้ากระทำที่ปลายของอีลาสติคคา และทำการวิเคราะห์ปัญหาโดยใช้โปรแกรม ABAQUS ซึ่งเป็นโปรแกรมที่สร้างขึ้นโดยใช้ระเบียบวิธีไฟไนต์เอลิเมนต์ และนำผลที่ได้ไปตรวจสอบกับผลที่ได้จากวิธีการยิงเป้า

บุญชัย ผึ้งไผ่งาม [6] ได้ทำการศึกษาการแอ่นตัวมากของคานที่มีความยาวส่วนโค้งแปรเปลี่ยนได้ภายใต้น้ำหนักบรรทุกทุกเอียงที่มีการเปลี่ยนแปลงทิศทางตามการเสีรูปของคาน โดยที่ปลายด้านหนึ่งของคานเป็นจุดรองรับแบบหมุน ในขณะที่ปลายอีกด้านหนึ่งของคานยอมให้มีการเคลื่อนที่ได้อย่างอิสระบนจุดรองรับแบบไร้แรงเสียดทาน เมื่อเกิดการเสีรูปความยาวส่วนโค้งทั้งหมดของคานมีค่าที่ไม่คงที่ โดยหาค่าตอบด้วยวิธีอีลิปติคอินทิกรัลและวิธีการยิงเป้า ซึ่งทั้งสองวิธีให้ผลที่ใกล้เคียงกันมาก

2.2.2 การศึกษาพฤติกรรมก่อนและหลังการโก่งเดาะของอีลาสติคคา

วิจิต กลัปใจ [7] ได้ศึกษาผลเฉลยในรูปแบบปิดและพฤติกรรมหลังการโก่งเดาะของอีลาสติคคาทรงโค้งแบบวงกลมภายใต้แรงกระทำที่ปลาย โดยที่ปลายด้านหนึ่งของอีลาสติคคาทรงโค้งมีฐานรองรับเป็นแบบยึดหมุนและอีกด้านเป็นแบบลูกกลิ้ง

Dado และคณะ [8] ได้ศึกษาอีลาสติคคาสองชั้นที่เชื่อมต่อกันด้วยสปริงด้านทานการหมุน ซึ่งได้ศึกษาพฤติกรรมของอีลาสติคคาที่เป็นเสายื่น (Cantilever Column) ที่เชื่อมต่อกันด้วยสปริงด้านทานการหมุนแบบยึดหมุนเชิงเส้น ซึ่งเป็นการศึกษาในส่วนของอีลาสติคคาที่มีความยาวคงที่

Kounadis และ Maillis [9] ได้ทำการศึกษาพฤติกรรมภายหลังการโก่งเดาะคานที่รองรับแบบธรรมดาโดยใช้เทคนิคการประมาณค่าตอบเปรียบเทียบกับวิธีการเชิงตัวเลขใช้วิเคราะห์ปัญหาอีลาสติคคาที่ทำจากวัสดุไม่เป็นเชิงเส้น

Wang และ Kitipornchai [10] ได้นำเสนอเทคนิคยิงเป้าแบบประสิทธิผล (Shooting Optimization) เพื่อหาค่าการโก่งตัวมากและพฤติกรรมการโก่งเดาะของชิ้นส่วนโครงสร้าง

สหรับ โพธิ์นอก [11] ได้ศึกษาการโก่งตัวมากของเสาปลายยื่นที่ทำจากแบบจำลองวัสดุแบบลุดวิกภายใต้แรงยึดรั้งที่เคเบิลและแก้ปัญหาโดยใช้วิธียิงเป้าร่วมด้วยกับการอินทิเกรตเชิงตัวเลขแบบรุ่งเง-คุดตา อันดับที่ 7

Athisakul และ Chuchepsakul [12] ได้ศึกษาการแอ่นตัวมากของอิลาสติคาคาที่มีความยาวส่วนโค้งแปรเปลี่ยนได้ภายใต้น้ำหนักบรรทุกตัวเองกระจายอย่างสม่ำเสมอ โดยหาคำตอบด้วยวิธีไฟไนต์เอลิเมนต์และวิธีการยิงเป้า จากการวิเคราะห์ผลพบว่าการยกหรือลดระดับของจุดรองรับมีผลต่อค่าน้ำหนักตัวเองกระจายอย่างสม่ำเสมอ เมื่อยกระดับจุดรองรับแบบไร้แรงเสียดทานค่าน้ำหนักตัวเองกระจายอย่างสม่ำเสมอ ณ สภาวะวิกฤติจะมีค่าเพิ่มขึ้น และหากลดระดับจุดรองรับแบบไร้แรงเสียดทานค่าน้ำหนักตัวเองกระจายอย่างสม่ำเสมอ ณ สภาวะวิกฤติจะมีค่าลดลง

Monasa [13] ได้ศึกษาพฤติกรรมภายใต้สภาวะที่ขึ้นส่วนของอิลาสติคาคาเกิดสภาพที่เป็นอิลาสติค-พลาสติก

Srinivasan และคณะ [14] ได้ทำการศึกษาพฤติกรรมการแอ่นตัวมากของคานโค้งที่พิจารณาผลกระทบของวัสดุที่เป็นแบบอีลาสโต-พลาสติก (Elasto-Plastic) ภายใต้แรงกระทำที่ติดตามการเสียรูปของคาน

2.2 ทฤษฎีที่เกี่ยวข้อง

ทฤษฎีการดัดยืดหยุ่นของคาน (Elastic Bending Theory of Beam) เพื่อหาความสัมพันธ์ระหว่างการเปลี่ยนรูปกับโมเมนต์ดัด จากรูปที่ 2.1 แสดงรูปคานที่รับน้ำหนักบรรทุกใดๆ ในระนาบ xy โดยมีระนาบสมมาตร (Plane of Symmetry) อยู่ตำแหน่งแนวแกนสะเทินของหน้าตัด เมื่อคานรับน้ำหนักแล้วจะเกิดการโก่งตัวและแรงภายในประกอบด้วยแรงเฉือนและโมเมนต์ดัด ดังนั้นเมื่อพิจารณาชิ้นส่วนเล็กๆ ความยาว dx อยู่ห่างจากฐานรองรับ A เป็นระยะ x โดยถูกกระทำจากโมเมนต์ดัดเพียงอย่างเดียวดังรูปที่ 2.2 จากการเปลี่ยนแปลงมุมระหว่างหน้าตัด a และ b ทำให้เกิดความเครียดที่แนว ab มีค่าเท่ากับ

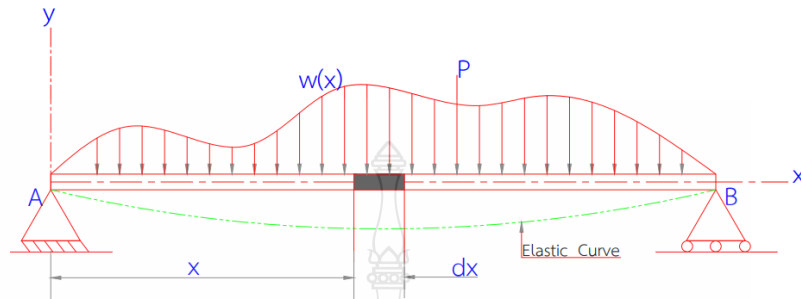
$$\varepsilon = \frac{y}{R} \quad (2.1)$$

จากกฎของฮุก (Hooke's Law)

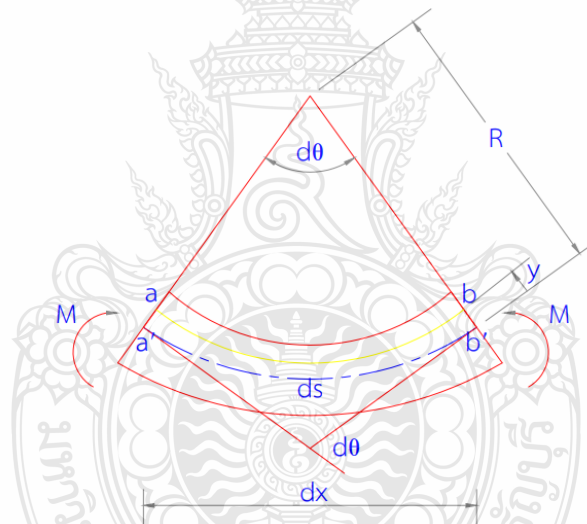
$$\sigma = E\varepsilon \quad (2.2)$$

นำสมการที่ (2.1) แทนในสมการที่ (2.2)

$$\sigma = E \frac{y}{R} \quad (2.3)$$



รูปที่ 2.1 อีลาสติกคาที่มีน้ำหนักมากกระทำ



รูปที่ 2.2 ความสัมพันธ์ระหว่างเส้นโค้งยืดหยุ่นและโมเมนต์ดัดของอีลาสติกคา

จากสมการที่ (2.3) แสดงความสัมพันธ์ระหว่างหน่วยแรงและจุดที่พิจารณาบนโครงสร้างห่างจากแนวแกนสะเทินเท่ากับ y เนื่องจาก E และ R มีค่าคงที่ของวัสดุ ดังนั้นหน่วยแรงที่เกิดขึ้นจะแปรผันโดยตรงกับระยะทางของจุดที่พิจารณาบนหน้าตัดที่ห่างจากแนวแกนสะเทินเป็นระยะ y โดยมีค่ามากที่สุดที่ผิวบนสุด ดังนั้นหน่วยแรงที่มีค่าสูงสุดมีค่าเท่ากับ

จากรูปที่ 2.2 สามารถหาความสัมพันธ์โมเมนต์ดัดกับความโค้ง (Moment-Curvature Relationship) ได้ดังนี้

$$\frac{d\theta}{ds} = \frac{1}{R} = \frac{M}{EI} \quad (2.1)$$

โดยที่ θ = มุมราดที่จุดใดๆบนเส้นโค้งอีลาสติคคา (Elastic Curve)
 M = โมเมนต์ดัดที่เกิดขึ้นที่หน้าตัด
 $d\theta$ = ค่าการเปลี่ยนแปลงของมุมลาด ของชิ้นส่วนความยาว dx
 R = รัศมีความโค้ง (Radius of curvature) ของ ds
 EI = ความแข็งแรงต่อการดัด (Flexural rigidity) ของหน้าตัด

จากความสัมพันธ์ค่ามุมลาดที่แกนสะเทิน

$$\frac{dx}{ds} = \cos \theta \quad (2.2)$$

จากสูตรตรีโกณมิติ

$$\sec^2 \theta = 1 + \tan^2 \theta \quad (2.3)$$

$$\frac{dy}{dx} = \tan \theta \quad (2.4)$$

$$\frac{d}{ds} \left(\frac{dy}{dx} \right) = \frac{d}{ds} (\tan \theta) = \sec^2 \theta \frac{d\theta}{ds} \quad (2.6)$$

$$\frac{d}{ds} \left(\frac{dy}{dx} \right) = \left(1 + \left(\frac{dy}{dx} \right)^2 \right) \frac{d\theta}{ds} \quad (2.7)$$

จากกฎลูกโซ่

$$\frac{d}{ds} \left(\frac{dy}{dx} \right) = \frac{d}{dx} \left(\frac{dy}{dx} \right) \cdot \frac{dx}{ds} \quad (2.8)$$

$$\frac{d^2 y}{dx^2} = \left(1 + \left(\frac{dy}{dx} \right)^2 \right)^{\frac{3}{2}} \frac{d\theta}{ds} \quad (2.9)$$

ความยาวส่วนโค้งอีลาสติคคา

$$\frac{d\theta}{ds} = \frac{\frac{d^2 y}{dx^2}}{\left(1 + \left(\frac{dy}{dx} \right)^2 \right)^{\frac{3}{2}}} \quad (2.10)$$

$$\frac{d\theta}{ds} = \frac{1}{R} \quad (2.11)$$

$$\frac{M_{(x)}}{EI} = \frac{1}{R} \quad (2.12)$$

$$\frac{M_{(x)}}{EI} = \frac{\frac{d^2 y}{dx^2}}{\left(1 + \left(\frac{dy}{dx}\right)^2\right)^{\frac{3}{2}}} = \frac{1}{R} \quad (2.13)$$

สมการที่ 2.13 เป็นสมการเชิงอนุพันธ์อันดับสองแบบไร้เชิงเส้น (Nonlinear second order - differential equation) โดยค่าการโก่งตัว (Deflection) ของอิลาสติกคาจะมีค่าน้อยมากเมื่อเทียบกับ 1 ทำให้ค่าพจน์ $\left(\frac{dy}{dx}\right)^2 \approx 0$ ทำให้สมการ 2.13 เป็นสมการอนุพันธ์เชิงเส้น

$$\frac{M_{(x)}}{EI} = \frac{d^2 y}{dx^2} = \frac{1}{R} \quad (2.14)$$



บทที่ 3

วิธีดำเนินการวิจัย

ในงานวิจัยนี้เพื่อศึกษาพฤติกรรมของอิลาสติกคาที่มีสปริงต้านทานการหมุนภายในช่วงความยาวของอิลาสติกคา โดยใช้สปริงต้านทานการหมุนแบบยืดหยุ่นเชิงเส้นเป็นแบบจำลองของการโก่งเดาะขออิลาสติกคาและสังเกตพฤติกรรมหลังการโก่งเดาะ โดยใช้ความสัมพันธ์ระหว่างโมเมนต์ตัดกับความโค้งและความสัมพันธ์เชิงเรขาคณิต ในชุดของสมการอนุพันธ์ครอบคลุมปัญหา (Governing Equation) และใช้วิธียิงเป้า (Shooting Method) ในการคำนวณหาผลเฉลยได้ใช้วิธีการอินทิเกรตเชิงตัวเลขแบบรุงเง-คุดต้า (Runge-Kutta Method) ที่มีความสอดคล้องกับเงื่อนไขขอบเขตที่ต้องการศึกษา

3.1 ความสัมพันธ์ระหว่างความเค้นและความเครียด

โดยสมการโมเมนต์ตัดกับความโค้งหาได้จากความสัมพันธ์ระหว่างความเค้น (Stress) และความเครียด (Strain) โดยคุณสมบัติของวัสดุที่เป็นไปตามกฎของฮุก (Hook's Law) ดังสมการที่ (3.1)

$$\sigma = E\varepsilon \quad (3.1)$$

เมื่อ

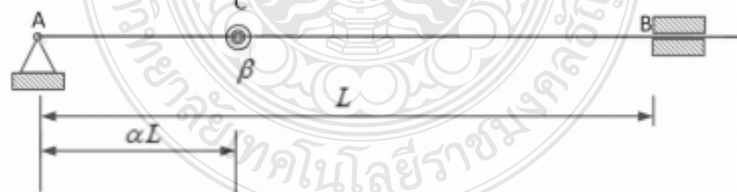
σ	คือ ความเค้น
ε	คือ ความเครียด
E	คือ ค่าโมดูลัสความยืดหยุ่นของวัสดุ

3.2 แบบจำลองของปัญหา

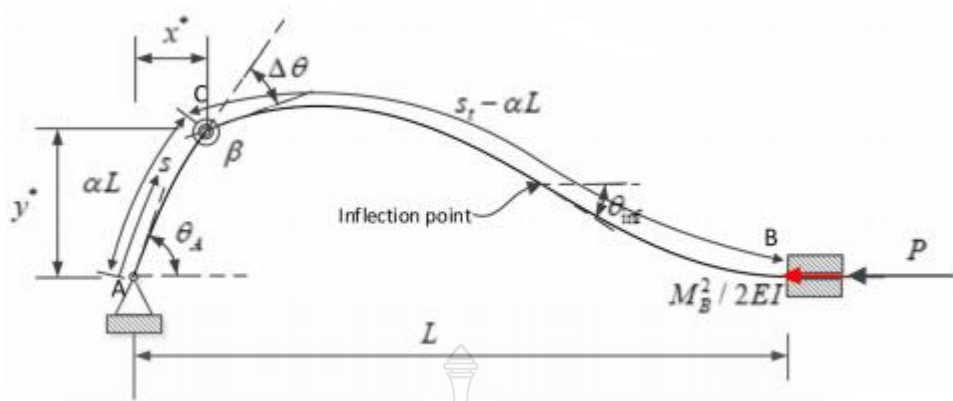
จากรูปที่ 3.1 แสดงรูปร่างของอิลาสติกคาในสองส่วน ส่วนแรกก่อนอิลาสติกคาเกิดการโก่งเดาะ และส่วนที่สองหลังจากอิลาสติกคาเกิดการโก่งเดาะแล้ว จากปัญหาของอิลาสติกคาที่มีความยาวส่วนโค้งแปรเปลี่ยนได้โดยมีสปริงต้านทานการหมุนเป็นจุดเชื่อมต่อระหว่างอิลาสติกคาทั้งสอง โดยที่ก่อนอิลาสติกคาจะเกิดการโก่งเดาะ อิลาสติกคาวางตัวในแนวเส้นตรง AB ที่เชื่อมต่อกันด้วยสปริงต้านทานการหมุนโดยมีจุด A เป็นจุดรองรับแบบหมุนได้อย่างอิสระและที่ปลายอีกด้านของอิลาสติกคาวางอยู่ที่จุดรองรับที่จุด B ซึ่งเป็นจุดรองรับแบบ สลิป ซึ่งอนุญาตให้ชิ้นส่วนของอิลาสติกคาสามารถเลื่อนไหลไปในแนวราบได้อย่างอิสระ และที่จุด C เป็นจุดต่อระหว่างอิลาสติกคาทั้งสองชิ้นส่วนโดยมีสปริงต้านทานการหมุนแบบอิลาสติก-พลาสติกเป็นจุดเชื่อมต่อ เมื่ออิลาสติกคาถูกแรงอัด P ตาม

แนวแกน ที่จุด B ทำให้อีลาสติคคาเกิดการโก่งเดาะที่จุด C โดยมีความสัมพันธ์ของโมเมนต์ที่จุด ต่ำนทานการหมุนของสปริง M_s กับผลต่างของมุมที่สปริงต้ำนทานการหมุน $\Delta\theta$ ดังแสดงในรูปที่ 3.3 และในส่วนที่สามเป็นส่วนของการหมุนกลับต้ำน (Reverse Rotation) ของสปริงต้ำนทานการหมุน โดยมีค่าของมุม β_1 และ β_2 เป็นค่ามุมของกราฟความสัมพันธ์ระหว่างโมเมนต์ของสปริงต้ำนทานการหมุน กับผลต่างของมุม ($\Delta\theta$) ที่จุด C เมื่ออีลาสติคคาเกิดการโก่งเดาะอันเนื่องมาจากแรงอัด P ที่จุด B จะมีรูปร่างหลังการโก่งเดาะดังแสดงในรูปที่ 3.2 และภายหลังการโก่งเดาะมุมที่จุด A มีค่ามุม เปลี่ยนเป็น θ_A โดยมีระยะต้ำนแหน่งของสปริงต้ำนทานการหมุนจากจุด A ในแนวแกน x อยู่ที่ระยะ x^* และระยะต้ำนแหน่งของสปริงต้ำนทานการหมุนจากจุด A ในแนวแกน y อยู่ที่ระยะ y^* ผลต่าง ของมุมที่เกิดขึ้นระหว่างสปริงต้ำนทานการหมุนกับโมเมนต์ที่จุดสปริงต้ำนทานการหมุนมีค่าเป็น $\Delta\theta$ ซึ่ง เกิดจากการส่งถ่ายโมเมนต์ตัดที่มีความแตกต่างกันของอีลาสติคคาที่เชื่อมต่อเป็นเนื้อเดียวกัน จากจุด B ซึ่งเป็นจุดรองรับแบบสลีฟเมื่อเกิดแรงอัด P ขึ้นตามแนวแกน AB ทำให้ชิ้นส่วนของอีลาสติคคา ถูกต้ำนเข้าไปในระบบทำให้อีลาสติคคาเกิดการโก่งตัวต้ำนทำให้ความยาวส่วนโค้งของอีลาสติคคาทั้งหมด เพิ่มขึ้นและในขณะที่เกิดการเลื่อนไหลอย่างอิสระนั้นก็มีแรงที่เกิดขึ้นอีกหนึ่งแรงเนื่องจากโมเมนต์ตัด M_B ที่ปลาย B ดังสมการที่ (3.2) ซึ่งเรียกว่าแรงแบบคอนฟิกูเรชันนอล (Configurational Force)

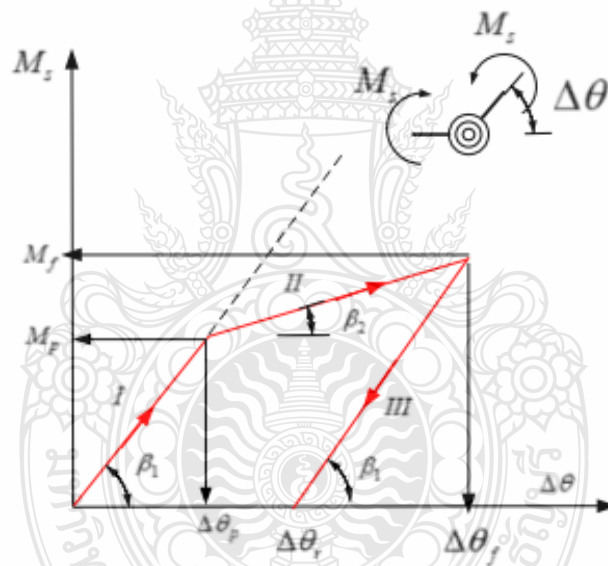
$$\Delta H_A = \frac{M_B^2}{2EI} \quad (3.2)$$



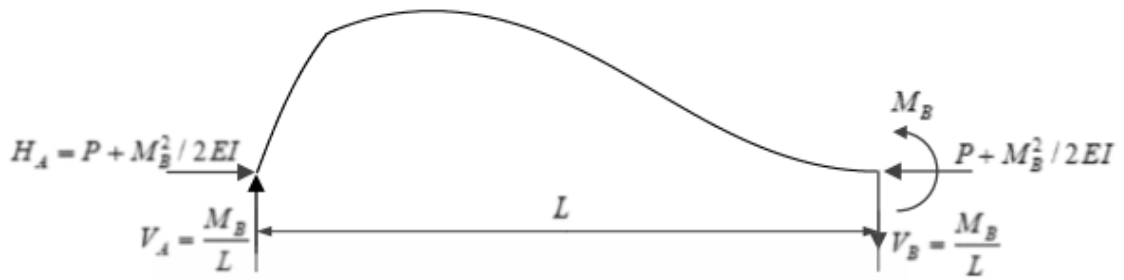
รูปที่ 3.1 อีลาสติคคาก่อนการโก่งเดาะ



รูปที่ 3.2 อีลาสติกคาภายหลังการโค้งงอ



รูปที่ 3.3 ความสัมพันธ์ระหว่างโมเมนต์ของสปริงต้านทานการหมุน M_z และ $\Delta\theta$ แบบอีลาสติกคา-พลาสติก



รูปที่ 3.4 แรงปฏิกิริยาที่จุดรองรับของอีลาสติคคา

จากรูปที่ 3.4 ใช้สมการสมดุลคำนวณหาแรงปฏิกิริยาที่จุดรองรับของอีลาสติคคาที่จุดรองรับ A และที่จุดรองรับ B ได้ ดังนี้

$$H_A = P + \left(\frac{M_B^2}{2EI} \right) \quad (3.3)$$

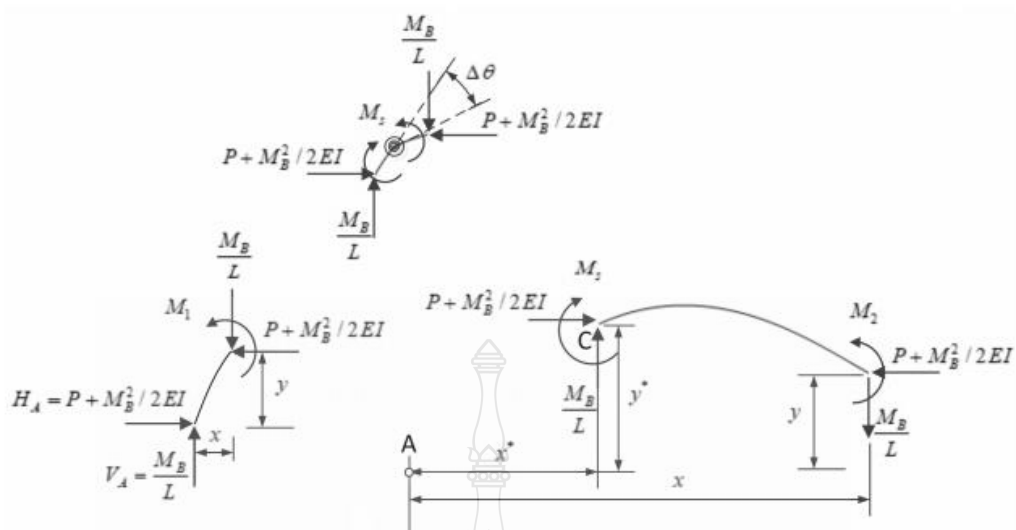
แรงกระทำตามแนวแกน x ที่จุดรองรับ A และ ที่จุดรองรับ B

$$V_A = \frac{M_B}{L} \quad (3.4)$$

แรงปฏิกิริยาที่จุดรองรับของอีลาสติคคาที่จุดรองรับ A

$$V_B = \frac{M_B}{L} \quad (3.5)$$

แรงปฏิกิริยาที่จุดรองรับของอีลาสติคคาที่จุดรองรับ B



รูปที่ 3.5 ผังชิ้นส่วนอิสระของอิลาสติกคา

จากรูปที่ 3.5 แสดงรูปตัดของชิ้นส่วนอิสระของอิลาสติกคาเพื่อหาแรงกระทำภายในชิ้นส่วน จากจุดรองรับที่จุด A ไปตามแนวราบเป็นระยะ x และไปตามแนวตั้งเป็นระยะ y จะได้สมการโมเมนต์ต้านทานภายในชิ้นส่วนอิลาสติกคา ดังนี้

กรณีนี้ที่ $s \leq \alpha L$

$$M_1 = \frac{M_B}{L}x - \left(P + \frac{M_B^2}{2EI}\right)y \quad (3.1)$$

กรณีนี้ที่ $\alpha L \leq s \leq s_r$

$$M_2 = \frac{M_B}{L}(x - x^*) + \left(P + \frac{M_B^2}{2EI}\right)(y^* - y) + M_s \quad (3.2)$$

โดยที่ s_r คือความยาวส่วนโค้งทั้งหมด M_s คือความสามารถในการส่งถ่ายโมเมนต์ที่จุดต้านทานการหมุนของสปริง ซึ่งขึ้นอยู่กับค่าสติฟเนส (Stiffness) ของสปริงต้านทานการหมุน โดยแบ่งช่วงค่าสติฟเนสของสปริงที่จุดต้านทานการหมุนออกเป็นสามช่วงดังแสดงจากรูปที่ 3.3 ดังนี้

$$\begin{aligned}
\text{ช่วงที่ } I & \quad k_1 = \tan(\beta_1) \\
\text{ช่วงที่ } II & \quad k_2 = \tan(\beta_2) \\
\text{ช่วงที่ } III & \quad k_1 = \tan(\beta_1)
\end{aligned}$$

โดยในช่วงที่ III ค่าสติเฟเนสของสปริงต้านทานการหมุนจะหมุนกลับมาเป็นช่วงที่ I อีกครั้งโดยเป็นการหมุนกลับด้าน ซึ่งพฤติกรรมดังกล่าวจะทำให้การส่งถ่ายโมเมนต์ตัดผ่านจุดต้านทานการหมุนของสปริงขึ้นอยู่กับผลต่างของมุมที่จุด C ดังแสดงในสมการ (3.3)

$$M_s = \begin{cases} \Delta\theta k_1 & 0 \leq \Delta\theta \leq \Delta\theta_p \\ M_p + (\Delta\theta - \Delta\theta_p)k_2 & \Delta\theta_p \leq \Delta\theta \leq \Delta\theta_f \\ (\Delta\theta - \Delta\theta_r)k_1 & \Delta\theta_r \leq \Delta\theta \leq \Delta\theta_f \end{cases} \quad (3.3)$$

โดยที่ M_p คือโมเมนต์เมื่อสปริงเกิดการครากและ $\Delta\theta_p$ คือมุมที่สปริงเกิดการคราก และมุม $\Delta\theta_r$ สามารถคำนวณได้ดังนี้

$$\Delta\theta_r = \Delta\theta_f - \frac{M_f}{k_1} \quad (3.4)$$

โดย $\Delta\theta_f$ คือผลต่างของมุมของสปริงที่เริ่มหมุนกลับด้านและ M_f คือความสามารถในการส่งถ่ายโมเมนต์เมื่อสปริงเริ่มหมุนกลับด้านตามลำดับ จากสมการความสัมพันธ์ของโมเมนต์ตัดภายในช่วงของอีลาสติกคาที่ผ่านมาสามารถหาความสัมพันธ์ระหว่างโมเมนต์ตัดและความโค้งของอีลาสติกคา และความสัมพันธ์ทางด้านเรขาคณิตได้แสดงในสมการที่ (3.5) ถึง (3.7) ดังนี้

$$\frac{d\theta}{ds} = \frac{M_i}{EI} \quad i=1,2 \quad (3.5)$$

$$\frac{dx}{ds} = \cos \theta \quad (3.6)$$

$$\frac{dy}{ds} = \sin \theta \quad (3.7)$$

สมการ (3.5) ถึง (3.7) ทั้งหมดประกอบกันเป็นสมการครอบคลุมปัญหา (Governing Equation) เพื่อความสะดวกในการคำนวณตัวแปรทั้งหมดจะอยู่ในรูปของตัวแปรไร้หน่วยดังต่อไปนี้

$$\frac{d\theta}{ds} = \bar{M}_i \quad i=1,2 \quad (3.8)$$

$$\frac{d\bar{x}}{ds} = \cos \theta \quad (3.9)$$

$$\frac{d\bar{y}}{ds} = \sin \theta \quad (3.10)$$

จากระบบสมการในรูปตัวแปรไร้หน่วย (3.8) ถึง (3.10) เป็นสมการครอบคลุมปัญหาที่ใช้ในกระบวนการแก้ไขปัญหาเชิงตัวเลขในงานวิจัยนี้ โดยระบบสมการดังกล่าวได้อธิบายการโค้งตัวของอิลาสติคคาในชิ้นส่วนย่อย $d\bar{s}$ หากต้องการทราบพฤติกรรมโดยรวมทั้งหมดจำเป็นต้องอินทิเกรตระบบสมการ (3.8) ถึง (3.10) จากจุดเริ่มต้นคือ $\bar{s}=0$ ไปจนถึงจุดปลาย $\bar{s}=\bar{s}_t$ โดยที่การอินทิเกรตต้องสอดคล้องกับเงื่อนไขขอบเขตของปัญหาต่อไปนี้

ตัวแปร	ความยาวส่วนโค้ง \bar{s}	
	$\bar{s}=0$	$\bar{s}=\bar{s}_t$
\bar{x}	0	1
\bar{y}	0	0
θ	θ_A	0

จากสมการที่ (3.1) และสมการที่ (3.2) เป็นสมการโมเมนต์ตัดภายในอิลาสติคคาซึ่งสามารถเขียนสมการดังกล่าวให้อยู่ในรูปไร้หน่วยได้ ดังนี้

$$\bar{M}_1 = \bar{M}_B \bar{x} - \left(\bar{P} + \frac{\bar{M}_B^2}{2} \right) \bar{y} \quad \bar{s} \leq \alpha \quad (3.11)$$

$$\bar{M}_2 = \bar{M}_B (\bar{x} - \bar{x}^*) + \left(\bar{P} + \frac{\bar{M}_B^2}{2} \right) (\bar{y}^* - \bar{y}) + \bar{M}_s \quad \alpha \leq \bar{s} \leq \bar{s}_t \quad (3.12)$$

จากสมการที่ (3.3) เป็นสมการโมเมนต์ที่จุดด้านทานการหมุนของสปริงซึ่งสามารถเขียนสมการดังกล่าวให้อยู่ในรูปไร้หน่วยได้ ดังนี้

$$\bar{M}_s = \begin{cases} \Delta\theta\bar{k}_1 & 0 \leq \Delta\theta \leq \Delta\theta_p \\ \bar{M}_p + (\Delta\theta - \Delta\theta_p)\bar{k}_2 & \Delta\theta_p \leq \Delta\theta \leq \Delta\theta_f \\ (\Delta\theta - \Delta\theta_r)\bar{k}_1 & \Delta\theta_r \leq \Delta\theta \leq \Delta\theta_f \end{cases} \quad (3.13)$$

จากสมการที่ (3.4) เป็นสมการผลต่างของมุมของสปริงที่เริ่มหมุนกลับด้านซึ่งสามารถเขียนสมการดังกล่าวให้อยู่ในรูปไร้หน่วยได้ ดังนี้

$$\Delta\theta_r = \Delta\theta_f - \frac{\bar{M}_f}{k_1} \quad (3.14)$$

โดยที่ตัวแปรต่าง ๆ ในระบบสมการอนุพันธ์ที่ได้จะถูกเขียนให้อยู่ในรูปของตัวแปรไร้หน่วยเพื่อให้ง่ายต่อการหาคำตอบเชิงตัวเลขด้วยระเบียบวิธีการยิงเป้า ดังนี้

$$\bar{x} = \frac{x}{L}, \bar{y} = \frac{y}{L}, \bar{x}^* = \frac{x^*}{L}, \bar{y}^* = \frac{y^*}{L}, \bar{s} = \frac{s}{L}, \bar{s}_i = \frac{s_i}{L}, \bar{P} = \frac{PL^2}{EI},$$

$$\bar{M}_i = \frac{M_i L}{EI}, \bar{M}_B = \frac{M_B L}{EI}, \bar{M}_p = \frac{M_p L}{EI}, \bar{M}_f = \frac{M_f L}{EI}, \bar{k}_i = \frac{k_i L}{EI} \quad (3.15)$$

จากขอบเขตเงื่อนไขของปัญหาสามารถสร้างสมการไร้หน่วยเพื่อใช้ในกระบวนการแก้ปัญหาก็ได้ ดังนี้

$$\bar{x}(\bar{s}_i) - 1 = 0 \quad (3.16)$$

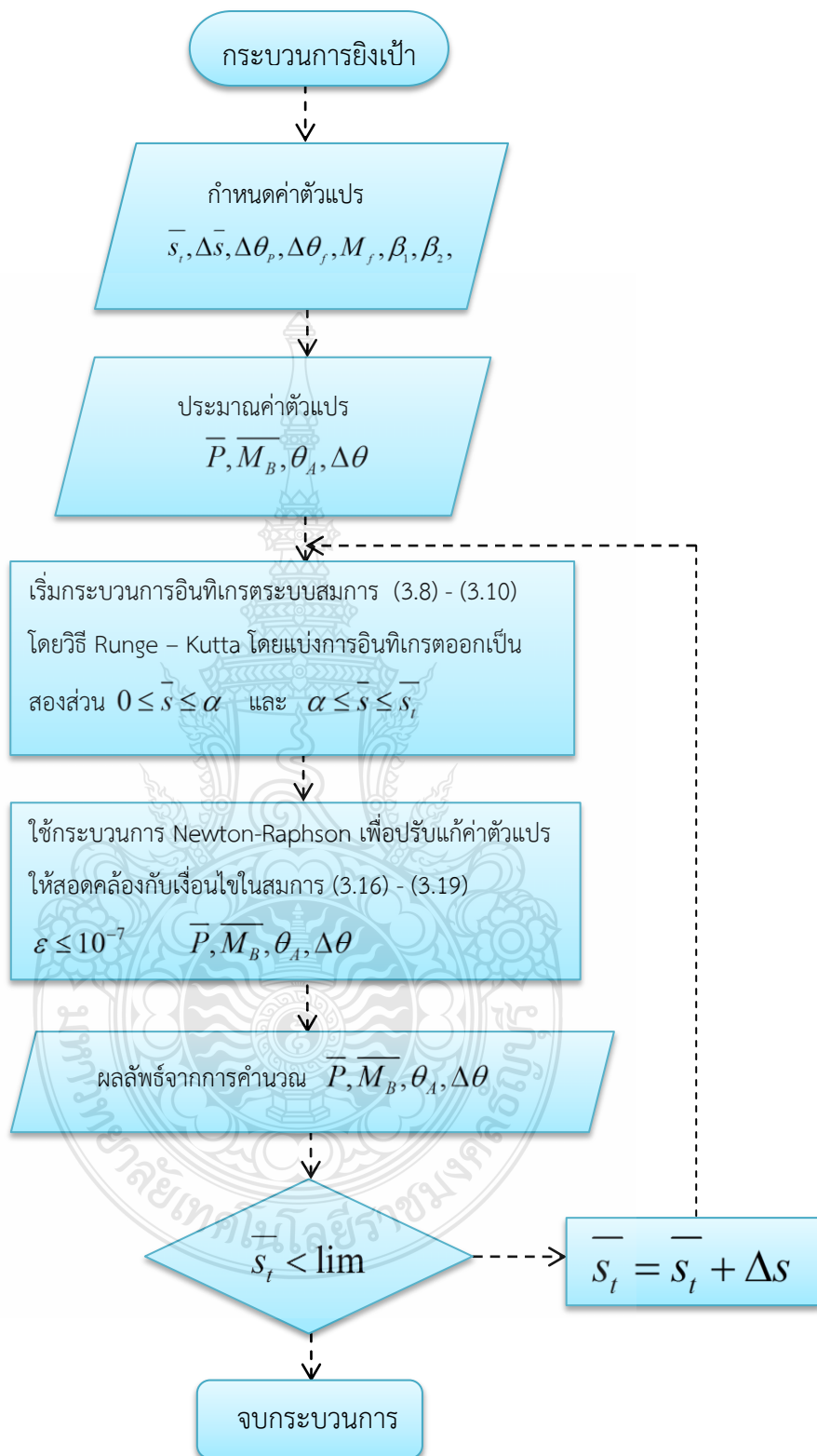
$$\bar{y}(\bar{s}_i) = 0 \quad (3.17)$$

$$\theta(\bar{s}_i) = 0 \quad (3.18)$$

จากสมการที่ (3.11) เป็นสมการโมเมนต์ตัดภายในอิลาสติคคาที่จุดด้านทานการหมุนของสปริงที่ $\bar{s} = \alpha$ ซึ่งสามารถเขียนสมการดังกล่าวให้อยู่ในรูปไร้หน่วยได้ ดังนี้

$$\overline{M_B} \bar{x}^* - \left(\overline{P} + \frac{\overline{M_B}^2}{2} \right) \bar{y}^* - \overline{M_s} = 0 \quad (3.19)$$

จากสมการที่ (3.8) ถึง (3.10) ซึ่งเป็นสมการครอบคลุมปัญหาแบบตัวแปรไร้หน่วย และสมการที่ (3.11) และ (3.12) เป็นสมการโมเมนต์ตัดภายในอิลาสติคคาแบบตัวแปรไร้หน่วย และสมการที่ (3.13) เป็นโมเมนต์ที่จุดด้านทานการหมุนของสปริง จากสมการที่ (3.8) ถึงสมการที่ (3.13) จะมีตัวแปรที่ไม่ทราบค่าทั้งหมด 5 ตัวแปรคือ $\bar{s}_r, \overline{P}, \overline{M_B}, \theta_A$ และ $\Delta\theta$ และในกระบวนการคำนวณเชิงตัวเลขได้กำหนดให้ \bar{s}_r ตัวแปรควบคุม ดังนั้นจึงเหลือตัวแปรไม่ทราบค่าอีก 4 ตัวแปร ซึ่งการหาผลเฉลยของตัวแปรที่ไม่ทราบค่าจะต้องอาศัยสมการเงื่อนไขขอบเขตของปัญหาในสมการที่ (3.16) ถึง (3.19) เป็นเงื่อนไขในการหาผลเฉลยของปัญหาต่อไป ในการหาผลเฉลยของปัญหานี้เนื่องจากเป็นปัญหาที่ระบบสมการอนุพันธ์มีความไร้เชิงเส้นสูง ดังนั้น ได้นำกระบวนการเชิงตัวเลขมาใช้ในการแก้ไขปัญหา โดยในงานวิจัยนี้ได้ใช้ระเบียบวิธียิงเป้าแสดงดังรูปที่ 3.6 ซึ่งเป็นกระบวนการเชิงตัวเลขที่เหมาะสมกับการใช้แก้ไขปัญหามีค่าขอบเขตชัดเจนเช่นปัญหาที่พิจารณาในงานวิจัยนี้ ในระหว่างการอินทิเกรตจาก $\bar{s} = 0$ ถึง $\bar{s} = \bar{s}_r$ ในกรณีที่มุม $\Delta\theta$ มีขนาดเพิ่มขึ้นโมเมนต์ $\overline{M_s}$ จะมีค่าเป็นไปตามสองลำดับแรกของสมการที่ (3.13) แต่หาก $\Delta\theta$ มีขนาดที่ลดลงโมเมนต์ $\overline{M_s}$ จะมีค่าเป็นไปตามสมการลำดับที่สามของสมการที่ (3.13) และที่ตำแหน่งของสปริงด้านทานการหมุน (จุด C) จะไม่มีความต่อเนื่องของมุม ดังนั้นมุมที่จุดด้านทานการหมุนด้านซ้ายและด้านขวามีค่าไม่เท่ากันดังสมการ $\theta_C^+ = \theta_C^- + \Delta\theta$ โดยที่ θ_C^- และ θ_C^+ คือมุมด้านซ้ายมือ และขวามือที่จุด C ตามลำดับ



รูปที่ 3.6 แผนผังกระบวนการยั้งเป้า

3.3 กระบวนการแก้ปัญหาค่าการโก่งงอของอิลาสติคคา

ขั้นตอนการวิเคราะห์ปัญหาด้วยโปรแกรม MATLAB

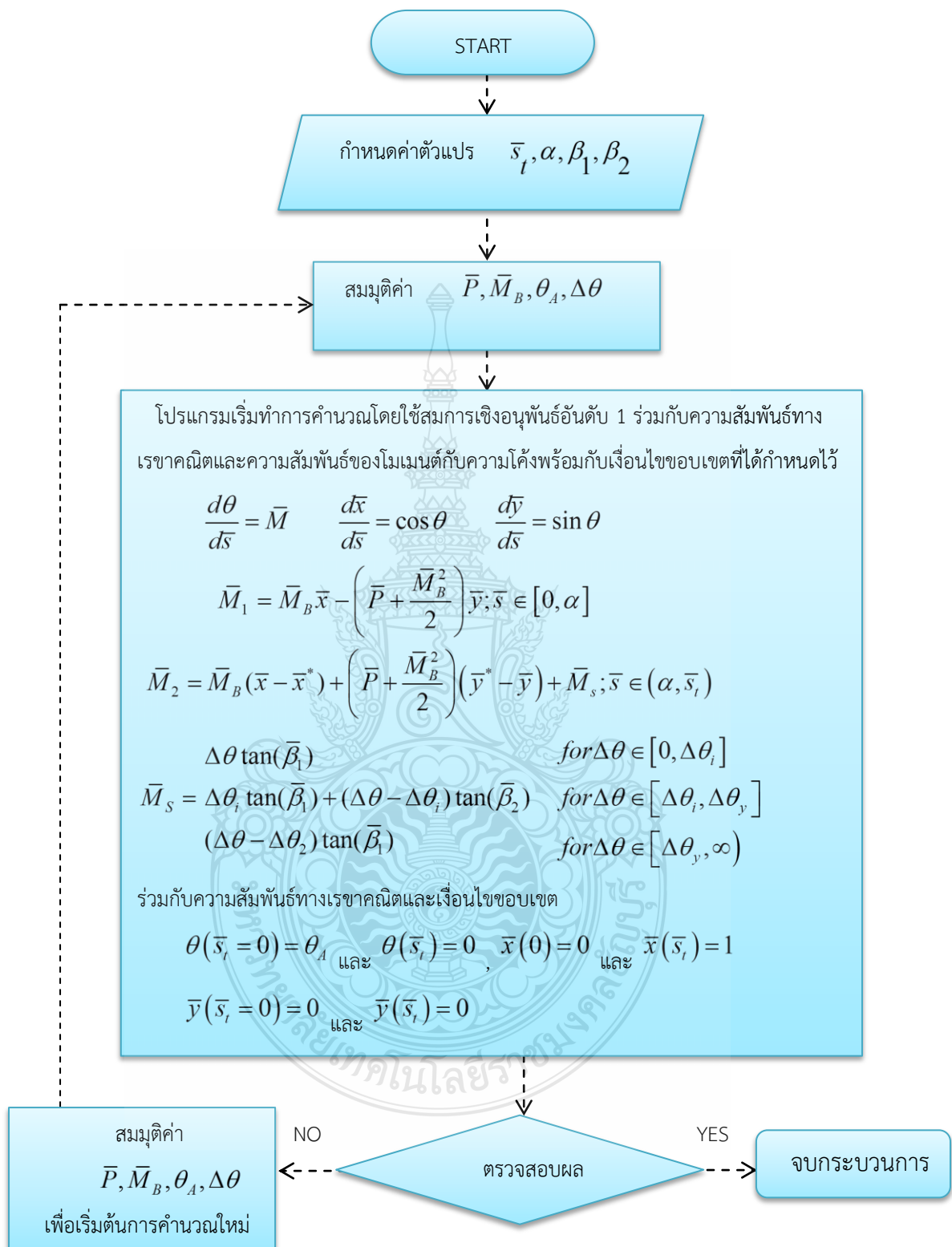
3.3.1 ทำการป้อนค่าตัวแปรที่กำหนดค่า

3.3.2 ทำการประมาณค่าเริ่มต้นตัวแปรที่ไม่ทราบค่าในกระบวนการคำนวณ

3.3.3 หาคำตอบด้วยสมการครอบคลุมปัญหา (3.8) (3.9) (3.10) (3.11) (3.12) และ (3.13) กับขอบเขตของปัญหาในสมการที่ (3.16) (3.17) (3.18) และ (3.19) เพื่อใช้เป็นค่าเริ่มต้นในกระบวนการยิงเป้าโดยการอินทิเกรตเชิงตัวเลขด้วยระเบียบวิธี รุงเง-คุดตา

3.3.4 ปรับแก้ค่าที่ได้ทำการประวัไในขั้นตอนที่ 3.3.3 โดยกระบวนการทำซ้ำ ด้วยระเบียบวิธีนิวตัน-ราฟสัน จนกระทั่งมีค่าใกล้ศูนย์โดยกำหนดค่าความคลาดเคลื่อน Tolerance เป็น 10^{-7} สำหรับการแก้ปัญห





รูปที่ 3.7 ขั้นตอนการคำนวณของโปรแกรม MATLAB

บทที่ 4

ผลการศึกษาและการวิเคราะห์

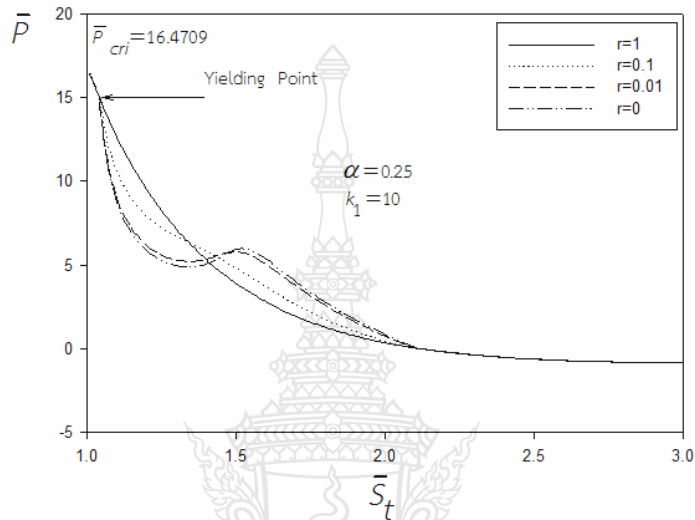
ผลจากการคำนวณได้นำเสนอในรูปแบบกราฟความสัมพันธ์ระหว่างแรงกระทำที่ปลาย \bar{P} กับความยาวส่วนโค้งทั้งหมด \bar{s} , โดยมีการแปรผันตัวแปรที่ต้องการศึกษาผลกระทบคือ ตำแหน่งของสปริงต้านทานการหมุน α กับค่าสตีเฟนเนสของสปริงต้านทานการหมุน \bar{k}_1, \bar{k}_2 นอกจากกราฟความสัมพันธ์ระหว่าง \bar{P} และ \bar{s} , แล้ว กราฟความสัมพันธ์ระหว่างมุม $|\Delta\theta|$ และ \bar{s} , และรูปร่างสมดุลของอิลาสติกคาที่สภาวะต่าง ๆ ได้นำเสนอในการวิเคราะห์ด้วยเช่นกัน

4.1 พฤติกรรมหลังการโก่งเดาะของอิลาสติกคา

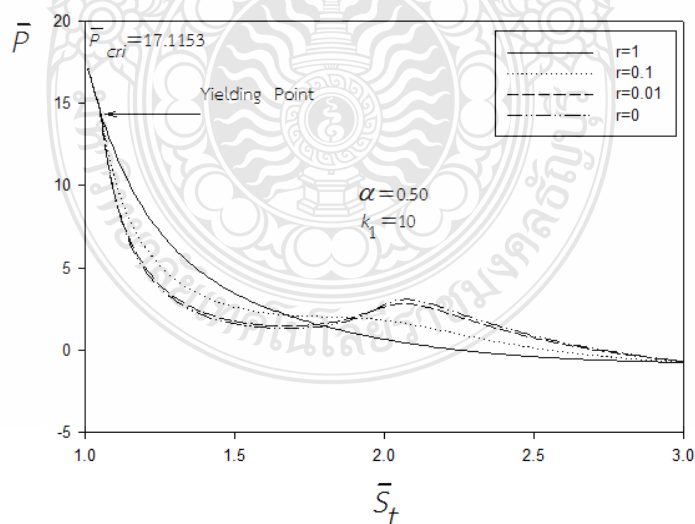
พฤติกรรมหลังการโก่งเดาะของอิลาสติกคาที่มีสปริงต้านทานการหมุนภายในช่วงของอิลาสติกคาได้มีการศึกษาโดย Phungpaingam และ Chuchepsakul [1] ซึ่งในงานวิจัยดังกล่าวได้พิจารณาสปริงต้านทานการหมุนเป็นแบบยืดหยุ่นเชิงเส้น (Linear Elastic) โดยมีผลที่น่าสนใจหลายอย่างด้วยกันโดยเฉพาะอย่างยิ่งเมื่อสตีเฟนเนสของสปริงมีค่าเป็นศูนย์ อาทิเช่น การเกิดรูปร่างสมดุลได้หลายแบบ (Multiple Equilibrium Shapes) การเกิดการโก่งเดาะในลำดับที่สอง (Secondary Buckling) ซึ่งเป็นการโก่งเดาะครั้งที่สองที่เกิดขึ้นหลังจากการโก่งเดาะในครั้งแรก (Primary Buckling) ในงานวิจัยนี้ได้พัฒนาแบบจำลองของสปริงต้านทานการหมุนในลักษณะที่เป็นแบบอิลาสติก-พลาสติก โดยศึกษาพฤติกรรมของอิลาสติกคาในสองกรณี ดังนี้ 1) พฤติกรรมเมื่อสปริงต้านทานการหมุนเกิดการครากและมีการเปลี่ยนแปลงสตีเฟนเนส เทียบกับกรณีที่ไม่เกิดการคราก 2) พฤติกรรมของอิลาสติกคาเมื่อสปริงเป็นแบบอิลาสติก-พลาสติกและเกิดการหมุนกลับด้าน ผลจากการคำนวณอาจแบ่งการพิจารณาเป็นสองกรณี ในกรณีแรกโดยแปรผันอัตราส่วนของสตีเฟนเนสของสปริงต้านทานการหมุน $r = \bar{k}_2 / \bar{k}_1$ ซึ่งได้ทำการแปรผันอัตราส่วน r เท่ากับ 1, 0.1, 0.01 และ 0 เมื่อ $\bar{k}_1 = 10$ และ $\bar{k}_2 = 100$ ตามลำดับที่ตำแหน่งของสปริงต้านทานการหมุนที่แตกต่างกันโดยแบ่งเป็น $\alpha = 0.25$, $\alpha = 0.50$ และ $\alpha = 0.75$ ในกรณีที่สองจะเกิดขึ้นเมื่ออิลาสติกคาเกิดการโก่งตัวมากซึ่งการโก่งตัวมากของอิลาสติกคาทำให้เกิดการเปลี่ยนแปลงของมุมที่สปริงต้านทานการหมุนและเมื่อมุมเพิ่มมากขึ้นสปริงต้านทานการหมุนอาจมีการหมุนกลับได้

4.2 พฤติกรรมของอีลาสติคคาเมื่อสปริงต้านทานการหมุนเกิดการคราก

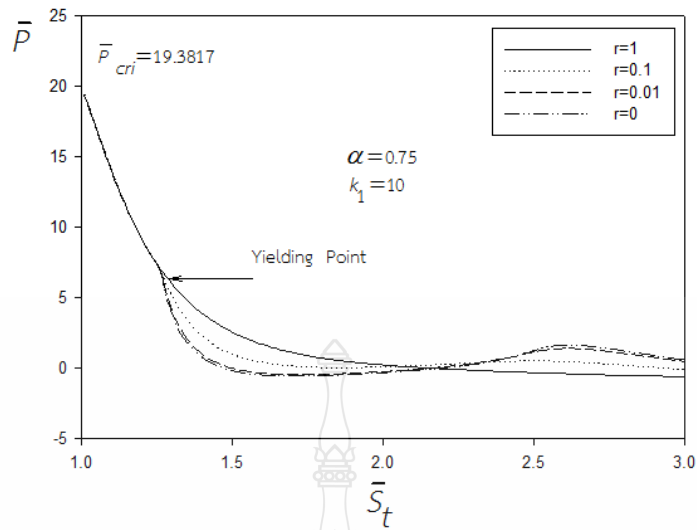
ในการศึกษาพฤติกรรมของอีลาสติคคาในกรณีนี้ ได้แสดงเส้นโค้งความสัมพันธ์ระหว่างน้ำหนักบรรทุก \bar{P} และความยาวส่วนโค้งทั้งหมด \bar{s}_t โดยมีการแปรผันอัตราส่วนของสติเฟเนสของจุดต้านทานการหมุนภายหลังและก่อนการคราก $r = \bar{k}_2 / \bar{k}_1$ ในแต่ละตำแหน่งของสปริงต้านทานการหมุน α



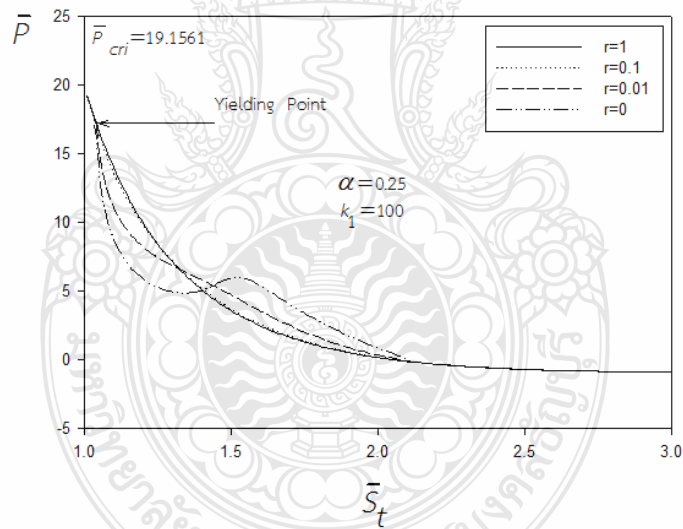
รูปที่ 4.1 ความสัมพันธ์ระหว่างน้ำหนักบรรทุก \bar{P} กับความยาวส่วนโค้งทั้งหมด \bar{s}_t เมื่อแปรผันอัตราส่วนของสติเฟเนส r ที่ตำแหน่งของสปริงต้านทานการหมุน $\alpha = 0.25$ และ $k_1 = 10$



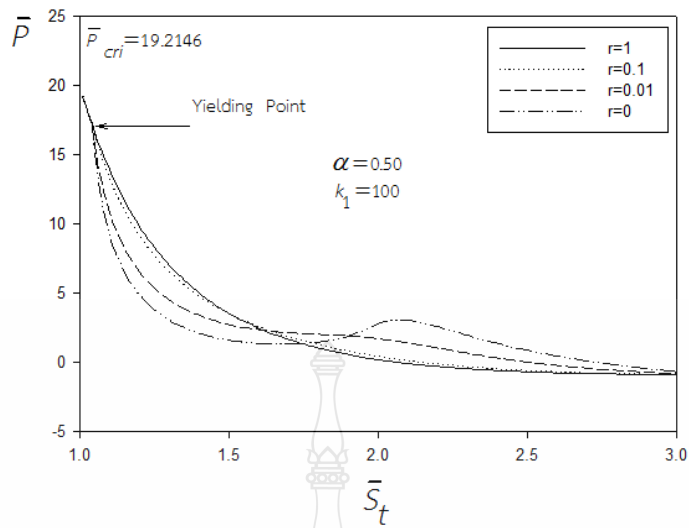
รูปที่ 4.2 ความสัมพันธ์ระหว่างน้ำหนักบรรทุก \bar{P} กับความยาวส่วนโค้งทั้งหมด \bar{s}_t เมื่อแปรผันอัตราส่วนของสติเฟเนส r ที่ตำแหน่งของสปริงต้านทานการหมุน $\alpha = 0.50$ และ $k_1 = 10$



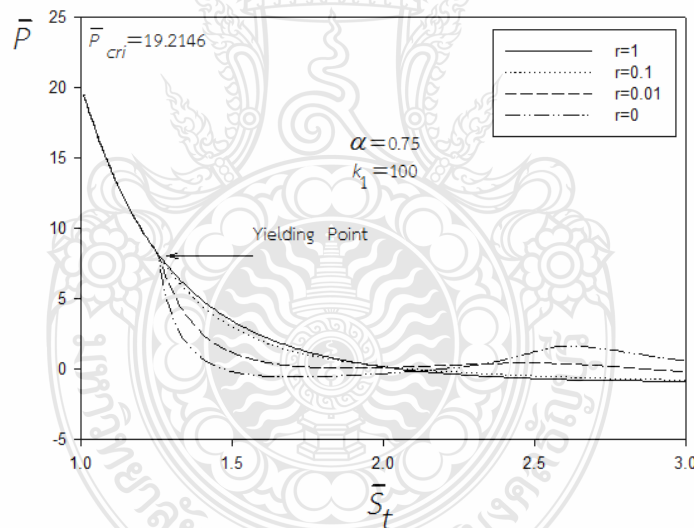
รูปที่ 4.3 ความสัมพันธ์ระหว่างน้ำหนักบรรทุก \bar{P} กับความยาวส่วนโค้งทั้งหมด \bar{s}_t เมื่อแปรผันอัตราส่วนของสติเฟเนส r ที่ตำแหน่งของสปริงต้านทานการหมุน $\alpha = 0.75$ และ $k_1 = 10$



รูปที่ 4.4 ความสัมพันธ์ระหว่างน้ำหนักบรรทุก \bar{P} กับความยาวส่วนโค้งทั้งหมด \bar{s}_t เมื่อแปรผันอัตราส่วนของสติเฟเนส r ที่ตำแหน่งของสปริงต้านทานการหมุน $\alpha = 0.25$ และ $k_1 = 100$



รูปที่ 4.5 ความสัมพันธ์ระหว่างน้ำหนักบรรทุก \bar{P} กับความยาวส่วนโค้งทั้งหมด \bar{s}_t เมื่อแปรผันอัตราส่วนของสติฟเนส r ที่ตำแหน่งของสปริงต้านทานการหมุน $\alpha = 0.50$ และ $k_1 = 100$



รูปที่ 4.6 ความสัมพันธ์ระหว่างน้ำหนักบรรทุก \bar{P} กับความยาวส่วนโค้งทั้งหมด \bar{s}_t เมื่อแปรผันอัตราส่วนของสติฟเนส r ที่ตำแหน่งของสปริงต้านทานการหมุน $\alpha = 0.75$ และ $k_1 = 100$

จากรูปที่ 4.1 ถึง 4.6 แสดงถึงการเปลี่ยนแปลงพฤติกรรมการรับน้ำหนักบรรทุก \bar{P} เมื่อมีการเปลี่ยนแปลงอัตราส่วนของสติฟเนสของจุดต้านทานการหมุน r โดยได้ทำการแปรผันค่า r ที่ $r=1$, $r=0.1$, $r=0.01$ และ $r=0$ เมื่อ $r=1$ หมายถึงพฤติกรรมของสปริงแบบยึดหยุ่นเชิงเส้นซึ่งได้ทำการศึกษาไว้แล้วจากงานวิจัยของ Phungpaingam และ Chucheepsakul [1] ในงานวิจัยนี้ได้ใช้

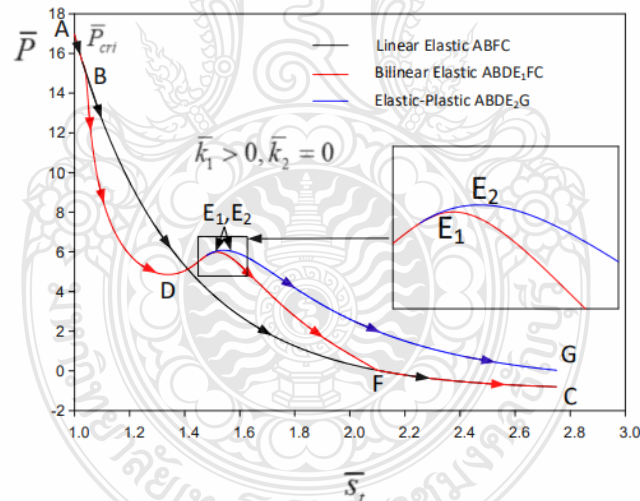
เป็นเส้นเปรียบเทียบกับกรณีที่เกิดการครากและเมื่อ $r = 0$ คือกรณีที่สปริงต้านทานการหมุนมีพฤติกรรมแบบจุดหมุนพลาสติก (Plastic Hinge) ซึ่งสติฟเนสภายหลังการครากมีค่าเป็นศูนย์ ($\bar{k}_2 = 0$) จากเส้นโค้งความสัมพันธ์จะเห็นได้ว่าเริ่มแรกอิลาสติกคาเกิดการโก่งเดาะเมื่อน้ำหนักบรรทุกมีค่าถึงจุดวิกฤต \bar{P}_{cri} ซึ่ง Wang et al. [11] ได้นำเสนอสมการในการคำนวณหาค่าน้ำหนักบรรทุกวิกฤต \bar{P}_{cri} โดยแสดงในสมการที่ (4.1)

$$\bar{k}_1 \left[\sqrt{\bar{P}_{cri}} - \tan \left(\sqrt{\bar{P}_{cri}} a \right) \right] + \left[\bar{P}_{cri} + \bar{k}_1 + \sqrt{\bar{P}_{cri}} (\bar{k}_1 - 1) \tan \left(\sqrt{\bar{P}_{cri}} a \right) \right] \tan \left[\sqrt{\bar{P}_{cri}} (a - 1) \right] = 0 \quad (4.1)$$

เมื่อกำหนดค่าสติฟเนสของสปริงหมุน \bar{k}_1 และตำแหน่งของสปริงหมุน $a = 1 - \alpha$ สามารถคำนวณค่าน้ำหนักบรรทุกวิกฤตได้โดยกระบวนการกระทำซ้ำของนิวตัน-ราฟสัน (Newton-Raphson)

หลังจากการโก่งเดาะของอิลาสติกคาแล้วจะสังเกตเห็นว่าน้ำหนักบรรทุก \bar{P} ลดลงเมื่อมีการโก่งตัวมากขึ้น (ความยาวส่วนโค้งทั้งหมด \bar{s} , เพิ่มขึ้น) ลักษณะของความสัมพันธ์เช่นนี้บ่งบอกถึงความไร้เสถียรภาพ (Unstable) ของอิลาสติกคา น้ำหนักบรรทุก \bar{P} จะลดลงอย่างต่อเนื่องและเมื่อถึงจุดที่กำหนดให้สปริงต้านทานการหมุนเกิดการคราก ในที่นี้กำหนดให้สปริงเกิดการครากเมื่อผลต่างของมุมที่จุดสปริงต้านทานการหมุนมีขนาดที่มากกว่าค่าที่กำหนดคือ $|\Delta\theta_p|$ ซึ่งในงานวิจัยนี้กำหนดให้เท่ากับ 0.15 เมื่อค่าสติฟเนสก่อนการคราก $\bar{k}_1 = 10$ และกำหนดให้เท่ากับ 0.015 หรือ 0.01 เมื่อ $\bar{k}_1 = 100$ การกำหนดค่าที่ แตกต่างกันเช่นนี้ไม่ทำให้พฤติกรรมโดยรวมเปลี่ยนแปลงไป การกำหนดค่าที่แตกต่างกันเป็นผลมาจากเมื่อค่าสติฟเนส $\bar{k}_1 = 10$ สปริงจะมีลักษณะแบบอ่อนความสามารถในการถ่ายโมเมนต์ตัดที่จุดสปริงต้านทานการหมุนไม่มีประสิทธิภาพทำให้เกิดผลต่างของมุมที่จุดดังกล่าวได้มากกว่าในกรณีที่ $\bar{k}_1 = 100$ ดังนั้นเพื่อความเหมาะสมจึงได้กำหนดขนาดของมุมที่ทำให้เกิดการครากแตกต่างกัน เมื่อสปริงต้านทานการหมุนเกิดการครากจะเห็นได้ว่าน้ำหนักบรรทุก \bar{P} มีค่าที่ลดต่ำลงมากกว่าในกรณีที่ไม่เกิดการคราก การลดลงจะเกิดมาน้อยเพียงใดขึ้นอยู่กับอัตราส่วนของสติฟเนสภายหลังและก่อนการคราก r โดยที่อัตราส่วน r เมื่อลดลงหมายถึงค่าสติฟเนสภายหลังการคราก \bar{k}_2 ลดลงตามไปด้วย ดังนั้นน้ำหนักบรรทุก \bar{P} จะมีค่าที่ลดลงมากหรือน้อยขึ้นอยู่กับอัตราส่วนของ r และภายหลังจากการลดลงของน้ำหนักบรรทุก \bar{P} อาจเป็นการลดลงแบบต่อเนื่องหรืออาจเกิดการเพิ่มขึ้น ของน้ำหนักบรรทุก \bar{P} ในช่วงสั้นๆอีกครั้ง ก็เป็นไปได้ขึ้นอยู่กับอัตราส่วนของสติฟเนส r และตำแหน่งของจุดต้านทานการหมุน α เช่นในกรณีที่ $\alpha = 0.25$ เมื่อค่าอัตราส่วน r ลดลงเป็น 0.10 จะสังเกตเห็นว่าหลังจากจุดคราก น้ำหนักบรรทุก \bar{P} ยังคงลดลงอย่างต่อเนื่อง ในขณะที่ความยาวส่วนโค้งทั้งหมด \bar{s} , มีค่าเพิ่มขึ้นทั้งในกรณีที่ $\bar{k}_1 = 10$ และ $\bar{k}_1 = 100$ แสดงถึงสถานะที่

ไร้เสถียรภาพ แต่เมื่อกำหนดให้อัตราส่วน r ลดลงเป็น 0.01 หรือ 0 จะสามารถสังเกตได้ว่าในบางกรณีมีช่วงที่น้ำหนักบรรทุก \bar{P} มีค่าที่เพิ่มขึ้นเมื่อความยาวส่วนโค้งทั้งหมด \bar{s}_r เพิ่มขึ้นโดยเฉพาะอย่างยิ่ง ในกรณีที่ $r=0$ ซึ่งสปริงต้านทานการหมุนมีพฤติกรรมเป็นจุดหมุนพลาสติก โดยสามารถสังเกตเห็นพฤติกรรมการเพิ่มขึ้นของน้ำหนักบรรทุก \bar{P} ได้อย่างชัดเจนในทุกกรณีของค่าสตีเฟนส์ \bar{k}_1 และทุกตำแหน่งของสปริงต้านทานการหมุน α อันเป็นสภาวะของอีลาสติคาคาที่มีเสถียรภาพ ซึ่งโดยปกติเป็นที่ทราบกันดีว่าอีลาสติคาคาที่มีความยาวโค้งแปรเปลี่ยนได้ (VAL Elastica) ภายใต้แรงอัดจะเกิดสภาวะที่ไร้เสถียรภาพหลังจากการโก่งเดาะตลอดช่วงความยาว \bar{s}_r แต่ในกรณีนี้เมื่อเกิดจุดหมุนภายในช่วงความยาวของอีลาสติคาคาหากเป็นจุดหมุนโดยทั่วไป (Hinged Joint) จะเกิดการโก่งเดาะลำดับที่สอง (Secondary Buckling) และถ้าหากเป็นจุดหมุนแบบพลาสติก จะเกิดสภาวะที่มีเสถียรภาพขึ้นมาอีกครั้งหนึ่ง การลดลงและเพิ่มขึ้นของน้ำหนักบรรทุก \bar{P} เมื่ออีลาสติคาคามีจุดหมุนแบบพลาสติกคล้ายกับพฤติกรรมของอีลาสติคาคาซึ่งสตีเฟนส์โดยรวมของอีลาสติคาคาที่เพิ่มขึ้นเนื่องจากการเปลี่ยนแปลงรูปร่างของอีลาสติคาคานั้นเอง เมื่อน้ำหนักบรรทุก \bar{P} เพิ่มขึ้นจนกระทั่งถึงจุดสูงสุดหลังจากนั้นน้ำหนักบรรทุก \bar{P} จะลดลงอย่างต่อเนื่อง ซึ่งพฤติกรรมดังกล่าวสามารถแสดงได้อย่างชัดเจนในรูปที่ 4.7

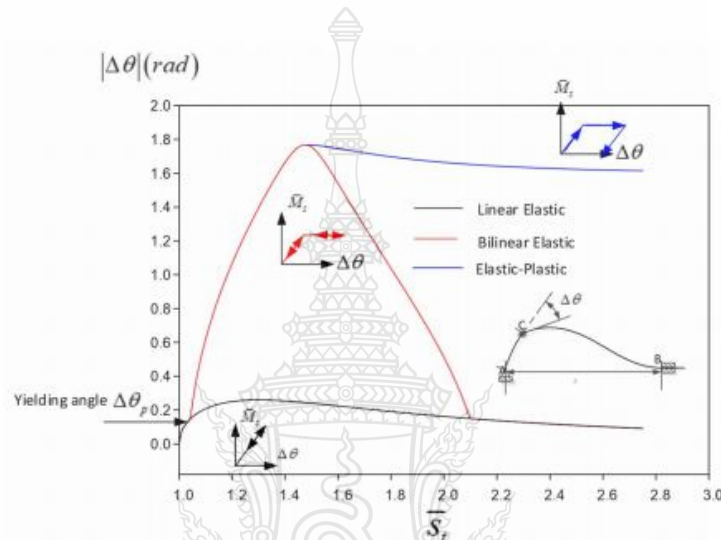


รูปที่ 4.7 ความสัมพันธ์ระหว่างน้ำหนักบรรทุก \bar{P} กับความยาวส่วนโค้งทั้งหมด \bar{s}_r

โดยที่เส้น ABFC คือกรณีที่ไม่เกิดการครากของสปริงต้านทานการหมุน เส้น $ABCDE_1FC$ เป็นกรณีที่เกิดการครากและจุดหมุนเป็นแบบจุดหมุนพลาสติกซึ่งสามารถสังเกตพฤติกรรมได้อย่างชัดเจน ในขณะที่เส้น $ABDE_2G$ สำหรับกรณีที่จุดต้านทานการหมุนเกิดการครากและภายหลังการครากเมื่อสปริงต้านทานการหมุนมีการหมุนกลับด้านโดยที่สตีเฟนส์ในขณะหมุนกลับด้านมีค่าเท่ากับช่วง

เริ่มแรกคือ \bar{k}_1 จะทำให้น้ำหนักบรรทุกเพิ่มขึ้น (เส้นสีน้ำเงิน) เมื่อเปรียบเทียบกับกรณีที่สปริงต้านทานการหมุนกลับด้านบนเส้นทางเดิม (เส้นสีแดง) อันเนื่องจากสติฟเนสที่เพิ่มขึ้นเป็น \bar{k}_1 ($\bar{k}_1 > \bar{k}_2$)

4.3 ความสัมพันธ์ระหว่างขนาดของมุมที่สปริงต้านทานการหมุน $|\Delta\theta|$ และความยาวส่วนโค้งทั้ง \bar{s}_i

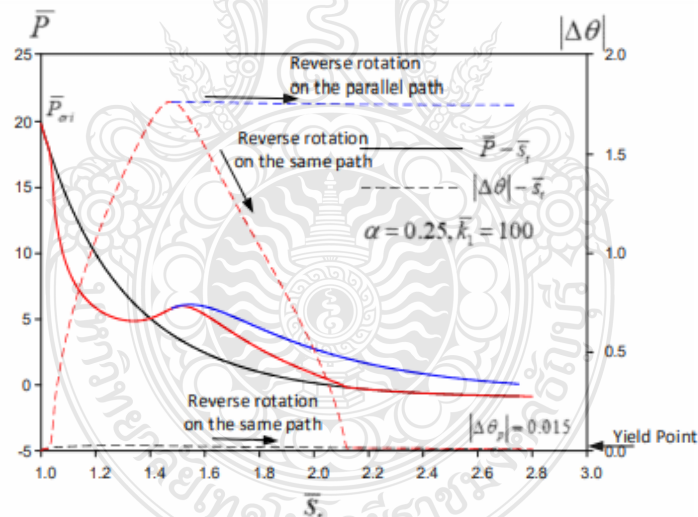


รูปที่ 4.8 ความสัมพันธ์ระหว่างมุม $|\Delta\theta|$ กับ ความยาวส่วนโค้ง \bar{s}_i ที่สปริงต้านทานการหมุนเป็นแบบ

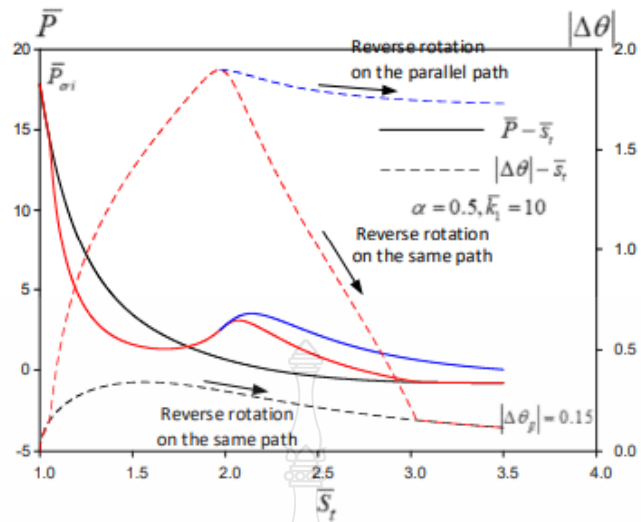
1. ยืดหยุ่นเชิงเส้น
2. ยืดหยุ่นเชิงเส้นคู่
3. อีลาสติก - พลาสติก

จากกราฟความสัมพันธ์ระหว่างขนาดของมุมที่จุดสปริงต้านทานการหมุน $|\Delta\theta| = |\theta_c^+ - \theta_c^-|$ และความยาวส่วนโค้งทั้งหมด \bar{s}_i ในรูปที่ 4.8 จะเห็นได้ว่าของมุม $|\Delta\theta|$ สามารถเพิ่มขึ้นและลดลง (หมุนกลับด้าน) โดยเส้นสีดำแสดงการเพิ่มขึ้น และลดลงของมุม $|\Delta\theta|$ เมื่อสปริงไม่เกิดการคราก (สปริงต้านทานการหมุนเป็นแบบยืดหยุ่นเชิงเส้น) ซึ่งสอดคล้องกับความสัมพันธ์ระหว่าง \bar{M}_s และ $\Delta\theta$ ในกรณีที่ 1 ในขณะที่เส้นสีแดงแสดงถึงสปริงต้านทานการหมุนเป็นแบบยืดหยุ่นเชิงเส้นคู่ (Bilinear Elastic) เมื่อขนาดของมุม $|\Delta\theta|$ มีค่ามากกว่า $|\Delta\theta_p|$ จะเกิดการครากและสติฟเนสของสปริงเปลี่ยนเป็น \bar{k}_2 ซึ่งสามารถสังเกตถึงการเพิ่มขึ้นและลดลงของขนาดของมุม $|\Delta\theta|$ ได้อย่างชัดเจน เนื่องจากค่าสติฟเนสภายหลังการครากในกรณีนี้ กำหนดให้มีค่าเป็นศูนย์ เมื่อสติฟเนสภายหลังการครากเป็นศูนย์ขนาดของมุม $|\Delta\theta|$ จึงสามารถเปลี่ยนแปลงได้อย่างมากทั้งการเพิ่มขึ้นและลดลง (หมุนกลับด้าน) ซึ่งขนาดของมุม $|\Delta\theta|$ ลดลงบนเส้นทางเดียวกันกับการเพิ่มขึ้นของขนาดของมุม $|\Delta\theta|$ และสอดคล้องกับความสัมพันธ์ระหว่าง \bar{M}_s และ $\Delta\theta$ ในกรณีที่ 2 (สปริงต้านทานการหมุนแบบ-

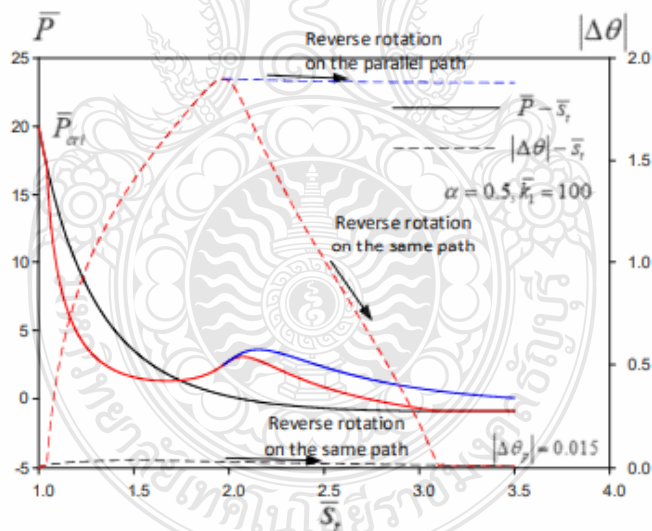
$|\Delta\theta_p|$ (เส้น de) จะเห็นได้อย่างชัดเจนในรูปที่ 4.9 ว่าน้ำหนักบรรทุก \bar{P} ในกรณีที่สปริงต้านทานทานการหมุนเป็นแบบเชิงเส้นคู่ ซ้อนทับกรณีที่สปริงต้านทานทานการหมุนเป็นแบบยืดหยุ่นเชิงเส้น ทั้งนี้เนื่องจากเมื่อขนาดของมุม $|\Delta\theta| \leq |\Delta\theta_p|$ พฤติกรรมของสปริงต้านทานทานการหมุนของทั้งสองกรณีเป็นแบบเดียวกัน ในกรณีที่สปริงต้านทานทานการหมุนมีลักษณะเป็นแบบอิลาสติก-พลาสติก (Elastic-Plastic) ในช่วงที่ขนาดของมุม $|\Delta\theta|$ มีค่าที่เพิ่มขึ้น (เส้น abf) มีพฤติกรรมที่เหมือนกับกรณีของสปริงต้านทานทานการหมุนเป็นแบบเชิงเส้นคู่ แต่เมื่อขนาดของมุม $|\Delta\theta|$ เริ่มลดลงสังเกตเส้น fg (หมุนกลับด้าน) จะมีพฤติกรรมที่แตกต่างออกไปกล่าวคือสปริงจะกลับมามีสติเฟเนสเท่ากับ \bar{k}_1 ($\bar{k}_1 > \bar{k}_2$) ทำให้ต้องการน้ำหนักบรรทุก \bar{P} ที่มากกว่าสปริงต้านทานทานการหมุนในสองแบบแรก (แบบยืดหยุ่นเชิงเส้น และแบบเชิงเส้นคู่) และขนาดของมุม $|\Delta\theta|$ จะมีการลดลงที่น้อยกว่าเมื่อเทียบกับสปริงต้านทานทานการหมุนในสองแบบแรกเนื่องจากสปริงมีค่าสติเฟเนสที่เพิ่มมากขึ้นนั่นเองในกรณีที่ \bar{k}_1 หรือ α เปลี่ยนแปลงไป พฤติกรรมโดยรวมยังคงเป็นไปในลักษณะเช่นเดิมซึ่งแสดงในรูปที่ 4.10 (เมื่อทำการแปรผันค่า $\bar{k}_1 = 10$ และ 100 โดยแปรผันค่า $\alpha = 0.25$ 0.50 และ 0.75) และเมื่อค่า $\bar{k}_1 = 100$ ซึ่งสปริงต้านทานทานการหมุนมีค่าสติเฟเนสที่ค่อนข้างสูงทำให้มุม $|\Delta\theta|$ มีค่าน้อยมากในรูปที่ 4.10 (เส้นประสีดำในกรณีที่ $\bar{k}_1 = 100$)



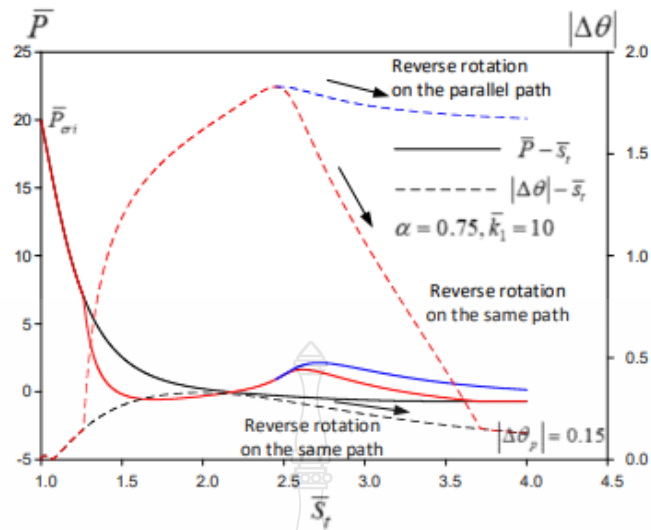
รูปที่ 4.10a เปรียบเทียบความสัมพันธ์ของน้ำหนักบรรทุก \bar{P} กับขนาดของมุม $|\Delta\theta|$ เมื่อแปรผันค่าสติเฟเนสของ $\bar{k}_1 = 100$ และ ระยะห่างของสปริงต้านทานทานการหมุน $\alpha = 0.25$



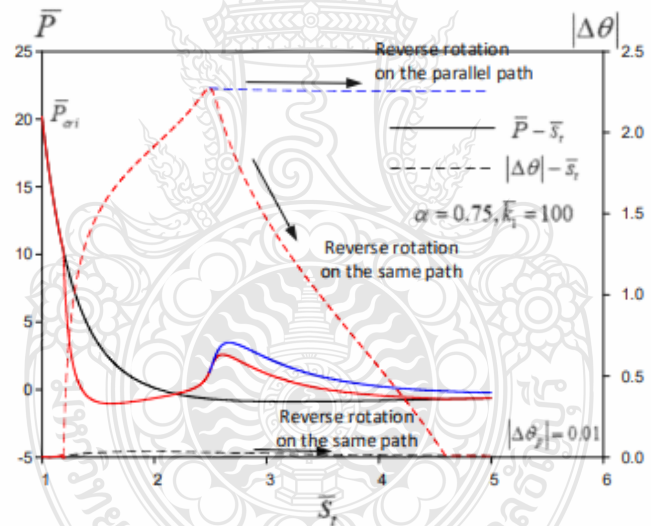
รูปที่ 4.10b เปรียบเทียบความสัมพันธ์ของน้ำหนักบรรทุก \bar{P} กับขนาดของมุม $|\Delta\theta|$ เมื่อแปรผันค่า สติฟเนสของ $k_1=10$ และ ระยะห่างของสปริงต้านทานการหมุน $\alpha=0.50$



รูปที่ 4.10c เปรียบเทียบความสัมพันธ์ของน้ำหนักบรรทุก \bar{P} กับขนาดของมุม $|\Delta\theta|$ เมื่อแปรผันค่า สติฟเนสของ $k_1=100$ และ ระยะห่างของสปริงต้านทานการหมุน $\alpha=0.50$



รูปที่ 4.10d เปรียบเทียบความสัมพันธ์ของน้ำหนักบรรทุก \bar{P} กับขนาดของมุม $|\Delta\theta|$ เมื่อแปรผันค่า สติฟเนสของ $k_1 = 10$ และ ระยะห่างของสปริงต้านทานการหมุน $\alpha = 0.75$



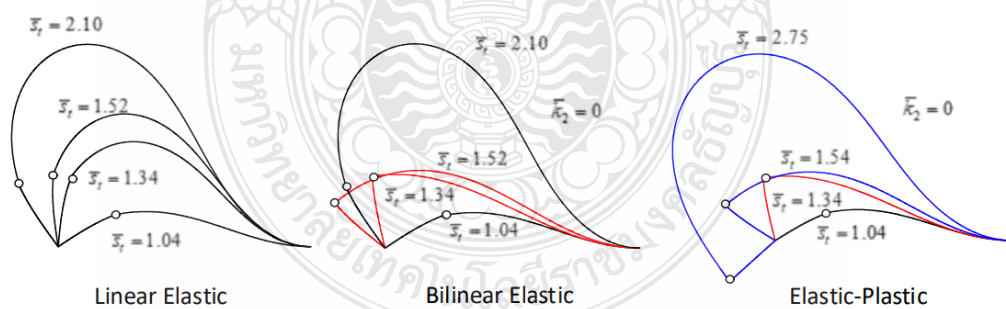
รูปที่ 4.10e เปรียบเทียบความสัมพันธ์ของน้ำหนักบรรทุก \bar{P} กับขนาดของมุม $|\Delta\theta|$ เมื่อแปรผันค่า สติฟเนสของ $k_1 = 100$ และ ระยะห่างของสปริงต้านทานการหมุน $\alpha = 0.75$

4.4 รูปร่างสมดุลของอิลาสติกคา

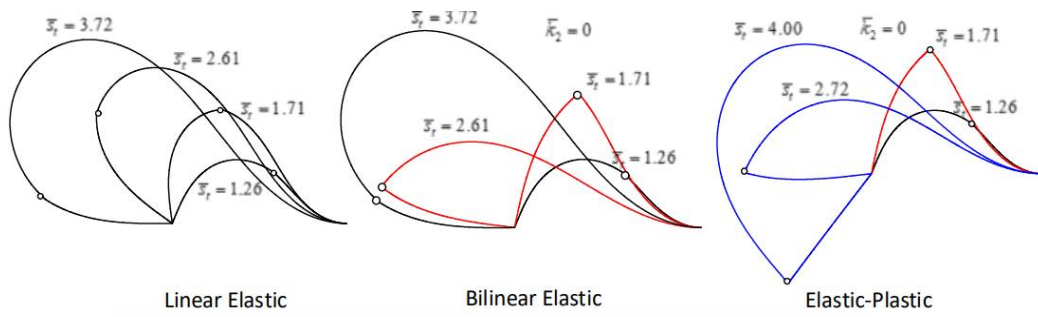
รูปร่างสมดุลของอิลาสติกคาที่สอดคล้องกับตำแหน่งต่างๆบนเส้นโค้งความสัมพันธ์ระหว่าง น้ำหนักบรรทุก \bar{P} และความยาวส่วนโค้งทั้งหมด \bar{s} , (ในรูปที่ 4.7) โดยเปรียบเทียบรูปร่างสมดุลของ

อีลาสติคคาในสามกรณีเมื่อสปริงต้านทานการหมุนเป็นแบบ 1) ยืดหยุ่นเชิงเส้น 2) ยืดหยุ่นเชิงเส้นคู่ และ 3) อีลาสติค-พลาสติก ในที่นี้ได้นำเสนอรูปร่างสมดุลงที่ตำแหน่งของสปริงต้านทานการหมุนสองตำแหน่งได้แก่ $\alpha = 0.25$ และ 0.75 รูปร่างสมดุลงของอีลาสติคคาแสดงดังรูปที่ 4.11 โดยเส้นสีดำแสดงถึงรูปร่างของอีลาสติคคาที่มุม $|\Delta\theta| \leq |\Delta\theta_p|$ ซึ่งจะมีพฤติกรรมแบบยืดหยุ่นเชิงเส้น เส้นสีแดงหมายถึงถึงรูปร่างของอีลาสติคคาที่มุม $|\Delta\theta| > |\Delta\theta_p|$ และสปริงต้านทานการหมุนเป็นแบบยืดหยุ่นเชิงเส้นคู่ เส้นสีน้ำเงินแสดงถึงการหมุนกลับด้านของมุม $|\Delta\theta|$ เมื่อสปริงต้านทานการหมุนมีพฤติกรรมแบบอีลาสติค-พลาสติก เมื่อได้สังเกตการเปลี่ยนแปลงของรูปร่างสมดุลงของอีลาสติคคาที่เกิดการครากและสติฟเนส $\bar{k}_2 = 0$ จะเห็นได้ว่ามุมของสปริงหมุนเกิดการหักงออย่างชัดเจนอันเนื่องมาจากจุดหมุนได้กลายเป็นจุดหมุนพลาสติก (Plastic Hinge) และเมื่อทำการเพิ่มความยาวส่วนโค้งต่อไปจะพบว่ามุม $|\Delta\theta|$ เพิ่มขึ้นจนถึงจุดสูงสุดและลดลง จนกระทั่งมุม $|\Delta\theta| \leq |\Delta\theta_p|$ ซึ่งหลังจากจุดนี้พฤติกรรมของอีลาสติคคาจะเหมือนกับกรณีที่สปริงหมุนเป็นแบบยืดหยุ่นเชิงเส้น

ในกรณีที่สปริงต้านทานการหมุนมีพฤติกรรมแบบอีลาสติค-พลาสติก ซึ่งมีพฤติกรรมแบบยืดหยุ่นเชิงเส้นในช่วงแรก แบบยืดหยุ่นเชิงเส้นคู่ในช่วงที่สอง และในช่วงที่สามเมื่อมุม $|\Delta\theta|$ หมุนกลับด้านจะหมุนกลับด้วยสติฟเนสของสปริงที่เท่ากับสติฟเนสในช่วงแรกคือ \bar{k}_1 ซึ่งเห็นได้ว่ามีพฤติกรรมที่แตกต่างจากกรณีของสปริงเชิงเส้นคู่คือในการหมุนกลับด้านของสปริงพบว่าการเปลี่ยนแปลงของมุมค่อนข้างน้อยเนื่องจาก สปริงมีค่าสติฟเนสที่สูงขึ้น และด้วยเหตุผลนี้ทำให้น้ำหนักบรรทุก \bar{P} เพิ่มขึ้นเช่นกัน



รูปที่ 4.11a รูปร่างสมดุลงของอีลาสติคคาที่สอดคล้องกับตำแหน่งต่างๆบนเส้นโค้งความสัมพันธ์ระหว่างน้ำหนักบรรทุก \bar{P} และความยาวส่วนโค้งทั้งหมด \bar{s}_i ที่ $\alpha = 0.25$ $k_1 = 10$



รูปที่ 4.11b รูปร่างสมดุลของอีลาสติคคาที่สอดคล้องกับตำแหน่งต่างๆบนเส้นโค้งความสัมพันธ์ระหว่าง
น้ำหนักบรรทุก \bar{P} และความยาวส่วนโค้งทั้งหมด \bar{s}_i ที่ $\alpha = 0.75$ $k_1 = 10$



บทที่ 5

สรุปผลการศึกษาและข้อเสนอแนะ

5.1 สรุปผลของการทำวิจัย

การศึกษางานวิจัยนี้ ศึกษาพฤติกรรมของอิลาสติกคาที่มีสปริงต้านทานการหมุนอยู่ภายในช่วงความยาวของอิลาสติกคาในงานวิจัยนี้ได้ใช้วิธีการคำนวณเชิงตัวเลขด้วยวิธีอิงเป่า โดยการอินทิเกรตระบบสมการอนุพันธ์ครอบคลุมปัญหา ให้สอดคล้องกับเงื่อนไขขอบเขตที่กำหนดขึ้น โดยมีการแปรผันตัวแปรที่สำคัญคือ ค่าสติฟเนส และตำแหน่งของสปริงต้านทานการหมุน โดยที่ค่าสติฟเนสของสปริงต้านทานการหมุนได้ถูกจำลองให้สอดคล้องกับพฤติกรรมการหมุนของสปริงในสามรูปแบบคือ 1) แบบยืดหยุ่นเชิงเส้น 2) แบบยืดหยุ่นเชิงเส้นคู่ และ 3) แบบอิลาสติก-พลาสติก ซึ่งสามารถสรุปผลได้ดังนี้

1. ในช่วงแรกหลังการโก่งเดาะอิลาสติกคามีสอดคล้องที่มีเสถียรภาพในทุกกรณี
2. ภายหลังเกิดการครากของสปริงต้านทานการหมุนน้ำหนักบรรทุก \bar{P} มีค่าที่ลดลง และมุม $\Delta\theta$ มีขนาดที่เพิ่มมากขึ้นเนื่องจากค่าสติฟเนสที่ลด
3. จากการแปรผันค่าของอัตราส่วน r จาก 1 ถึง 0 พบว่าในทุกตำแหน่งของสปริงต้านทานการหมุน α มีพฤติกรรมที่คล้ายคลึงกัน แต่เมื่อ $r = 0$ ($\bar{k}_2 = 0$)
4. สติฟเนสในช่วงเริ่มต้น \bar{k}_1 มีผลต่อค่าน้ำหนักบรรทุกวิกฤต \bar{P}_{cri} และภายหลังการโก่งเดาะค่าสติฟเนส \bar{k}_1 ที่มากกว่าเช่น $\bar{k}_1 = 100$ จะมีน้ำหนักบรรทุก \bar{P} ที่สูงกว่ากรณีที่มี \bar{k}_1 มีค่าน้อย และเนื่องจากค่าสติฟเนสที่สูงจะทำให้ค่าของมุม $|\Delta\theta|$ มีค่าที่ต่ำลง
5. หลังการครากเมื่อสปริงต้านทานการหมุนเป็นแบบยืดหยุ่นเชิงเส้นคู่ หรือแบบอิลาสติก-พลาสติก อาจพบลักษณะสอดคล้องที่มีเสถียรภาพได้ในช่วงสั้นๆ ซึ่งสามารถสังเกตได้ชัดเจนเมื่อ $r = 0$
6. การหมุนกลับด้านของสปริงต้านทานการหมุนในกรณีของสปริงต้านทานการหมุนแบบอิลาสติก-พลาสติก จะทำให้น้ำหนักบรรทุกมีค่าที่มากกว่ากรณีของสปริงต้านทานการหมุนแบบเชิงเส้นคู่ อันเนื่องมาจากค่าสติฟเนสที่กลับมาเท่ากับค่าสติฟเนสในช่วงเริ่มต้น

5.2 ข้อเสนอแนะของการทำวิจัยต่อไปในอนาคต

5.2.1 งานวิจัยนี้นำเสนอการศึกษาผลกระทบของจุดต้านทานการหมุนแบบยึดหยุ่นพลาสติกต่อพฤติกรรมหลังการโก่งเดาะของอิลาสติคที่มีความยาวส่วนโค้งแปรเปลี่ยนได้โดยมีจุดต้านทานการหมุนแบบสปริงวางห่างจากจุดรองรับแบบหมุนได้อย่างอิสระตามระยะที่กำหนดอยู่ภายในช่วงของอิลาสติค อาจเปลี่ยนจุดรองรับเป็นแบบอื่นเพื่อนำผลมาเปรียบเทียบกับงานวิจัยนี้

5.2.2 การศึกษาต่อจากงานวิจัยนี้ อาจพิจารณาคุณลักษณะที่เกิดจากการยึดหดตามแนวแกนของอิลาสติคและวิเคราะห์ปัญหาการหมุนกลับด้านของสปริงต้านทานการหมุนได้ให้สอดคล้องกับความเป็นจริงมากขึ้น



บรรณานุกรม

- [1] Phungpaingam, B. and Chucheesakul, S., 2018, "Postbuckling Behavior of Variable-Arc- Length Elastica Connected with Rotational Spring Joint Including the Effect of Configurational Force," *Meccanica*, 53, pp. 2619-2636.
- [2] ณัฐภูมิ พิชัยยุทธ์ "พฤติกรรมหลังการโก่งเดาะของอีลาสติคคาที่มีความยาวส่วนโค้งแปรเปลี่ยนได้โดยมีจุดหมุนแบบสปริงอยู่ภายในช่วงความยาวของอีลาสติคคา". วิทยานิพนธ์ปริญญา มหาบัณฑิต, มหาวิทยาลัยเทคโนโลยีราชมงคลธัญบุรี, พ.ศ.2558.
- [3] ศรัณย์ ชุ่มกลัด "ผลกระทบของปลายยื่นอีลาสติคคาที่มีความยาวส่วนโค้งแปรเปลี่ยนได้โดยมีแรงกระทำภายใต้น้ำหนักบรรทุกของตัวเอง". วิทยานิพนธ์ปริญญา มหาบัณฑิต, มหาวิทยาลัยเทคโนโลยีราชมงคลธัญบุรี, พ.ศ.2560.
- [4] ธาณินทร์ สุดสงวน. "อีลาสติคคาของคานโค้งแบบวงกลมที่มีความยาวส่วนโค้งแปรเปลี่ยนได้ ภายใต้แรงอัดแบบติดตามการเสีรูปกระทำที่ปลาย". วิทยานิพนธ์ปริญญา มหาบัณฑิต, มหาวิทยาลัยเทคโนโลยีราชมงคลธัญบุรี, พ.ศ.2553.
- [5] สุนทร เกียรติคงศักดิ์ "พฤติกรรมหลังการโก่งเดาะของคานภายใต้สภาพปลายยึดรั้งที่แปรเปลี่ยน" วิทยานิพนธ์ปริญญา มหาบัณฑิต, มหาวิทยาลัยเทคโนโลยีพระจอมเกล้าธนบุรี, พ.ศ.2548.
- [6] บุญชัย ผิงไผ่งาม. "การแอ่นตัวมากของคานที่มีความยาวส่วนโค้งแปรเปลี่ยนได้ภายใต้น้ำหนักบรรทุกแบบเอียงที่เปลี่ยนแปลงทิศทางการเสีรูปของคาน". วิทยานิพนธ์ปริญญา มหาบัณฑิต, มหาวิทยาลัยเทคโนโลยีพระจอมเกล้าธนบุรี, พ.ศ.2544, หน้า1-75.
- [7] วิจิต กลับใจใต้. "อีลาสติคคาของโครงสร้างแบบวงกลมภายใต้แรงกระทำที่ปลาย". วิทยานิพนธ์ปริญญา มหาบัณฑิต, มหาวิทยาลัยเทคโนโลยีพระจอมเกล้าธนบุรี, พ.ศ.2550, หน้า 7-9.
- [8] สุนทร เกียรติคงศักดิ์ และสมชาย ชูชีพสกุล, พฤติกรรมหลังการโก่งเดาะของอีลาสติคคาอย่างง่าย ภายใต้สภาพการยึดรั้งที่ปลาย, วิทยานิพนธ์ปริญญา มหาบัณฑิต, มหาวิทยาลัยเทคโนโลยีพระจอมเกล้าธนบุรี, พ.ศ.2548.
- [9] Dado, M., Al-Sadder, S. and Abuzeid, O., 2004, "Post-Buckling Behavior of Two Elastica Columns Linked with a Rotational Spring," *International Journal of Non-Linear Mechanics*, 39, pp.1579-1587.
- [10] N. Kounadis and G. Mallis. "Elastica Type Buckling Analysis of Bar from Nonlinearly Elastic Material". *International Journal of Non-linear Mechanics*, Vol. 22, pp. 99-107, 1987.

บรรณานุกรม (ต่อ)

- [11] Wang, C.Y., Wang, C.M. and Aung, T.M., 2004, "Buckling of a Weakened Column," *Journal of Engineering Mechanics*, 130, pp. 1373-1376.
- [12] สหรัถ โปธีนอก "การโก่งตัวมากของเสาปลายยื่นที่ทำจากแบบจำลองวัสดุแบบลุดวิกภายใต้แรงยึดรั้งที่เคเบิล". วิทยานิพนธ์ปริญญาโทบริหารธุรกิจ, มหาวิทยาลัยเทคโนโลยีราชมงคลธัญบุรี, พ.ศ.2555.
- [13] C. Athisakul and S. Chuchepsakul, "Effect of inclination on bending of Spatial Variable-Arc-Length beam subjected to uniform self – weight", *Engineering Structures*, Vol. 30, No 4, pp.902-908,2008
- [14] Monasa, F.E., 1974, "Deflections and Stability Behavior of Elasto-Plastic Flexible Bars," *Journal of Applied Mechanics*, 41, pp. 537-538.
- [15] Pandit, D. and Srinivasan, S.M., 2016, "Numerical Analysis of Large Elasto-Plastic Deflection of Constant Curvature Beam under Follower Load," *International Journal of Non-Linear Mechanics*, 84, pp. 46-55.
- [16] ปราโมทย์ เตชะอำไพ และนิพนธ์ วรรณโสภากย์. (2557). ระเบียบวิธีเชิงตัวเลขในงานวิศวกรรม. (พิมพ์ครั้งที่ 9). กรุงเทพฯ: โรงพิมพ์แห่งจุฬาลงกรณ์มหาวิทยาลัย.
- [17] ธนาวุฒิ ประกอบผล. (2555). ระเบียบวิธีเชิงตัวเลข. กรุงเทพฯ: บริษัท สำนักพิมพ์ท็อป จำกัด.
- [18] วรสิทธิ์ กาญจนกิจเกษม. (2557). ระเบียบวิธีเชิงตัวเลข. กรุงเทพฯ: โรงพิมพ์แห่งจุฬาลงกรณ์มหาวิทยาลัย.
- [19] อัมพล ธรรมเจริญ. (2551). วิธีการคำนวณและการวิเคราะห์เชิงตัวเลข. กรุงเทพฯ: โรงพิมพ์พิทักษ์การพิมพ์.



ภาคผนวก



ภาคผนวก ก

ระเบียบวิธีรุงเง - คุดตา (Runge - Kutta method)

ระเบียบวิธีรุงเง - คุดตา (Runge - Kutta method)

ระเบียบวิธีรุงเง - คุดตา (Runge - Kutta method) จัดได้ว่าเป็นระเบียบวิธีที่ได้รับความนิยมและใช้กันอย่างกว้างขวางโดยเฉพาะในการคำนวณที่ต้องการผลลัพธ์ที่มีความเที่ยงตรงสูง รวมถึงในการคำนวณหาผลลัพธ์ในงานวิจัยนี้ด้วย โดยแนวความคิดที่ใช้ในระเบียบวิธีรุงเง - คุดตานี้คือ การหาค่าความชันที่มีความเที่ยงตรงสูงเพื่อก่อให้เกิดผลลัพธ์ที่มีความเที่ยงตรงสูงตามมา สมการหลักที่ใช้ในการคำนวณผลลัพธ์ในระเบียบวิธีรุงเง - คุดตานี้ อยู่ในรูปแบบตามสมการ ข.1

$$y_{i+1} = y_i + \phi(x_i, y_i, h)h \quad (\text{ข.1})$$

โดยที่ $\phi(x_i, y_i, h)$ เรียกว่า ฟังก์ชันส่วนเพิ่ม (Increment Function) ซึ่งมีความหมายถึงความชันเฉลี่ยตลอดขนาดช่องกว้าง h ที่จะนำไปใช้ในการคำนวณหาส่วนที่เพิ่มจากผลลัพธ์เดิม ฟังก์ชันส่วนเพิ่มนี้สามารถเขียนให้อยู่ในรูปแบบทั่วไป ดังนี้

$$\phi = a_1k_1 + a_2k_2 + a_3k_3 + \dots + a_nk_n \quad (\text{ข.2})$$

โดย $a_i, i = 1, 2, 3, \dots, n$ เป็นค่าคงที่ และ

$$k_1 = f(x_i, y_i) \quad (\text{ข.3ก})$$

$$k_2 = f(x_i + p_1h, y_i + q_{11}k_1h) \quad (\text{ข.3ข})$$

$$k_3 = f(x_i + p_2h, y_i + q_{21}k_1h + q_{22}k_2h) \quad (\text{ข.3ค})$$

$$\vdots \quad \quad \quad \vdots$$

$$k_n = f(x_i + p_{n-1}h, y_i + q_{n-1,1}k_1h + q_{n-1,2}k_2h + \dots + q_{n-1,n-1}k_{n-1}h) \quad (\text{ข.3 น})$$

โดยตัวห้อย n บ่งบอกถึงอันดับที่ของระเบียบวิธีรุงเง - คุดตาที่เลือกใช้ เช่น เมื่อ $n=1$ จะเรียกว่าเป็นระเบียบวิธีรุงเง - คุดตาอันดับที่หนึ่ง ในทำนองเดียวกันเมื่อเลือกใช้ $n=2$ จะเรียกว่าเป็นระเบียบวิธีรุงเง - คุดตาอันดับที่สอง เป็นต้น ค่าของ $k_i, i = 1, 2, 3, \dots, n$ ในสมการ (ข.3) ขึ้นอยู่กับฟังก์ชันของสมการเชิงอนุพันธ์สามัญที่กำหนดมาให้ ในส่วนของค่า p และ q ต่างๆนั้นเป็นค่าคงที่ และหากพิจารณาสมการ (ข.3) พบว่าจำเป็นต้องรู้ค่า k_1 ก่อนทำการคำนวณค่า k_2 และต้องรู้ค่า k_2 ก่อนทำการคำนวณค่า k_3 เช่นนี้เรื่อยไป สำหรับรายละเอียดของระเบียบวิธีรุงเง - คุดตาสามารถศึกษาได้จาก [21]



ภาคผนวก ข

ระเบียบวิธีนิวัตน์ - ราชภัฏ

มหาวิทยาลัยเทคโนโลยีราชมงคลธัญบุรี

ระเบียบวิธีนิวตัน - กราฟเส้น

ระบบสมการแบบไร้เชิงเส้นจำนวน n สมการ และ n ตัวแปร คือ x_1, x_2, \dots, x_n มีรูปแบบสมการดังต่อไปนี้

$$\begin{aligned} F_1(x_1, x_2, \dots, x_n) &= 0 \\ F_2(x_1, x_2, \dots, x_n) &= 0 \\ \vdots & \\ F_n(x_1, x_2, \dots, x_n) &= 0 \end{aligned} \tag{ค.1}$$

โดยการใช้ทฤษฎีการกระจายอนุกรมของเทเลอร์ (Taylor Series) กับฟังก์ชันไร้เชิงเส้นจำนวน n สมการ สามารถจัดรูปได้ดังต่อไปนี้

$$\begin{bmatrix} \frac{\partial F_1}{\partial x_1} & \frac{\partial F_1}{\partial x_2} & \dots & \frac{\partial F_1}{\partial x_n} \\ \frac{\partial F_2}{\partial x_1} & \frac{\partial F_2}{\partial x_2} & \dots & \frac{\partial F_2}{\partial x_n} \\ \vdots & \vdots & \dots & \vdots \\ \frac{\partial F_n}{\partial x_1} & \frac{\partial F_n}{\partial x_2} & \dots & \frac{\partial F_n}{\partial x_n} \end{bmatrix} \begin{bmatrix} \Delta x_1 \\ \Delta x_2 \\ \vdots \\ \Delta x_n \end{bmatrix} = - \begin{bmatrix} F_1 \\ F_2 \\ \vdots \\ F_n \end{bmatrix} \tag{ค.2}$$

จากสมการ (ค.2) สามารถจัดรูปแบบสมการได้อีกแบบหนึ่ง คือ

$$\sum_{j=1}^n \frac{\partial F_i}{\partial x_j} \Delta x_j = -F_i \quad \text{เมื่อ } i=1, 2, 3, \dots, n \tag{ค.3}$$

หรืออีกรูปแบบหนึ่ง คือ

$$[J][\Delta x] = -[F] \tag{ค.4}$$

โดยที่เมตริกซ์ J คือ จาคอบีเยนเมตริกซ์ (Jacobian Matrix) มีค่าตามสมการต่อไปนี้

$$J_{ij} = \frac{\partial F_i}{\partial x_j} \quad \text{เมื่อ } i \text{ และ } j=1, 2, 3, \dots, n \tag{ค.5}$$

จากสมการที่ (ค.2) ถึง (ค.4) เป็นสมการที่มีเป้าหมายในการหาค่าของ Δx_j เพื่อเป็นค่าปรับแก้ของค่าเดิม x_{old} โดยมีขั้นตอนในการหาค่าปรับแก้ Δx_j ดังต่อไปนี้

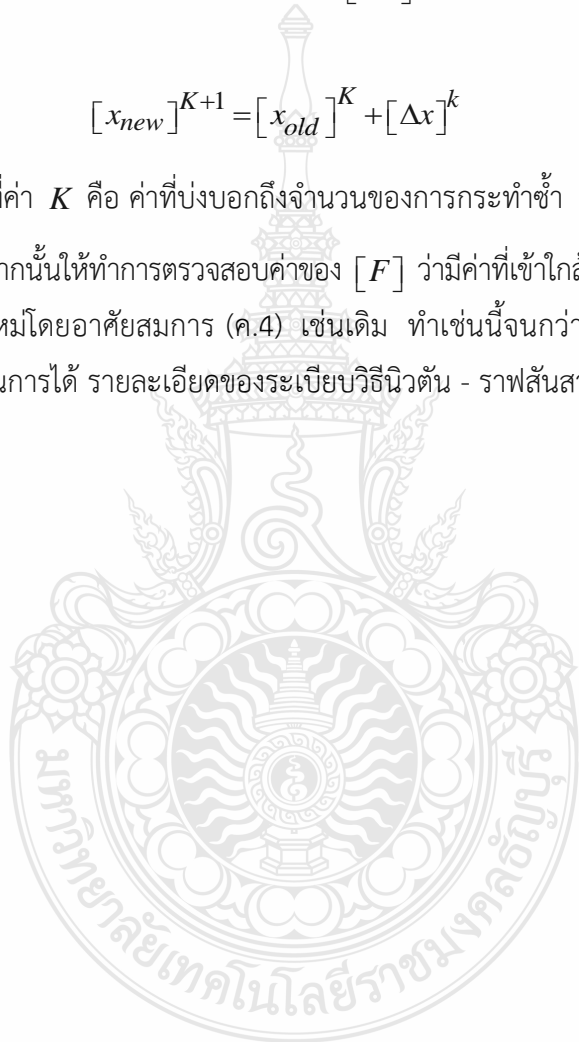
1. สมมติค่าเริ่มต้นของตัวแปร x_1, x_2, \dots, x_n
2. ทำการหาค่าของ F_1, F_2, \dots, F_n และค่าของ J_{ij} จากสมการ (ค.5)
3. ทำการหาค่า $[\Delta x]$ โดยใช้กระบวนการกำจัดแบบเกาส์ จากสมการที่ (ค.4)
4. จากขั้นตอนที่ 3 จะได้ค่าปรับแก้ $[\Delta x]$ ซึ่งเมื่อนำไปรวมกับค่าเดิมจะได้ค่าใหม่ ดัง

สมการต่อไปนี้

$$[x_{new}]^{K+1} = [x_{old}]^K + [\Delta x]^k \quad (\text{ค.6})$$

โดยที่ค่า K คือ ค่าที่บ่งบอกถึงจำนวนของการกระทำซ้ำ

5. จากนั้นให้ทำการตรวจสอบค่าของ $[F]$ ว่ามีค่าที่เข้าใกล้ศูนย์หรือไม่ ถ้ายังไม่เข้าใกล้ศูนย์ให้หาค่าปรับแก้ใหม่โดยอาศัยสมการ (ค.4) เช่นเดิม ทำเช่นนี้จนกว่าค่า $[F]$ จะมีค่าที่เข้าใกล้ศูนย์จึงจะหยุดกระบวนการได้ รายละเอียดของระเบียบวิธีนี้เริ่มต้น - ราชสันสามารถศึกษาได้จาก [18]



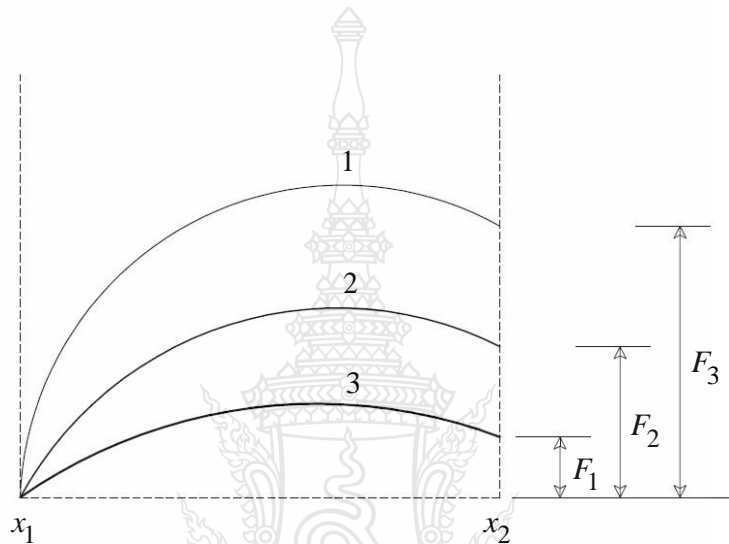


ภาคผนวก ค

ระเบียบวิธียิงเป้า (Shooting method)

ระเบียบวิธียิงเป้า (Shooting method)

วิธีการนี้ เป็นวิธีการเชิงตัวเลขวิธีการหนึ่งซึ่งสามารถจัดการกับปัญหาของระบบสมการอนุพันธ์ที่ขึ้นกับตัวแปร 1 ตัว โดยมีเงื่อนไขแบบ 2 จุด (จุดเริ่มต้น x_1 และจุดปลาย x_2) ได้เป็นอย่างดี โดยมีหลักการคือ พยายามปรับแก้ค่าที่ทำการประมาณจนกระทั่งค่าเหล่านั้นสอดคล้องกับเงื่อนไขขอบเขตทั้ง 2 จุด ตามรูปที่ ง.1 โดยที่วิธีการปรับแก้ที่ใช้คือ วิธีการนิวตัน - ราฟสัน



รูปที่ ง.1 วิธีการยิงเป้า

กระบวนการในการแก้ปัญหานี้โดยใช้ระเบียบวิธียิงเป้ามีขั้นตอนดังต่อไปนี้

1. ที่จุดเริ่มต้น x_1 นี้จะมีค่าเริ่มต้นอยู่ N ค่า โดยค่าแต่ละค่าเหล่านี้จะอยู่ภายใต้เงื่อนไขขอบเขตที่ x_1 อยู่ n_1 ค่า ดังนั้นจะเหลือค่าของพารามิเตอร์ที่จำเป็นต้องอาศัยการประมาณค่าอยู่ $n_2 = N - n_1$ ค่า ซึ่งจะเรียกพารามิเตอร์เหล่านี้ว่า เวกเตอร์ V มีขนาดเท่ากับ $n_2 x_1$ ซึ่งสามารถเขียนให้อยู่ในรูปของสมการได้ดังนี้

$$y_i(x_1) = y_i(x_1, V_1, \dots, V_{n_2}) \quad i = 1, \dots, N \quad (\text{ง.1})$$

2. อินทิเกรตระบบสมการอนุพันธ์จากจุด x_1 ไปจนถึงจุด x_2 โดยที่ ณ ตำแหน่ง x_2 นี้ให้ทำการหาค่าความแตกต่างของค่าที่อินทิเกรตได้กับเงื่อนไขขอบเขตที่ x_2 ซึ่งเรียกค่านี้ว่า เวกเตอร์ของค่าที่แตกต่างกัน (Discrepancy vector F) ซึ่งเวกเตอร์นี้มีขนาดเท่ากับ $n_2 x_2$ เช่นเดียวกับเวกเตอร์ V

3. ใช้กระบวนการของวิธีการนิวตัน - ราวฟสัน เพื่อหาค่าของเวกเตอร์ V ที่ทำให้เวกเตอร์ F มีค่าเป็นศูนย์ โดยมีขั้นตอนการปรับแก้ดังนี้

$$V_{new} = V_{old} + \delta V \quad (\text{ง.2})$$

$$J \delta V = -F \quad (\text{ง.3})$$

โดยที่ J คือ จาคอบีเยนเมตริกซ์ (Jacobian Matrix) มีค่าเท่ากับ

$$J_{ij} = \frac{\partial F_i}{\partial V_j} \quad (\text{ง.4})$$

โดยค่าของเวกเตอร์ V ที่ทำให้ค่าเวกเตอร์มีค่าเท่ากับศูนย์ คือ ค่าของพารามิเตอร์ที่ไม่ทราบค่าสอดคล้องกับเงื่อนไขขอบเขตทั้ง 2 จุดนั่นเอง โดยที่รายละเอียดสามารถศึกษาเพิ่มเติมได้จาก [21]





ภาคผนวก ง

ตัวอย่างโปรแกรมการคำนวณ

1. ตัวอย่างคำสั่งสำหรับการคำนวณวิธีอิงเป้า โดยใช้โปรแกรม MATLAB กรณี LOADING

```
function dydx=goveqs1_valplastic1(x,y)
global P M0
dydx=zeros(3,1);
% statics
dydx(1)=-((P+(M0^2)/2)*y(3)+M0*y(2));           %ceta
dydx(2)=cos(y(1));                             % x
dydx(3)=sin(y(1));                             % y
end

function dydx=goveqs2_valplastic1(x,y)
global P M0 xs ys dtheta beta1 beta2 theta1 theta2 chk2 Mi chk1
dydx=zeros(3,1);
dthetai=dtheta-theta1;
dtheta0=dtheta;
thetaf=theta2;
My=theta1*tan(beta1);
Mf=My+(thetaf-theta1)*tan(beta2);
thetap=thetaf-Mf/(tan(beta1));
if (chk2) % chk2 for checking the plastic range
    if(not(chk1))
        %Mj=(dtheta-thetap)*tan(beta1); % for different unloading path
        Mj=Mi+dthetai*tan(beta2);      % for elastic loading & unloading
    else
        Mj=Mi+dthetai*tan(beta2);
    end
    % yield
else
    Mj=(tan(beta1))*dtheta0;           % not yield
end
dydx(1)=Mj+(P+(M0^2)/2)*(ys-y(3))+M0*(y(2)-xs); % ceta
```

```

dydx(2)=cos(y(1));           % x
dydx(3)=sin(y(1));          % y
end

```

```

function r=score_valplastic1(v)
global st alpha beta1 beta2 pl xs ys P M0 dtheta theta1 theta2 chk2 chk1 Mi
%loading
r=zeros(4,1);
P=v(1); M0=v(2); cetaa=v(3); dtheta=v(4);
dthetai=dtheta-theta1;
dtheta0=dtheta;
thetaf=theta2;
My=theta1*tan(beta1);
Mf=My+(thetaf-theta1)*tan(beta2);
thetap=(thetaf-Mf)/(tan(beta1));
odeoptions=odeset('RelTol',1.0e-6,'AbsTol',1.0e-7);
[x1 y1]=ode45('goveqs1_valplastic1',[0 alpha],[cetaa 0 0],odeoptions);
lastrow1=size(y1,1);
xs=y1(lastrow1,2); ys=y1(lastrow1,3); ceta1=y1(lastrow1,1);
ceta2=ceta1+dtheta;
[x2 y2]=ode45('goveqs2_valplastic1',[alpha st],[ceta2 xs ys],odeoptions);
lastrow2=size(y2,1);
xp=y2(lastrow2,2); yp=y2(lastrow2,3); cetap=y2(lastrow2,1);
if (pl==1)
    figure(1)
    hold on;
    title ('Equilibrium shape');
    plot(y1(:,2),y1(:,3));
    plot(y2(:,2),y2(:,3));
    axis on;

```

```

axis equal;
grid on;
end
if (chk2)
    %Mj=beta1*theta1;
    if(not(chk1))
        %Mj=(dtheta-theta0)*tan(beta1); %for different unloading path
        Mj=Mi+dtheta*tan(beta2);    % for elastic loading & unloading
    else
        Mj=Mi+dtheta*tan(beta2);
    end
else
    Mj=(tan(beta1))*dtheta0;
end
r(1)=y2(lastrow2,2)-1;
r(2)=y2(lastrow2,3);
r(3)=y2(lastrow2,1);
r(4)=-(P+(M0^2)/2)*ys+M0*xs-Mj;
end

function valelastica_plastic1
% cantilever beam with follower self-weight
% including configurational force  $M^2/2EI$ 
clear
global st pl alpha beta1 beta2 theta1 theta2 chk2 chk1 Mi
format long
alpha=input('position of spring joint (alpha) ');
%beta1=input('constant of spring joint #1 ');
%beta2=input('constant of the spring joint #2 ');
theta1=input('Yield point (angle)= ');

```

```

theta2=input('final point (angle)= ');
%beta2=beta1*theta1/theta2;
% static parameters
st=input('total arc-length ');
v(1)=input('end load (P) ');
v(2)=input('end moment (M0) ');
v(3)=input('ceta A (cetaa) ');
v(4)=input('difference in angle at spring joint (dtheta) ');
% end of input static parameters
beta1=atan(10); beta2=atan(0);
pl=input('Plot configuration shapes (yes (1), no (0))= ');
P=v(1);
Mo=v(2);
cetaa=v(3);
dtheta=v(4);
Mi=theta1*tan(beta1);
lim=input('limitation= ');
inc=input('increment= ');
%Assume loading
chk1=true;
%Assume unloading
%chk1=false;
%Assume in elastic range
if (abs(dtheta)>abs(theta1))
    chk2=true; % plastic range
else
    chk2=false; % elastic range
end
fid=fopen('output1.txt','wt');
fprintf(fid,'output of cantilever follower self-weight elastica\n');

```

```

fprintf(fid,'st      P      Mo      cetaa      dtheta\n');
i=0;
dv=0.0001;
m=1;
%while (st>lim)
while (st<lim)
    v0=[v(1) v(2) v(3) v(4)];
    options=optimset(optimset('fsolve'),'MaxFunEvals',400,'TolFun',1e-15,'TolX',1.0e-15);
    [v fval]=fsolve('score_valplastic1',v0,options)
    test=max(abs(fval));
while (test>1.0e-7&&i<25)
    i=i+1;
    v(1)=v(1)+dv; v(2)=v(2)+dv;v(3)=v(3)+dv;v(4)=v(4)+dv;
    v0=[v(1) v(2) v(3) v(4)];
    [v fval]=fsolve('score_valplastic1',v0,options)
end
if (abs(dtheta)<abs(v(4))) % chk1 is applied to check loading or unloading path of the
spring joint
    chk1=true; % loading
    dtheta=v(4);
else
    chk1=false; % unloading
    dtheta=v(4);
end
if (abs(v(4))>abs(theta1)) %chk2 is to check the region of stiffness
    chk2=true; % Yielding
    if (m)
        v0=[v(1) v(2) v(3) v(4)];

options=optimset(optimset('fsolve'),'MaxFunEvals',400,'TolFun',1e-15,'TolX',1.0e-15);

```

```

[v fval]=fsolve('score_valplastic1',v0,options)
test=max(abs(fval));
while (test>1.0e-7&&i<25)
    i=i+1;
    v(1)=v(1)+dv; v(2)=v(2)+dv;v(3)=v(3)+dv;v(4)=v(4)+dv;
    v0=[v(1) v(2) v(3) v(4)];
    [v fval]=fsolve('score_valplastic1',v0,options)
end
end
m=0;
else
    chk2=false;    % elastic
    if (not(m))
        v0=[v(1) v(2) v(3) v(4)];
        options=optimset(optimset('fsolve'),'MaxFunEvals',400,'TolFun',1e-15,'TolX',1.0e-
15);
        [v fval]=fsolve('score_valplastic1',v0,options)
        test=max(abs(fval));
        while (test>1.0e-7&&i<25)
            i=i+1;
            v(1)=v(1)+dv; v(2)=v(2)+dv;v(3)=v(3)+dv;v(4)=v(4)+dv;
            v0=[v(1) v(2) v(3) v(4)];
            [v fval]=fsolve('score_valplastic1',v0,options)
        end
    end
    m=1;
end
%if (not(chk1))
% unloading case (UL)
% v0=[v(1) v(2) v(3) v(4)];

```

```

% options=optimset(optimset('fsolve'),'MaxFunEvals',400,'TolFun',1e-15,'TolX',1.0e-15);
% [v fval]=fsolve('score_valplastic2',v0,options)
% test=max(abs(fval));
% end
%if (test<1.0e-7)
%   if (abs(v(4))>abs(dtheta))
%       print('loading');
%       if (abs(v(4))>abs(a))
%           print('plastic region');
%       else
%           print('elastic region');
%       end
%   else
%       print('unloading');
%   end
%   dtheta=v(4);
%   odeoptions=odeset('RelTol',1.0e-6,'AbsTol',1.0e-7);
%   [x1 y1]=ode45('goveqs1_valplastic1',[0 alpha],[v(3) 0 0 0],odeoptions);
%   lastrow1=size(y1,1);
%   cetac1=y1(lastrow1,1);
%else
%   print('Can not find cetac1');
% end
fprintf(fid,'%12.9f          %12.9f          %12.9f          %12.9f          %12.9f\n',st,v(1),v(2),v(3),v(4),test);
st=st+inc
end
fclose(fid)
end

```


2. ตัวอย่างคำสั่งสำหรับการคำนวณวิธีอิงเป้า โดยใช้โปรแกรม MATLAB กรณี REVERSE

```
function dydx=goveqs1_valplastic1un(x,y)
global P M0
dydx=zeros(3,1);
% statics
dydx(1)=-((P+(M0^2)/2)*y(3)+M0*y(2));           %ceta
dydx(2)=cos(y(1));                             % x
dydx(3)=sin(y(1));                             % y
end

function dydx=goveqs2_valplastic1un(x,y)
global P M0 xs ys dtheta beta1 beta2 theta1 theta2 chk2 Mi chk1
dydx=zeros(3,1);
dthetai=dtheta-theta1;
dtheta0=dtheta;
thetaf=theta2;
My=theta1*tan(beta1);
Mf=My+(thetaf-theta1)*tan(beta2);
thetaR=(thetaf-Mf)/(tan(beta1));
if (chk2)
    if(not(chk1))
        Mj=(dtheta-thetaR)*tan(beta1); % for different unloading path
        %Mj=Mi+dthetai*tan(beta2); % for elastic loading & unloading
    else
        Mj=Mi+dthetai*tan(beta2);
    end
    % yield
else
    Mj=(tan(beta1))*dtheta0; % not yield
end
```

```

dydx(1)=Mj+(P+(M0^2)/2)*(ys-y(3))+M0*(y(2)-xs);    % ceta
dydx(2)=cos(y(1));                                % x
dydx(3)=sin(y(1));                                % y
end

```

```

function r=score_valplastic1un(v)
global st alpha beta1 beta2 pl xs ys P M0 dtheta theta1 theta2 chk2 chk1 Mi
%loading
r=zeros(4,1);
P=v(1); M0=v(2); cetaa=v(3); dtheta=v(4);
dthetai=dtheta-theta1;
dtheta0=dtheta;
thetaf=theta2;
My=theta1*tan(beta1);
Mf=My+(thetaf-theta1)*tan(beta2);
thetaR=thetaf-Mf/(tan(beta1));
odeoptions=odeset('RelTol',1.0e-6,'AbsTol',1.0e-7);
[x1 y1]=ode45('goveqs1_valplastic1un',[0 alpha],[cetaa 0 0],odeoptions);
lastrow1=size(y1,1);
xs=y1(lastrow1,2); ys=y1(lastrow1,3); ceta1=y1(lastrow1,1);
ceta2=ceta1+dtheta;
[x2 y2]=ode45('goveqs2_valplastic1un',[alpha st],[ceta2 xs ys],odeoptions);
lastrow2=size(y2,1);
xp=y2(lastrow2,2); yp=y2(lastrow2,3); cetap=y2(lastrow2,1);
if (pl==1)
    figure(1)
    hold on;
    title ('Equilibrium shape');
    plot(y1(:,2),y1(:,3));
    plot(y2(:,2),y2(:,3));

```

```

axis on;
axis equal;
grid on;
end
if (chk2)
    %Mj=beta1*theta1;
    if(not(chk1))
        Mj=(dtheta-thetaR)*tan(beta1); %for different unloading path
        %Mj=Mi+dthetai*tan(beta2);    % for elastic loading & unloading
    else
        Mj=Mi+dthetai*tan(beta2);
    end
else
    Mj=(tan(beta1))*dtheta0;
end
r(1)=y2(lastrow2,2)-1;
r(2)=y2(lastrow2,3);
r(3)=y2(lastrow2,1);
r(4)=-((P+(M0^2)/2)*ys+M0*xs-Mj);
end

function vaelastica_plastic1_un
% cantilever beam with follower self-weight
% including configurational force  $M^2/2EI$ 
clear
global st pl alpha beta1 beta2 theta1 theta2 chk2 chk1 Mi
format long
alpha=input('position of spring joint (alpha) ');
%beta1=input('constant of spring joint #1 ');
%beta2=input('constant of the spring joint #2 ');

```

```

theta1=input('Yield point (angle)= ');
theta2=input('final point (angle)= ');
%beta2=beta1*theta1/theta2;
% static parameters
st=input('total arc-length ');
v(1)=input('end load (P) ');
v(2)=input('end moment (M0) ');
v(3)=input('ceta A (cetaa) ');
v(4)=input('difference in angle at spring joint (dtheta) ');
% end of input static parameters
beta1=atan(100); beta2=atan(0);
pl=input('Plot configuration shapes (yes (1), no (0))= ');
P=v(1);
Mo=v(2);
cetaa=v(3);
dtheta=v(4);
Mi=theta1*tan(beta1);
lim=input('limitation= ');
inc=input('increment= ');
%Assume unloading
chk1=false;
% Assume plastic range
chk2=true;
%Assume in elastic range
%if (abs(dtheta)>abs(theta1))
%  chk2=true; % plastic range
%else
%  chk2=false; % elastic range
% end
fid=fopen('output1.txt','wt');

```

```

fprintf(fid,'output of cantilever follower self-weight elastica\n');
fprintf(fid,'st      P      Mo      cetaa      dtheta\n');
i=0;
dv=0.0001;
m=1;
while (st>lim)
%while (st<lim)
    v0=[v(1) v(2) v(3) v(4)];
    options=optimset(optimset('fsolve'),'MaxFunEvals',400,'TolFun',1e-15,'TolX',1.0e-15);
    [v fval]=fsolve('score_valplastic1un',v0,options)
    test=max(abs(fval));
while (test>1.0e-7&&i<25)
    i=i+1;
    v(1)=v(1)+dv; v(2)=v(2)+dv;v(3)=v(3)+dv;v(4)=v(4)+dv;
    v0=[v(1) v(2) v(3) v(4)];
    [v fval]=fsolve('score_valplastic1un',v0,options)
end
%if (abs(v(4))>abs(theta1)) %chk2 is to check the region of stiffness
%  chk2=true; % Yielding
%  if (m)
%      v0=[v(1) v(2) v(3) v(4)];
%      options=optimset(optimset('fsolve'),'MaxFunEvals',400,'TolFun',1e-15,'TolX',1.0e-
15);
%      [v fval]=fsolve('score_valplastic1un',v0,options)
%      test=max(abs(fval));
%      while (test>1.0e-7&&i<25)
%          i=i+1;
%          v(1)=v(1)+dv; v(2)=v(2)+dv;v(3)=v(3)+dv;v(4)=v(4)+dv;
%          v0=[v(1) v(2) v(3) v(4)];
%          [v fval]=fsolve('score_valplastic1un',v0,options)

```

```

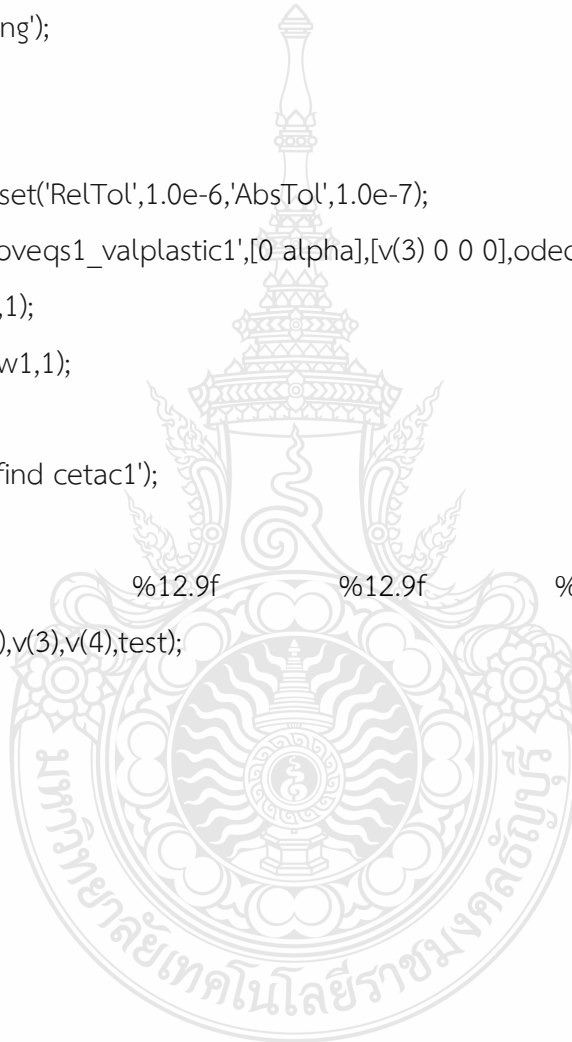
% end
% end
% m=0;
% else
% chk2=false;      % elastic
% if (not(m))
%   v0=[v(1) v(2) v(3) v(4)];
%   options=optimset(optimset('fsolve'),'MaxFunEvals',400,'TolFun',1e-15,'TolX',1.0e-
15);
%   [v fval]=fsolve('score_valplastic1un',v0,options)
%   test=max(abs(fval));
%   while (test>1.0e-7&&i<25)
%     i=i+1;
%     v(1)=v(1)+dv; v(2)=v(2)+dv;v(3)=v(3)+dv;v(4)=v(4)+dv;
%     v0=[v(1) v(2) v(3) v(4)];
%     [v fval]=fsolve('score_valplastic1un',v0,options)
%   end
% end
% m=1;
% end
%if (not(chk1))
% unloading case (UL)
% v0=[v(1) v(2) v(3) v(4)];
% options=optimset(optimset('fsolve'),'MaxFunEvals',400,'TolFun',1e-15,'TolX',1.0e-15);
% [v fval]=fsolve('score_valplastic2',v0,options)
% test=max(abs(fval));
% end
%if (test<1.0e-7)
% if (abs(v(4))>abs(dtheta))
%   print('loading');

```

```

%   if (abs(v(4)>abs(a)))
%       print('plastic region');
%   else
%       print('elastic region');
%   end
% else
%   print('unloading');
% end
% dthetai=v(4);
% odeoptions=odeset('RelTol',1.0e-6,'AbsTol',1.0e-7);
% [x1 y1]=ode45('goveqs1_valplastic1',[0 alpha],[v(3) 0 0 0],odeoptions);
% lastrow1=size(y1,1);
% cetac1=y1(lastrow1,1);
%else
%   print('Can not find cetac1');
% end
fprintf(fid,'%12.9f          %12.9f          %12.9f          %12.9f          %12.9f
%12.9f\n',st,v(1),v(2),v(3),v(4),test);
st=st+inc
end
fclose(fid)
end

```





ภาคผนวก จ

ผลการคำนวณเชิงตัวเลข

ตารางที่ จ.1 ความสัมพันธ์ระหว่าง $\bar{s}_t, \bar{P}, M_0, \theta_A, \Delta\theta$ โดยพิจารณาค่าคงที่ $\alpha=0.25, \beta_1=10, \beta_2=10$

\bar{s}_t	\bar{P}	M_0	θ_A	$\Delta\theta$
1.01	16.47088438	0.747819923	0.261213974	-0.075399282
1.1	12.66324021	2.140106621	0.822380096	-0.207800258
1.2	9.525802912	2.743025818	1.150880395	-0.250371903
1.3	7.149187514	3.070949506	1.387441332	-0.259852803
1.4	5.313141278	3.257987882	1.571183662	-0.253882566
1.5	3.886579218	3.357153088	1.71958789	-0.240670986
1.6	2.778623515	3.397118594	1.84325809	-0.224557496
1.7	1.919557709	3.396155135	1.949232475	-0.207814561
1.8	1.254257159	3.36676016	2.042294553	-0.191575013
1.9	1.196622597	3.362619843	2.051027218	-0.190002147
2	0.694686432	3.311978082	2.133645806	-0.174899663
2.1	0.032634096	3.183715712	2.272280398	-0.149588985
2.2	-0.205358782	3.106369808	2.338198033	-0.138016266
2.3	-0.388654498	3.025444618	2.400479598	-0.127545195
2.4	-0.529170269	2.942564529	2.459782227	-0.118075477
2.5	-0.636109249	2.858893954	2.516609772	-0.109506576
2.6	-0.716604367	2.775264818	2.571354798	-0.101743488
2.7	-0.776210208	2.692268401	2.624327585	-0.094699225
2.8	-0.819270683	2.610320169	2.67577717	-0.088295524
2.9	-0.849199218	2.529707347	2.725905228	-0.082462728
3	-0.868689859	2.450623103	2.774876867	-0.07713919

ตารางที่ จ.2 ความสัมพันธ์ระหว่าง $\bar{s}_t, \bar{P}, M_0, \theta_A, \Delta\theta$ โดยพิจารณาค่าคงที่ $\alpha=0.25, \beta_1=10,$
 $\beta_2=1$

\bar{s}_t	\bar{P}	M_0	θ_A	$\Delta\theta$
1.01	16.47088438	0.747819923	0.261213974	-0.075399282
1.1	10.57272404	1.732047707	0.856367905	-0.449535793
1.2	7.934365916	1.991550608	1.258285088	-0.728948474
1.3	6.71075787	2.189959865	1.591262517	-0.872478454
1.4	5.820492466	2.423633239	1.861046945	-0.90732149
1.5	4.807898628	2.688995795	2.04512137	-0.847090155
1.6	3.680684727	2.915771826	2.151896269	-0.734926421
1.7	2.626392032	3.070757688	2.210555355	-0.60793953
1.8	1.737355696	3.160559671	2.242451414	-0.482136216
1.9	1.023249921	3.200946289	2.259237718	-0.362669673
2	0.462941676	3.20573516	2.267218	-0.250821142
2.1	0.032634096	3.183715712	2.272280398	-0.149588985
2.2	-0.205358782	3.106369808	2.338198033	-0.138016266
2.3	-0.388654498	3.025444618	2.400479598	-0.127545195
2.4	-0.529170269	2.942564529	2.459782227	-0.118075477
2.5	-0.636109249	2.858893954	2.516609772	-0.109506576
2.6	-0.716604367	2.775264818	2.571354798	-0.101743488
2.7	-0.776210208	2.692268401	2.624327585	-0.094699225
2.8	-0.819270683	2.610320169	2.67577717	-0.088295524
2.9	-0.849199218	2.529707347	2.725905228	-0.082462728
3	-0.868689859	2.450623103	2.774876867	-0.07713919

ตารางที่ จ.3 ความสัมพันธ์ระหว่าง $\bar{s}_t, \bar{P}, M_0, \theta_A, \Delta\theta$ โดยพิจารณาค่าคงที่ $\alpha=0.25, \beta_1=10,$
 $\beta_2=0.1$

\bar{s}_t	\bar{P}	M_0	θ_A	$\Delta\theta$
1.01	16.47088438	0.747819923	0.261213974	-0.075399282
1.1	9.026834757	1.494142893	0.862772963	-0.594924935
1.2	6.18370246	1.540912262	1.280276372	-1.023339216
1.3	5.279829755	1.523804433	1.668513757	-1.327967181
1.4	5.340612352	1.540769614	2.069538113	-1.555459424
1.5	5.785938002	1.829440239	2.41712406	-1.597141909
1.6	5.025712782	2.309632629	2.553174149	-1.403330717
1.7	3.74304785	2.651120805	2.576269415	-1.167508005
1.8	2.557410799	2.866590903	2.553453315	-0.934399109
1.9	1.56504559	3.00470023	2.499423119	-0.699227194
2	0.741060324	3.100572909	2.411457951	-0.446812461
2.1	0.032634096	3.183715712	2.272280398	-0.149588985
2.2	-0.205358782	3.106369808	2.338198033	-0.138016266
2.3	-0.388654498	3.025444618	2.400479598	-0.127545195
2.4	-0.529170269	2.942564529	2.459782227	-0.118075477
2.5	-0.636109249	2.858893954	2.516609772	-0.109506576
2.6	-0.716604367	2.775264818	2.571354798	-0.101743488
2.7	-0.776210208	2.692268401	2.624327585	-0.094699225
2.8	-0.819270683	2.610320169	2.67577717	-0.088295524
2.9	-0.849199218	2.529707347	2.725905228	-0.082462728
3	-0.868689859	2.450623103	2.774876867	-0.07713919

ตารางที่ จ.4 ความสัมพันธ์ระหว่าง $\bar{s}_t, \bar{P}, M_0, \theta_A, \Delta\theta$ โดยพิจารณาค่าคงที่ $\alpha=0.25, \beta_1=10,$
 $\beta_2=0$

\bar{s}_t	\bar{P}	M_0	θ_A	$\Delta\theta$
1.01	16.47088438	0.747819923	0.261213974	-0.075399282
1.1	8.769169738	1.458886796	0.862856437	-0.616942314
1.2	5.863202307	1.478152452	1.28050832	-1.065846334
1.3	4.937044769	1.428972785	1.673107819	-1.394699722
1.4	5.05043642	1.390799023	2.092855426	-1.663508657
1.5	5.953379949	1.645713731	2.492662099	-1.754532046
1.6	5.348411002	2.196910208	2.637163426	-1.539520668
1.7	4.004055279	2.57398736	2.653948671	-1.284471172
1.8	2.757246429	2.807242328	2.624646002	-1.037283083
1.9	1.712625869	2.957797986	2.562207496	-0.78716915
2	0.83495901	3.067506635	2.458952477	-0.511493213
2.1	0.032634096	3.183715712	2.272280398	-0.149588985
2.2	-0.205358782	3.106369808	2.338198033	-0.138016266
2.3	-0.388654498	3.025444618	2.400479598	-0.127545195
2.4	-0.529170269	2.942564529	2.459782227	-0.118075477
2.5	-0.636109249	2.858893954	2.516609772	-0.109506576
2.6	-0.716604367	2.775264818	2.571354798	-0.101743488
2.7	-0.776210208	2.692268401	2.624327585	-0.094699225
2.8	-0.819270683	2.610320169	2.67577717	-0.088295524
2.9	-0.849199218	2.529707347	2.725905228	-0.082462728
3	-0.868689859	2.450623103	2.774876867	-0.07713919

ตารางที่ จ.5 ความสัมพันธ์ระหว่าง $\bar{s}_t, \bar{P}, M_0, \theta_A, \Delta\theta$ โดยพิจารณาค่าคงที่ $\alpha=0.50, \beta_1=10, \beta_2=10$

\bar{s}_t	\bar{P}	M_0	θ_A	$\Delta\theta$
1.01	17.11527146	0.88708352	0.229203335	-0.064824911
1.1	12.02581858	2.405007855	0.711865367	-0.199607915
1.2	8.453393522	2.921414448	0.996411385	-0.267431514
1.3	6.136938915	3.12629544	1.21558407	-0.306237928
1.4	4.561510687	3.200984514	1.403135302	-0.327905933
1.5	3.440846494	3.21446896	1.570413823	-0.337764186
1.6	2.607452349	3.198573711	1.721741013	-0.338887036
1.7	1.960601054	3.168634302	1.858667306	-0.333401013
1.8	1.439873728	3.131497782	1.981823439	-0.323031036
1.9	1.010011971	3.089548659	2.091881746	-0.309299592
2	0.650899415	3.043160725	2.189939089	-0.293536266
2.1	0.350596462	2.992176009	2.277484493	-0.276822866
2.2	0.1009507	2.936607254	2.35617428	-0.259962126
2.3	-0.104669645	2.876812185	2.427609271	-0.24349567
2.4	-0.272254671	2.813414866	2.493200188	-0.227754282
2.5	-0.407342019	2.747164455	2.554120107	-0.212915741
2.6	-0.51497881	2.678820795	2.61131121	-0.199055059
2.7	-0.599652296	2.609083704	2.665515864	-0.186182366
2.8	-0.665262398	2.538560024	2.717313517	-0.174269162
2.9	-0.71513961	2.467755419	2.767155261	-0.163265588
3	-0.752089909	2.397078878	2.815392432	-0.153111379

ตารางที่ จ.6 ความสัมพันธ์ระหว่าง $\bar{s}_t, \bar{P}, M_0, \theta_A, \Delta\theta$ โดยพิจารณาค่าคงที่ $\alpha=0.50, \beta_1=10,$
 $\beta_2=1$

\bar{s}_t	\bar{P}	M_0	θ_A	$\Delta\theta$
1.01	17.11527146	0.88708352	0.229203335	-0.064824911
1.1	10.31396397	2.310677706	0.663789307	-0.360733033
1.2	6.253175434	2.62148899	0.899949284	-0.629619218
1.3	4.299175585	2.658338686	1.106671615	-0.794267552
1.4	3.223167057	2.596352754	1.304169886	-0.908181531
1.5	2.608599142	2.497407767	1.500285147	-0.990569771
1.6	2.265601833	2.391153897	1.698675295	-1.049611442
1.7	2.092031999	2.297381217	1.900074288	-1.087433566
1.8	2.014802086	2.235334601	2.100753371	-1.100973542
1.9	1.94989096	2.224834243	2.28902049	-1.082780057
2	1.79638093	2.271454663	2.446208477	-1.027776911
2.1	1.5105679	2.34984479	2.561304149	-0.943771913
2.2	1.143794643	2.425346227	2.639889134	-0.84644619
2.3	0.766850427	2.480277179	2.693503916	-0.747063391
2.4	0.42131308	2.511666937	2.731176592	-0.650701927
2.5	0.122743589	2.522314519	2.758590467	-0.559081902
2.6	-0.126942224	2.516235003	2.779218623	-0.472530553
2.7	-0.331593243	2.497134728	2.795244498	-0.390861405
2.8	-0.496960841	2.468055996	2.808100999	-0.313726729
2.9	-0.62899319	2.431392535	2.81876996	-0.240753628
3	-0.7331521	2.388998367	2.827950896	-0.171593615

ตารางที่ จ.7 ความสัมพันธ์ระหว่าง $\bar{s}_t, \bar{P}, M_0, \theta_A, \Delta\theta$ โดยพิจารณาค่าคงที่ $\alpha=0.50, \beta_1=10, \beta_2=0.1$

\bar{s}_t	\bar{P}	M_0	θ_A	$\Delta\theta$
1.01	17.11527146	0.88708352	0.229203335	-0.064824911
1.1	9.339805859	2.250180483	0.636064576	-0.450607179
1.2	5.051744144	2.461059106	0.847527964	-0.813190626
1.3	3.192062343	2.425190986	1.043182086	-1.042149783
1.4	2.239858561	2.30096559	1.236383826	-1.21223012
1.5	1.740961637	2.140959598	1.434315995	-1.349691086
1.6	1.509667818	1.96696668	1.64265611	-1.467480344
1.7	1.469901034	1.790033103	1.86756134	-1.57274201
1.8	1.613377453	1.620705845	2.116968887	-1.668025837
1.9	2.001961744	1.48857259	2.398809602	-1.74422154
2	2.625965331	1.509731743	2.684632347	-1.74246949
2.1	2.743578794	1.751357135	2.856695692	-1.600211704
2.2	2.290602223	1.98564783	2.93052276	-1.419340862
2.3	1.720073779	2.147401883	2.964638032	-1.247687657
2.4	1.186801025	2.25219478	2.979104666	-1.087847885
2.5	0.725061853	2.317321489	2.980931397	-0.936671806
2.6	0.335193718	2.355137379	2.972937648	-0.790886626
2.7	0.008243214	2.374269045	2.956173234	-0.647562781
2.8	-0.266617909	2.38096216	2.930660905	-0.503894108
2.9	-0.499918403	2.380050898	2.895544552	-0.356817871
3	-0.701596976	2.375732282	2.848840242	-0.20239736

ตารางที่ จ.8 ความสัมพันธ์ระหว่าง $\bar{s}_t, \bar{P}, M_0, \theta_A, \Delta\theta$ โดยพิจารณาค่าคงที่ $\alpha=0.50, \beta_1=10, \beta_2=0$

\bar{s}_t	\bar{P}	M_0	θ_A	$\Delta\theta$
1.01	17.11527146	0.88708352	0.229203335	-0.064824911
1.1	6.724874162	2.072421414	0.563182081	-0.679211604
1.2	3.443146907	2.255816165	0.780325299	-1.039350221
1.3	1.986038847	2.203269972	0.977802746	-1.280731263
1.4	1.248470817	2.064144921	1.172286902	-1.467702905
1.5	0.87179412	1.887862126	1.372036546	-1.625285201
1.6	0.705508046	1.693216064	1.583835367	-1.767063873
1.7	0.688838533	1.486306393	1.815927242	-1.902511093
1.8	0.82591344	1.266275042	2.081864086	-2.040430466
1.9	1.258567268	1.028881906	2.411484249	-2.191603202
2	3.062012913	0.889319861	2.873729585	-2.319216221
2.1	4.149214857	1.407859942	3.096065902	-2.090641828
2.2	3.491106264	1.756626882	3.164631143	-1.876727014
2.3	2.746221833	1.961376022	3.205610825	-1.7044065
2.4	2.092926658	2.084251995	3.234139417	-1.556698702
2.5	1.547661038	2.155749827	3.254860692	-1.424915403
2.6	1.098919811	2.193030495	3.269808528	-1.304031263
2.7	0.730859191	2.206693299	3.280021439	-1.190797328
2.8	0.428741323	2.203704714	3.286054804	-1.082923872
2.9	0.180087482	2.188853231	3.288183558	-0.978675061
3	-0.025336021	2.165548085	3.28649067	-0.876641772

ตารางที่ จ.9 ความสัมพันธ์ระหว่าง $\bar{s}_t, \bar{P}, M_0, \theta_A, \Delta\theta$ โดยพิจารณาค่าคงที่ $\alpha=0.75, \beta_1=10, \beta_2=10$

\bar{s}_t	\bar{P}	M_0	θ_A	$\Delta\theta$
1.01	19.38170329	0.826575936	0.24914806	0.016571597
1.1	13.98362235	2.550872172	0.765120286	-0.021168051
1.2	9.16688313	3.30576706	1.036656228	-0.103194409
1.3	5.943016321	3.606946029	1.220102976	-0.173763709
1.4	3.872981898	3.686980292	1.364704628	-0.226905116
1.5	2.536801659	3.656193401	1.490419574	-0.265240292
1.6	1.660853429	3.569890105	1.606686372	-0.292061297
1.7	1.076556131	3.457523891	1.718117712	-0.310014898
1.8	0.67925118	3.335558536	1.826795285	-0.32104444
1.9	0.402589028	3.213447146	1.933357221	-0.326542999
2	0.203588085	3.096589764	2.037575835	-0.327517891
2.1	0.053974225	2.987854257	2.138714291	-0.324731849
2.2	-0.064833549	2.888380056	2.235801657	-0.318816011
2.3	-0.164665145	2.798051819	2.327883158	-0.310350202
2.4	-0.252468775	2.715870628	2.414238009	-0.299904087
2.5	-0.331726123	2.640326088	2.494520147	-0.288038713
2.6	-0.403685632	2.569760661	2.568786838	-0.275280637
2.7	-0.46842002	2.502660032	2.637426494	-0.26208938
2.8	-0.525605001	2.437817723	2.701034653	-0.248835586
2.9	-0.574981522	2.374378668	2.760291696	-0.235796042
3	-0.616547406	2.311801707	2.815872071	-0.223162306

ตารางที่ จ.10 ความสัมพันธ์ระหว่าง $\bar{s}_t, \bar{P}, M_0, \theta_A, \Delta\theta$ โดยพิจารณาค่าคงที่ $\alpha=0.75, \beta_1=10, \beta_2=1$

\bar{s}_t	\bar{P}	M_0	θ_A	$\Delta\theta$
1.01	19.38170329	0.826575936	0.24914806	0.016571597
1.1	13.98362235	2.550872172	0.765120286	-0.021168051
1.2	9.16688313	3.30576706	1.036656228	-0.103194409
1.3	5.097127146	3.732271492	1.177356563	-0.307005606
1.4	2.239412887	3.839735166	1.233040877	-0.586461355
1.5	0.975914161	3.69290858	1.308334563	-0.750593375
1.6	0.393303581	3.471302459	1.402039638	-0.85596714
1.7	0.131830966	3.234349732	1.510351167	-0.927595394
1.8	0.034454344	3.00368492	1.630520943	-0.978001394
1.9	0.027195959	2.7875383	1.760897321	-1.013821487
2	0.073148587	2.589460817	1.900460503	-1.03849547
2.1	0.152699971	2.412054694	2.048278422	-1.053350884
2.2	0.253253299	2.259100263	2.202723547	-1.057881672
2.3	0.36120156	2.137027659	2.360126416	-1.049621428
2.4	0.453324048	2.05456488	2.512948261	-1.024398859
2.5	0.494480654	2.016905218	2.649808489	-0.978778351
2.6	0.458025035	2.016186115	2.761254254	-0.914538419
2.7	0.351166678	2.033533026	2.846260392	-0.838866561
2.8	0.204266073	2.052326972	2.910132339	-0.759150195
2.9	0.04584012	2.064096207	2.959019387	-0.679935559
3	-0.106507907	2.066248405	2.997593913	-0.603331725

ตารางที่ จ.11 ความสัมพันธ์ระหว่าง $\bar{s}_t, \bar{P}, M_0, \theta_A, \Delta\theta$ โดยพิจารณาค่าคงที่ $\alpha=0.75, \beta_1=10, \beta_2=0.1$

\bar{s}_t	\bar{P}	M_0	θ_A	$\Delta\theta$
1.01	19.38170329	0.826575936	0.24914806	0.016571597
1.1	13.98362235	2.550872172	0.765120286	-0.021168051
1.2	8.521641891	3.436671928	1.01621121	-0.183696308
1.3	1.472507123	4.198133436	0.914704617	-0.974805587
1.4	-0.213318027	3.957786823	0.945852998	-1.259928446
1.5	-0.747553456	3.606613254	1.028448729	-1.421966358
1.6	-0.889060356	3.258600783	1.134829192	-1.533984582
1.7	-0.871874655	2.934672398	1.256035811	-1.620621715
1.8	-0.785027224	2.63640737	1.389262277	-1.69293374
1.9	-0.664997277	2.360467035	1.534250944	-1.756951604
2	-0.525416012	2.102228078	1.692296396	-1.816516738
2.1	-0.367298169	1.856704177	1.866219467	-1.874472606
2.2	-0.180228555	1.618632665	2.061073119	-1.933274144
2.3	0.067098112	1.382568956	2.286119484	-1.995206306
2.4	0.473197022	1.147025858	2.559793318	-2.06047391
2.5	1.396329526	0.986437926	2.901003285	-2.09262328
2.6	2.19488937	1.187945812	3.12373357	-1.946667266
2.7	2.060725314	1.419335039	3.214824413	-1.770781977
2.8	1.716458017	1.573595835	3.271246527	-1.620653443
2.9	1.359465976	1.672974881	3.313062228	-1.490054936
3	1.035578553	1.734899014	3.346430554	-1.373283954

ตารางที่ จ.12 ความสัมพันธ์ระหว่าง $\bar{s}_t, \bar{P}, M_0, \theta_A, \Delta\theta$ โดยพิจารณาค่าคงที่ $\alpha=0.75, \beta_1=10, \beta_2=0$

\bar{s}_t	\bar{P}	M_0	θ_A	$\Delta\theta$
1.01	19.38170329	0.826575936	0.24914806	0.016571597
1.1	13.98362235	2.550872172	0.765120286	-0.021168051
1.2	9.16688313	3.30576706	1.036656228	-0.103194409
1.3	3.805301294	3.914929372	1.100638393	-0.52442843
1.4	0.745530916	3.93994677	1.074417306	-0.971518296
1.5	-0.192811499	3.660231251	1.128690905	-1.187099327
1.6	-0.507726754	3.340069838	1.219357523	-1.322259079
1.7	-0.58037641	3.02996525	1.330750753	-1.419709917
1.8	-0.544767466	2.740238137	1.457091257	-1.496691984
1.9	-0.454898987	2.470964399	1.596601491	-1.561762583
2	-0.332351896	2.219340216	1.749600932	-1.619838539
2.1	-0.182143961	1.981897397	1.918018886	-1.674051665
2.2	0.003546972	1.755504807	2.105623764	-1.726396027
2.3	0.251034513	1.539212007	2.318817648	-1.777253686
2.4	0.627343825	1.343658291	2.566618263	-1.820664957
2.5	1.226617269	1.244967339	2.838083432	-1.815645038
2.6	1.615986144	1.369256312	3.02572067	-1.687951304
2.7	1.490002729	1.546112672	3.115083651	-1.516697569
2.8	1.18787746	1.678914868	3.164939209	-1.355198749
2.9	0.863815022	1.769543058	3.196270098	-1.206702274
3	0.563041025	1.828936694	3.216251446	-1.068182911

ตารางที่ จ.13 ความสัมพันธ์ระหว่าง $\bar{s}_t, \bar{P}, M_0, \theta_A, \Delta\theta$ โดยพิจารณาค่าคงที่ $\alpha = 0.25, \beta_1 = 100,$
 $\beta_2 = 100$

\bar{s}_t	\bar{P}	M_0	θ_A	$\Delta\theta$
1.01	19.15607217	0.871490405	0.250531559	-0.008108588
1.1	14.00354892	2.458004979	0.774853833	-0.021668089
1.2	9.969725733	3.090273997	1.07076336	-0.025503959
1.3	7.117621586	3.392354636	1.283438941	-0.026135649
1.4	5.062428327	3.535179491	1.452576049	-0.025411497
1.5	3.558795945	3.588013843	1.594122664	-0.024086218
1.6	2.445087666	3.586241109	1.716487096	-0.022524003
1.7	1.611960753	3.550108087	1.824749699	-0.020909936
1.8	0.983811035	3.492005119	1.922242604	-0.019338104
1.9	0.507382457	3.419853639	2.011275447	-0.017854153
2	0.144552995	3.338871667	2.093514854	-0.016477453
2.1	-0.132359291	3.252569468	2.17020149	-0.015213118
2.2	-0.343710255	3.163341682	2.242282232	-0.014058699
2.3	-0.504642285	3.072836545	2.310494914	-0.013007937
2.4	-0.626535246	2.982192323	2.375424406	-0.012052882
2.5	-0.718023677	2.892194086	2.437541512	-0.011185078
2.6	-0.785713457	2.80337859	2.497229824	-0.010396201
2.7	-0.834699194	2.716107109	2.554805036	-0.009678396
2.8	-0.86893681	2.630615506	2.610530007	-0.009024424
2.9	-0.891517709	2.547050002	2.664624672	-0.008427721
3	-0.904871661	2.465492593	2.717274458	-0.007882381

ตารางที่ จ.14 ความสัมพันธ์ระหว่าง $\bar{s}_t, \bar{P}, M_0, \theta_A, \Delta\theta$ โดยพิจารณาค่าคงที่ $\alpha = 0.25, \beta_1 = 100,$
 $\beta_2 = 10$

\bar{s}_t	\bar{P}	M_0	θ_A	$\Delta\theta$
1.01	19.15607217	0.871490405	0.250531559	-0.008108588
1.1	13.59931921	2.358159629	0.791922392	-0.080120758
1.2	9.797976263	2.946231271	1.106576975	-0.119337128
1.3	7.137200882	3.255251706	1.330014614	-0.126669796
1.4	5.166859309	3.421678487	1.502763657	-0.119732988
1.5	3.681935854	3.500898284	1.642512027	-0.106328557
1.6	2.555334202	3.522891227	1.759527621	-0.090420749
1.7	1.697814222	3.506333012	1.860385876	-0.074040043
1.8	1.04371529	3.46363821	1.949464473	-0.058189845
1.9	0.544016133	3.40330637	2.029747999	-0.043327745
2	0.161962679	3.331242489	2.103314877	-0.029624803
2.1	-0.130069282	3.251584876	2.171643514	-0.017104923
2.2	-0.343710255	3.163341682	2.242282232	-0.014058699
2.3	-0.504642285	3.072836545	2.310494914	-0.013007937
2.4	-0.626535246	2.982192323	2.375424406	-0.012052882
2.5	-0.718023677	2.892194086	2.437541512	-0.011185078
2.6	-0.785713457	2.80337859	2.497229824	-0.010396201
2.7	-0.834699194	2.716107109	2.554805036	-0.009678396
2.8	-0.86893681	2.630615506	2.610530007	-0.009024424
2.9	-0.891517709	2.547050002	2.664624672	-0.008427721
3	-0.904871661	2.465492593	2.717274458	-0.007882381

ตารางที่ จ.15 ความสัมพันธ์ระหว่าง $\bar{s}_t, \bar{P}, M_0, \theta_A, \Delta\theta$ โดยพิจารณาค่าคงที่ $\alpha = 0.25, \beta_1 = 100,$
 $\beta_2 = 1$

\bar{s}_t	\bar{P}	M_0	θ_A	$\Delta\theta$
1.01	19.15607217	0.871490405	0.250531559	-0.008108588
1.1	11.09776026	1.824425683	0.851209391	-0.394207723
1.2	8.199987652	2.083700581	1.249738413	-0.670104514
1.3	6.822535051	2.29144792	1.573439641	-0.80333924
1.4	5.789357877	2.530356212	1.828902668	-0.826309652
1.5	4.677221714	2.788378129	1.99934169	-0.758475513
1.6	3.511631756	3.002776751	2.096707919	-0.642506273
1.7	2.451665448	3.147490162	2.148448281	-0.512353136
1.8	1.568681319	3.229992377	2.17428113	-0.382898155
1.9	0.864121387	3.265251118	2.185208604	-0.259216
2	0.314033843	3.266326509	2.187331405	-0.142736823
2.1	-0.110014988	3.242997488	2.184238981	-0.033637642
2.2	-0.343710255	3.163341682	2.242282232	-0.014058699
2.3	-0.504642285	3.072836545	2.310494914	-0.013007937
2.4	-0.626535246	2.982192323	2.375424406	-0.012052882
2.5	-0.718023677	2.892194086	2.437541512	-0.011185078
2.6	-0.785713457	2.80337859	2.497229824	-0.010396201
2.7	-0.834699194	2.716107109	2.554805036	-0.009678396
2.8	-0.86893681	2.630615506	2.610530007	-0.009024424
2.9	-0.891517709	2.547050002	2.664624672	-0.008427721
3	-0.904871661	2.465492593	2.717274458	-0.007882381

ตารางที่ จ.16 ความสัมพันธ์ระหว่าง $\bar{s}_t, \bar{P}, M_0, \theta_A, \Delta\theta$ โดยพิจารณาค่าคงที่ $\alpha = 0.25, \beta_1 = 100,$
 $\beta_2 = 0$

\bar{s}_t	\bar{P}	M_0	θ_A	$\Delta\theta$
1.01	19.15607217	0.871490405	0.250531559	-0.008108588
1.1	8.769169738	1.458886796	0.862856437	-0.616942314
1.2	5.863202307	1.478152452	1.28050832	-1.065846334
1.3	4.937044769	1.428972785	1.673107819	-1.394699722
1.4	5.05043642	1.390799023	2.092855426	-1.663508657
1.5	5.953379949	1.645713731	2.492662099	-1.754532046
1.6	5.348411002	2.196910208	2.637163426	-1.539520668
1.7	4.004055279	2.57398736	2.653948671	-1.284471172
1.8	2.757246429	2.807242328	2.624646002	-1.037283083
1.9	1.712625869	2.957797986	2.562207496	-0.78716915
2	0.83495901	3.067506635	2.458952477	-0.511493213
2.1	0.010732847	3.192612557	2.258926947	-0.131962486
2.2	-0.343710255	3.163341682	2.242282232	-0.014058699
2.3	-0.504642285	3.072836545	2.310494914	-0.013007937
2.4	-0.626535246	2.982192323	2.375424406	-0.012052882
2.5	-0.718023677	2.892194086	2.437541512	-0.011185078
2.6	-0.785713457	2.80337859	2.497229824	-0.010396201
2.7	-0.834699194	2.716107109	2.554805036	-0.009678396
2.8	-0.86893681	2.630615506	2.610530007	-0.009024424
2.9	-0.891517709	2.547050002	2.664624672	-0.008427721
3	-0.904871661	2.465492593	2.717274458	-0.007882381

ตารางที่ จ.17 ความสัมพันธ์ระหว่าง $\bar{s}_t, \bar{P}, M_0, \theta_A, \Delta\theta$ โดยพิจารณาค่าคงที่ $\alpha=0.50, \beta_1=100,$
 $\beta_2=100$

\bar{s}_t	\bar{P}	M_0	θ_A	$\Delta\theta$
1.01	19.21456811	0.887658163	0.246638081	-0.007144823
1.1	13.9079987	2.486412848	0.761878255	-0.022518532
1.2	9.836987866	3.10612497	1.053490505	-0.030402216
1.3	7.006893484	3.393219859	1.265168588	-0.034669722
1.4	4.990777015	3.523931412	1.435549842	-0.036712215
1.5	3.52463788	3.568620944	1.579658256	-0.037271192
1.6	2.440148258	3.562306895	1.705158055	-0.036835129
1.7	1.626970202	3.524404549	1.816607147	-0.035748828
1.8	1.010847033	3.466437876	1.917022607	-0.034259937
1.9	0.540516803	3.395601753	2.008560701	-0.032545047
2	0.1797336	3.316573642	2.092843995	-0.030727536
2.1	-0.097689166	3.232493927	2.171133274	-0.028891143
2.2	-0.311027911	3.145523472	2.24442734	-0.027090622
2.3	-0.474694751	3.057174045	2.313526902	-0.025360003
2.4	-0.599602559	2.968512938	2.379079047	-0.023718851
2.5	-0.694103525	2.880295732	2.441610178	-0.022176878
2.6	-0.764646377	2.793055038	2.501551165	-0.020737251
2.7	-0.816245835	2.707161413	2.559256528	-0.019398934
2.8	-0.852828001	2.622867362	2.615019798	-0.018158293
2.9	-0.877482667	2.540338325	2.669085151	-0.017010196
3	-0.892653745	2.459675821	2.721656699	-0.015948745

ตารางที่ จ.18 ความสัมพันธ์ระหว่าง $\bar{s}_t, \bar{P}, M_0, \theta_A, \Delta\theta$ โดยพิจารณาค่าคงที่ $\alpha = 0.50, \beta_1 = 100,$
 $\beta_2 = 10$

\bar{s}_t	\bar{P}	M_0	θ_A	$\Delta\theta$
1.01	19.21456811	0.887658163	0.246638081	-0.007144823
1.1	13.26910731	2.461684092	0.745372321	-0.082248426
1.2	9.133281884	3.013042852	1.025049288	-0.151265229
1.3	6.521946267	3.240284415	1.2379461	-0.189591728
1.4	4.753887727	3.330415046	1.417769834	-0.209831729
1.5	3.495327921	3.354394408	1.575891583	-0.217740198
1.6	2.559533603	3.344632427	1.716869271	-0.216740095
1.7	1.837325562	3.316610255	1.84275273	-0.209256855
1.8	1.264090127	3.277462023	1.954847028	-0.197229346
1.9	0.801329712	3.23025014	2.054477783	-0.182273938
2	0.4253099	3.176324598	2.143194134	-0.165701192
2.1	0.120130407	3.116537583	2.222676324	-0.148506479
2.2	-0.126099571	3.051729312	2.294563364	-0.131389027
2.3	-0.323086977	2.98282455	2.360322779	-0.11480117
2.4	-0.479094513	2.910778193	2.421192006	-0.099009104
2.5	-0.601218286	2.836500042	2.478174871	-0.084149025
2.6	-0.695508892	2.760802097	2.532066946	-0.070271618
2.7	-0.76706565	2.684374569	2.5834907	-0.057374145
2.8	-0.820139591	2.607783407	2.632930455	-0.045422297
2.9	-0.858243653	2.531479849	2.68076264	-0.034364485
3	-0.884260755	2.455814909	2.727280107	-0.024140922

ตารางที่ จ.19 ความสัมพันธ์ระหว่าง $\bar{s}_t, \bar{P}, M_0, \theta_A, \Delta\theta$ โดยพิจารณาค่าคงที่ $\alpha=0.50, \beta_1=100,$
 $\beta_2=1$

\bar{s}_t	\bar{P}	M_0	θ_A	$\Delta\theta$
1.01	19.21456811	0.887658163	0.246638081	-0.007144823
1.1	10.81508451	2.340026638	0.678003677	-0.313856416
1.2	6.526538428	2.658559799	0.912014746	-0.586253618
1.3	4.480263036	2.69958562	1.117304057	-0.750718527
1.4	3.351644754	2.641369474	1.313345392	-0.86314162
1.5	2.701062422	2.546685893	1.50761137	-0.943108928
1.6	2.328456118	2.445762465	1.703332343	-0.998768259
1.7	2.124520861	2.35877138	1.900605529	-1.032064455
1.8	2.009465713	2.304545874	2.094876237	-1.039902255
1.9	1.896744448	2.300213691	2.274225284	-1.015696221
2	1.697180097	2.347034672	2.421945011	-0.956355769
2.1	1.384050995	2.419808316	2.529724132	-0.870384087
2.2	1.00876232	2.488158091	2.60335658	-0.772132752
2.3	0.633329131	2.536949316	2.653300393	-0.671769358
2.4	0.29322291	2.563653834	2.687815488	-0.574044409
2.5	0.001217689	2.570826578	2.712232619	-0.480676785
2.6	-0.241872329	2.562164198	2.729883034	-0.392067859
2.7	-0.440286884	2.541118357	2.742898034	-0.308106273
2.8	-0.599884911	2.510547704	2.752695873	-0.22850584
2.9	-0.726611382	2.472715815	2.760259706	-0.152942185
3	-0.825886115	2.42938402	2.766297401	-0.081105496

ตารางที่ จ.20 ความสัมพันธ์ระหว่าง $\bar{s}_t, \bar{P}, M_0, \theta_A, \Delta\theta$ โดยพิจารณาค่าคงที่ $\alpha = 0.50, \beta_1 = 100,$
 $\beta_2 = 0$

\bar{s}_t	\bar{P}	M_0	θ_A	$\Delta\theta$
1.01	19.21456811	0.887658163	0.246638081	-0.007144823
1.1	9.183291229	2.240089671	0.631616117	-0.464854546
1.2	4.86215407	2.436225469	0.839396793	-0.841045093
1.3	3.011953706	2.390085403	1.033147132	-1.07972005
1.4	2.071363666	2.257176129	1.225194887	-1.258640332
1.5	1.580642925	2.088681044	1.422573767	-1.405043487
1.6	1.353222235	1.905163176	1.631134924	-1.532631368
1.7	1.313740435	1.715891157	1.857656775	-1.649597377
1.8	1.459061414	1.527805349	2.111944605	-1.760609436
1.9	1.886317049	1.362635536	2.408555719	-1.861448245
2	2.755011415	1.355389115	2.731971143	-1.886313869
2.1	3.030902333	1.65027699	2.915943928	-1.723891036
2.2	2.535197356	1.919722343	2.984825431	-1.523819446
2.3	1.914748856	2.097972941	3.01494181	-1.340476856
2.4	1.342551118	2.212007413	3.026293143	-1.17184934
2.5	0.850299965	2.283291052	3.025119929	-1.012733579
2.6	0.435266247	2.325958353	3.013658258	-0.858745998
2.7	0.086197638	2.349622339	2.992401428	-0.706075337
2.8	-0.209608277	2.361298361	2.960657832	-0.550894188
2.9	-0.464635316	2.366722005	2.916410935	-0.388557338
3	-0.691730009	2.371635905	2.855362891	-0.212031914

ตารางที่ จ.21 ความสัมพันธ์ระหว่าง $\bar{s}_t, \bar{P}, M_0, \theta_A, \Delta\theta$ โดยพิจารณาค่าคงที่ $\alpha=0.75, \beta_1=100,$
 $\beta_2=100$

\bar{s}_t	\bar{P}	M_0	θ_A	$\Delta\theta$
1.01	19.46416307	0.880327774	0.248766492	0.001740232
1.1	14.13389139	2.500650658	0.767716379	-0.002134813
1.2	9.926701104	3.147660851	1.058120528	-0.010519009
1.3	6.985989037	3.447298784	1.265824318	-0.018145427
1.4	4.905213638	3.579399986	1.431191116	-0.024210294
1.5	3.41127176	3.618687258	1.570460181	-0.028746577
1.6	2.323839852	3.60337502	1.692067709	-0.031959182
1.7	1.522529377	3.55512667	1.800951919	-0.034067259
1.8	0.925551232	3.486989666	1.900191873	-0.035270191
1.9	0.476455118	3.407095052	1.991785028	-0.035743292
2	0.135780943	3.320589261	2.077075604	-0.035639397
2.1	-0.124353815	3.230739182	2.157011511	-0.035090763
2.2	-0.32385538	3.139607878	2.232302505	-0.034210452
2.3	-0.477099614	3.04848667	2.303515534	-0.033093421
2.4	-0.594604224	2.958175094	2.371128968	-0.031817695
2.5	-0.684181964	2.869163693	2.435561423	-0.030445807
2.6	-0.75172633	2.78174947	2.497185345	-0.029026551
2.7	-0.80175479	2.696109296	2.556333371	-0.027596918
2.8	-0.837779025	2.612344195	2.613301146	-0.026184092
2.9	-0.862564275	2.530506873	2.66834957	-0.024807332
3	-0.878309651	2.450617928	2.72170679	-0.023479671

ตารางที่ จ.22 ความสัมพันธ์ระหว่าง $\bar{s}_t, \bar{P}, M_0, \theta_A, \Delta\theta$ โดยพิจารณาค่าคงที่ $\alpha=0.75, \beta_1=100,$
 $\beta_2=10$

\bar{s}_t	\bar{P}	M_0	θ_A	$\Delta\theta$
1.01	19.46416307	0.880327774	0.248766492	0.001740232
1.1	14.13389139	2.500650658	0.767716379	-0.002134813
1.2	9.926701104	3.147660851	1.058120528	-0.010519009
1.3	6.799830292	3.476184984	1.258189878	-0.04525939
1.4	4.500812023	3.622278869	1.406483325	-0.101629355
1.5	2.981690173	3.638055405	1.53283175	-0.142212586
1.6	1.964442734	3.586140909	1.647434543	-0.170396413
1.7	1.270457229	3.500141498	1.755343912	-0.188965604
1.8	0.786477252	3.398929667	1.858901006	-0.199999123
1.9	0.439901019	3.293340605	1.958917503	-0.205025827
2	0.18361372	3.189500638	2.055335677	-0.205195361
2.1	-0.013092486	3.090589118	2.147654044	-0.201419815
2.2	-0.17000848	2.997849012	2.235239858	-0.194476984
2.3	-0.299489552	2.911254505	2.317565605	-0.185071763
2.4	-0.408854574	2.830026256	2.394361069	-0.173857577
2.5	-0.502182198	2.753052915	2.465667112	-0.161428678
2.6	-0.581677109	2.679207885	2.531801405	-0.148300642
2.7	-0.648627546	2.607539941	2.593271263	-0.134894955
2.8	-0.703992909	2.537349251	2.650676193	-0.121535333
2.9	-0.74869246	2.468181865	2.704627928	-0.108455367
3	-0.783703751	2.39978406	2.755698531	-0.095812888

ตารางที่ จ.23 ความสัมพันธ์ระหว่าง $\bar{s}_t, \bar{P}, M_0, \theta_A, \Delta\theta$ โดยพิจารณาค่าคงที่ $\alpha=0.75, \beta_1=100,$
 $\beta_2=1$

\bar{s}_t	\bar{P}	M_0	θ_A	$\Delta\theta$
1.01	19.46416307	0.880327774	0.248766492	0.001740232
1.1	14.13389139	2.500650658	0.767716379	-0.002134813
1.2	9.926701104	3.147660851	1.058120528	-0.010519009
1.3	5.620166393	3.655244697	1.204423225	-0.223837112
1.4	2.526595067	3.815091542	1.258921349	-0.519266644
1.5	1.153327326	3.691895637	1.332034497	-0.690502317
1.6	0.510636188	3.483550453	1.423536392	-0.799455546
1.7	0.212861567	3.255172307	1.529797283	-0.872733219
1.8	0.091542283	3.030873075	1.647977951	-0.923551626
1.9	0.066909535	2.820165443	1.776245951	-0.958867627
2	0.098610977	2.627379057	1.913339367	-0.982246175
2.1	0.164449121	2.455652525	2.057998567	-0.99502645
2.2	0.249317458	2.309073333	2.208157589	-0.996675591
2.3	0.33706259	2.193841049	2.359680826	-0.984823716
2.4	0.403499245	2.117260312	2.504985228	-0.955835635
2.5	0.417707137	2.082023226	2.633811129	-0.907331679
2.6	0.361242076	2.079244593	2.738516908	-0.841725004
2.7	0.244831042	2.091917013	2.818758365	-0.765689254
2.8	0.096156325	2.105666766	2.87929462	-0.685807091
2.9	-0.059960464	2.113056322	2.92558556	-0.606213268
3	-0.208276122	2.111689532	2.96188316	-0.528918867

ตารางที่ จ.24 ความสัมพันธ์ระหว่าง $\bar{s}_t, \bar{P}, M_0, \theta_A, \Delta\theta$ โดยพิจารณาค่าคงที่ $\alpha=0.75, \beta_1=100,$
 $\beta_2=0$

\bar{s}_t	\bar{P}	M_0	θ_A	$\Delta\theta$
1.01	19.46416307	0.880327774	0.248766492	0.001740232
1.1	14.13389139	2.500650658	0.767716379	-0.002134813
1.2	9.926701104	3.147660851	1.058120528	-0.010519009
1.3	3.805301294	3.914929372	1.100638393	-0.52442843
1.4	0.745530916	3.93994677	1.074417306	-0.971518296
1.5	-0.192811499	3.660231251	1.128690905	-1.187099327
1.6	-0.507726754	3.340069838	1.219357523	-1.322259079
1.7	-0.58037641	3.02996525	1.330750753	-1.419709917
1.8	-0.544767466	2.740238137	1.457091257	-1.496691984
1.9	-0.454898987	2.470964399	1.596601491	-1.561762583
2	-0.332351896	2.219340216	1.749600932	-1.619838539
2.1	-0.182143961	1.981897397	1.918018886	-1.674051665
2.2	0.003546972	1.755504807	2.105623764	-1.726396027
2.3	0.251034513	1.539212007	2.318817648	-1.777253686
2.4	0.627343825	1.343658291	2.566618263	-1.820664957
2.5	1.226617269	1.244967339	2.838083432	-1.815645038
2.6	1.615986144	1.369256312	3.02572067	-1.687951304
2.7	1.490002729	1.546112672	3.115083651	-1.516697569
2.8	1.18787746	1.678914868	3.164939209	-1.355198749
2.9	0.863815022	1.769543058	3.196270098	-1.206702274
3	0.563041025	1.828936694	3.216251446	-1.068182911

ประวัติผู้เขียน

ชื่อ - สกุล	นายณัฐพัชร์ จันทร์กุลมณี
วัน เดือน ปีเกิด	10 มกราคม 2518
ที่อยู่	98 หมู่ที่ 7 ตำบลดีลัง อำเภอพัฒนานิคม จังหวัดลพบุรี 15220
ประวัติการศึกษา	ปริญญาตรี คณะวิศวกรรมศาสตรบัณฑิต สาขาวิศวกรรมโยธา มหาวิทยาลัยนเรศวร
ประวัติการทำงาน	
ปัจจุบัน	นักบริหารงานประจำ สังกัดกองประปา ชื่อหน่วยงาน เทศบาลตำบลพัฒนานิคม อ.พัฒนานิคม จ.ลพบุรี
เบอร์โทรศัพท์	08 - 9113 - 1293
อีเมล	tob.nattaphat@hotmail.com

